



UNIVERSIDAD CATÓLICA DE CUENCA

Comunidad al servicio del Pueblo

UNIDAD ACADÉMICA DE INGENIERÍA,

INDUSTRIA Y CONSTRUCCIÓN

CARRERA DE INGENIERÍA ELÉCTRICA

Análisis de factibilidad para la implementación de sistemas híbridos (Eólico-fotovoltaico) en las inmediaciones del centro patrimonial de Quingeo y zona arqueológica Curiquinga.

TRABAJO DE INVESTIGACIÓN PREVIO A LA OBTENCIÓN DEL TÍTULO DE INGENIERO ELÉCTRICO

AUTOR: PORTOVIEJO BRITO JUAN MANUEL

DIRECTOR: ING. DANIEL ORLANDO ICAZA ÁLVAREZ

MATRIZ CUENCA

2017

DECLARACIÓN

Yo, Juan Manuel Portoviejo Brito, declaro bajo juramento que el trabajo aquí descrito es de mi autoría; que no ha sido previamente presentada para ningún grado o calificación profesional; y, que he consultado las referencias bibliográficas que se incluyen en este documento; y eximo expresamente a la Universidad Católica de Cuenca y a sus representantes legales de posibles reclamos o acciones legales.

La Universidad Católica de Cuenca puede hacer uso de los derechos correspondientes a este trabajo, según lo establecido por la Ley de Propiedad Intelectual, por su Reglamento y la normatividad institucional vigente.

Juan Manuel Portoviejo Brito

CERTIFICACIÓN

Certifico que el presente trabajo fue desarrollado por Juan Manuel Portoviejo Brito,
bajo mi supervisión.

Ing. Daniel Icaza Álvarez

DIRECTOR

AGRADECIMIENTOS

Quiero agradecer a mis padres María y Ángel, quienes me ayudaron en momentos duros de mi estudio y ese apoyo infinito he incondicional que solo ellos me lo dan, a mis hermanos que siempre también me respaldaron, mismos en ningún momento me dejaron de apoyarme.

Quiero expresar mis sinceros agradecimientos a mi director de tesis Ing. Daniel Icaza por brindarme su amistad y ayudarme a realizar este trabajo, y su aporte a este trabajo hasta culminarlo con éxito.

A la Universidad Católica de Cuenca, a todos los catedráticos que desempeñan sus labores en esta institución, por guiarme en el camino correcto y formarme profesionalmente.

DEDICATORIA

Este trabajo quiero dedicar primeramente a Dios por haberme dado fortaleza y sabiduría para continuar con mis estudios. Además a mis padres y toda mi familia que siempre estuvo ayudándome y brindándome su respaldo para que culmine mi objetivo de formarme profesionalmente.

ÍNDICE DE CONTENIDO

| | |
|--|------|
| DECLARACIÓN | ii |
| CERTIFICACIÓN | iii |
| AGRADECIMIENTOS..... | iv |
| DEDICATORIA..... | v |
| ÍNDICE DE CONTENIDO..... | vi |
| INDICE DE FIGURAS..... | x |
| INDICE DE TABLAS | xiii |
| LISTA DE ANEXOS | xv |
| RESUMEN..... | xvi |
| ABSTRACT..... | xvii |
| INTRODUCCIÓN | 18 |
| CAPITULO 1 | 19 |
| Marco Teórico..... | 19 |
| 1.1 Sistemas de energía no renovable y renovable..... | 19 |
| 1.2 La energía renovable..... | 19 |
| 1.3 La energía no renovable..... | 19 |
| 1.4 Sistema eólico | 19 |
| 1.4.1 Corrientes de viento..... | 20 |
| 1.4.2 Origen de los vientos | 20 |
| 1.4.3 Corriente de viento..... | 20 |
| 1.4.4 Tipos de turbinas de viento | 20 |
| 1.4.5 La velocidad del viento | 22 |
| 1.4.6 Potencia del viento | 22 |
| 1.4.7 Potencia teórica..... | 23 |
| 1.4.8 Coeficiente de Betz..... | 23 |
| 1.4.9 Perdidas en la máquina | 24 |
| 1.5 Radiación solar | 24 |
| 1.6 Sistema fotovoltaico | 25 |
| 1.6.1 Tipos de sistemas fotovoltaicos | 25 |
| 1.7 Panel solar | 25 |
| 1.7.1 Celdas fotovoltaicas | 25 |
| 1.8 Conexión de celdas solares | 26 |

| | |
|--|----|
| 1.9 Ecuaciones para el modelo matemático del sistema fotovoltaico | 26 |
| 1.9.1 Corriente foto-generada (Iph)..... | 27 |
| 1.9.2 Corriente del diodo (Id) | 27 |
| 1.9.3 Corriente de Saturación del diodo | 27 |
| 1.9.4 Voltaje del diodo..... | 28 |
| 1.9.5 Corriente de pérdida de la resistencia en paralelo..... | 28 |
| 1.10 Determinación de la energía de un panel solar | 28 |
| 1.10.1 Parámetros de funcionamiento de un panel solar..... | 29 |
| 1.11 Energías renovables en el Ecuador | 30 |
| 1.12 Demanda de generación eléctrica del ecuador..... | 30 |
| 1.13 Producción energética en el Ecuador..... | 32 |
| 1.13.1 Província de Loja:..... | 32 |
| 1.13.2 Província de Imbabura:..... | 32 |
| 1.14 Recurso solar en el Ecuador | 32 |
| 1.15 Recurso eólico en el Ecuador | 33 |
| 1.16 Características y ubicación de la zona de estudio | 34 |
| 1.17 Zonas de análisis de las condiciones meteorológicas que presenta el sector | 35 |
| 1.18 Ubicación de la zona Arqueológica Curiqinga | 36 |
| 1.19 Ubicación de la zona 2 sector Cerro Guamán..... | 37 |
| 1.20 Estación meteorológica..... | 37 |
| 1.20.1 Modelo Ambiente Tiempo WS-1001-WIFI con energía solar WiFi Monitoreo remoto de la estación meteorológica..... | 38 |
| 1.20.2 Características del equipo en la recolección de datos..... | 38 |
| 1.20.3 Especificaciones de la energía | 38 |
| 1.20.4 Pantalla o consola..... | 38 |
| 1.21 Descripción de las partes de la estación meteorológica | 39 |
| 1.22 Descripción de las partes de la pantalla de datos..... | 40 |
| CAPITULO 2..... | 41 |
| 2 ANALISIS ACTUAL PARA LA CONVERSION DE ENERGIA SOLAR – ELECTRICA..... | 41 |
| 2.1 Toma de datos..... | 41 |
| 2.2 Interpretación de datos..... | 41 |
| 2.3 Cálculos para el dimensionamiento del sistema fotovoltaico | 41 |
| 2.4 Características del panel solar..... | 42 |
| 2.4.1 Panel solar policristalino SP672-300..... | 42 |

| | | |
|-------------------|---|-----------|
| 2.4.2 | Características mecánicas | 42 |
| 2.4.3 | Características eléctricas | 42 |
| 2.5 | Controlador Prostar mppt-40m | 42 |
| 2.5.1 | Características..... | 42 |
| 2.6 | Batería UCG 150-12 Deep Cycle Gel 12V 150AH | 43 |
| 2.6.1 | Características..... | 43 |
| 2.7 | Inversor de batería bidireccional SMA SUNNY ISLAND 6048-US | 43 |
| 2.7.1 | Características..... | 43 |
| 2.8 | Calculo de radiación solar promedio del mes para el sector Curiqinga | 44 |
| 2.9 | Promedio anual de radiación solar sector Curiqinga | 45 |
| 2.10 | Calculo de radiación solar promedio del mes para el sector Loma Guamán | 47 |
| 2.11 | Promedio anual de radiación solar sector Loma Guamán | 48 |
| 2.12 | Calculo de potencia de un panel solar | 49 |
| 2.13 | Modelo matemático | 53 |
| 2.14 | Simulaciones | 53 |
| 2.14.1 | Modelo en simulink de los subsistemas..... | 53 |
| 2.14.2 | Modelo simulink de la corriente fotogenerada..... | 54 |
| 2.14.3 | Modelo simulink Corriente de diodo | 54 |
| 2.14.4 | Modelo simulink Corriente de saturación del diodo | 54 |
| 2.14.5 | Modelo en simulink de la temperatura en kelvin | 55 |
| 2.15 | Simulación para el sistema fotovoltaico | 55 |
| 2.16 | Curvas de simulación | 55 |
| 2.17 | Simulación teórica practica en matlab sistema fotovoltaico | 56 |
| CAPITULO 3 | | 58 |
| 3 | Análisis actual para la conversión de energía eólica - eléctrica..... | 58 |
| 3.1 | Toma de datos | 58 |
| 3.2 | Interpretación de datos | 58 |
| 3.3 | Rosa de vientos | 58 |
| 3.4 | Calculo de velocidad de viento promedio del mes para el sector Curiqinga | 58 |
| 3.5 | Promedio anual de velocidad de viento sector Curiqinga | 60 |
| 3.6 | Calculo de velocidad de viento promedio del mes para el sector Loma Guamán | 60 |
| 3.7 | Promedio anual de velocidad de viento sector Loma Guamán | 62 |

| | |
|--|----|
| 3.8 Calculo de potencia para el sistema eólico | 62 |
| 3.8.1 Características del aerogenerador para el sistema eólico | 62 |
| 3.8.2 Componentes principales | 63 |
| 3.8.3 Dimensiones | 63 |
| 3.9 Modelo matemático | 67 |
| 3.10 Simulación | 67 |
| 3.10.1 Modelo en simulink del área del rotor..... | 67 |
| 3.10.2 Modelo en simulink de la potencia teórica | 68 |
| 3.10.3 Modelo en simulink de la potencia real | 68 |
| 3.11 Simulación para el sistema eólico..... | 68 |
| 3.12 Simulación teórica practica en matlab sistema eólico | 69 |
| CAPITULO 4 | 70 |
| 4 DISEÑOS Y MODELAMIENTO | 70 |
| 4.1 Diagrama de bloques para el sistema eólico-fotovoltaico..... | 70 |
| 4.2 Análisis de la carga | 70 |
| 4.2.1 Energía eléctrica requerida para el sector Curiqinga y Loma Guamán .70 | 70 |
| 4.2.2 Tipo de luminarias..... | 71 |
| 4.3 Diseños generales | 74 |
| 4.4 Diseño general del sistema fotovoltaico | 74 |
| 4.5 Diseño general del sistema eólico | 74 |
| 4.6 Diseño del proyecto para el sector Curiqinga | 75 |
| 4.7 Diseño para el sector Loma Guamán..... | 76 |
| 4.8 Determinación de la cantidad de equipo necesario para cada sistema de generación..... | 78 |
| 4.8.1 Determinación de equipo necesario para el sector Curiqinga | 78 |
| 4.8.2 Análisis comparativo para el sector Loma Guamán..... | 83 |
| CONCLUSIONES | 88 |
| RECOMENDACIONES..... | 89 |
| REFERENCIAS BIBLIOGRÁFICAS | 90 |

INDICE DE FIGURAS

| | |
|--|----|
| Figura 1. Origen del viento..... | 20 |
| Figura 2. Corrientes de viento..... | 20 |
| Figura 3. Turbina de eje Vertical..... | 21 |
| Figura 4. Turbina de eje Vertical..... | 21 |
| Figura 5. Formas de energía que libera el sol..... | 24 |
| Figura 6. Ángulos de rayos solares que impacta en la tierra..... | 25 |
| Figura 7 Circuito eléctrico de una celda solar | 26 |
| Figura 8.Circuito eléctrico de un panel solar | 26 |
| Figura 9. Producción de energía con los diferentes recursos que tiene el país..... | 32 |
| Figura 10. Insolación Global anual en el Ecuador | 33 |
| Figura 11. Atlas eólico del Ecuador con velocidad media anual con altura de 30 metros sobre suelo. | 34 |
| Figura 12.Ubicacion geográfica de la zona. | 34 |
| Figura 13.Características generales de la zona de análisis y ubicación de las zonas desde una vista aérea. | 35 |
| Figura 14.Vista de los sectores Curiqinga y Loma Guamán de las características y condiciones que se encuentran los puntos de análisis..... | 35 |
| Figura 15.Vista dela zona de análisis desde el centro de la comunidad. | 36 |
| Figura 16. Vista del cerro Guamán desde el cementerio de Quingeo | 37 |
| Figura 17.Equipo para la recolección de datos Meteorológicos. | 37 |
| Figura 18.Descripcion de las partes de la Estación Meteorológica..... | 39 |
| Figura 19. Partes de la consola o pantalla de datos..... | 40 |
| Figura 20. Pasos para la extracción de datos de la pantalla. | 41 |
| Figura 21. Panel solar..... | 42 |
| Figura 22.Controlador de carga..... | 42 |
| Figura 23. Batería de gel de ciclo profundo..... | 43 |
| Figura 24. Inversor de corriente continua a alterna. | 43 |
| Figura 25 Curva promedio anual de radiación solar sector Curiqinga | 45 |
| Figura 26. Curva promedio anual de radiación solar sector Curiqinga | 45 |
| Figura 27.Promedio de Temperatura mensual existente en el sector Curiqinga | 46 |
| Figura 28.Promedio de Radiación solar mensual existente en el sector Loma Guamán | 47 |
| Figura 29. Curva promedio anual de radiación solar sector Loma Guamán | 48 |
| Figura 30.Promedio de Temperatura mensual existente en el sector Loma Guamán. 49 | 49 |
| Figura 31.Resultados de la potencia calculada para el sector Curiqinga | 51 |
| Figura 32.Resultados de la potencia calculada para el sector Loma Guamán. | 53 |
| Figura 33. Sistema general de funcionamiento fotovoltaico | 53 |
| Figura 34. Modelo simulink subsistemas | 53 |
| Figura 35.Modelo de corriente fotogenerada (ecuación 9) | 54 |
| Figura 36.Modelo de Corriente de diodo (ecuación 10) | 54 |
| Figura 37.Modelo de Corriente de saturación del diodo (ecuación 11) | 55 |
| Figura 38.Modelo en simulink de la temperatura en kelvin (ecuación 12)..... | 55 |
| Figura 39. Simulación fotovoltaica simulink..... | 55 |
| Figura 40.Curva de simulación respecto a la velocidad de viento-potencia obtenida .. | 56 |

| | |
|--|----|
| <i>Figura 41.Curva de simulación respecto a la corriente-voltaje de generación.....</i> | 56 |
| <i>Figura 42.Simulación teórica práctica en matlab para el sistema fotovoltaico corriente-voltaje.....</i> | 57 |
| <i>Figura 43.Simulación teórica práctica en matlab para el sistema fotovoltaico potencia-voltaje.....</i> | 57 |
| <i>Figura 44.Dirección y velocidad de viento.....</i> | 58 |
| <i>Figura 45.Velocidad promedio de viento mensual existente en el sector Curiquina ..</i> | 59 |
| <i>Figura 46.Curva promedio anual de velocidad de viento sector Curiquina.</i> | 60 |
| <i>Figura 47. Velocidad promedio de viento mensual existente en el sector Loma Guamán</i> | 61 |
| <i>Figura 48.Curva promedio anual de velocidad de viento sector Loma Guamán.</i> | 62 |
| <i>Figura 49.Modelo aerogenerador utilizado para la determinación de la potencia.</i> | 63 |
| <i>Figura 50.Resultados de la potencia calculada para la zona Curiquina</i> | 66 |
| <i>Figura 51.Resultados de la potencia calculada para la zona Loma Guamán</i> | 67 |
| <i>Figura 52. Sistema de funcionamiento eólico.....</i> | 67 |
| <i>Figura 53.Modelo en simulink cálculo del área rotor (ecuación 3)</i> | 67 |
| <i>Figura 54.Modelo en simulink de la potencia teórica (ecuación 5).....</i> | 68 |
| <i>Figura 55.Modelo en simulink de la potencia real (ecuación 7).....</i> | 68 |
| <i>Figura 56. Sistema de simulación eólica en simulink</i> | 68 |
| <i>Figura 57.Gráfica del sistema de simulación eólica Potencia-Velocidad de viento en simulink.....</i> | 69 |
| <i>Figura 58.Simulación teórica práctica en matlab para el sistema eólico potencia-velocidad de viento</i> | 69 |
| <i>Figura 59. Diagrama de bloques para el sistema fotovoltaico-fotovoltaico.</i> | 70 |
| <i>Figura 60. Luminaria led para parques 36W</i> | 71 |
| <i>Figura 61.Emision de luz luminaria SCHREDER ALTURA LED / 5102 / 48 LEDS 350 Ma CW / 333972</i> | 72 |
| <i>Figura 62.Luminaria led para calles 36W</i> | 72 |
| <i>Figura 63.Emision de luz luminaria SCHREDER AMPERA MINI / 5103 / 16 LEDS 700 mA WW / 356562</i> | 73 |
| <i>Figura 64.Luminaria led para iluminación donde necesita alto paquetes lumínicos....</i> | 73 |
| <i>Figura 65.Emision de luz, luminaria SCHREDER OMNIstar /5118 / 128 LEDS 500mA CW / 348632</i> | 74 |
| <i>Figura 66.Sistema de generación fotovoltaica</i> | 74 |
| <i>Figura 67.modelo del sistema de generación eólica.....</i> | 75 |
| <i>Figura 68.Diseño general del proyecto planteado para el sector Curiquina realizado en dialux.....</i> | 75 |
| <i>Figura 69.Diseño que comprende la parte del área deportiva y espacios verde realizado en dialux</i> | 76 |
| <i>Figura 70.Diseño que comprende la parte del área del mirador.</i> | 76 |
| <i>Figura 71.Diseño realizado la simulación de iluminación para el sector Curiquina.</i> | 76 |
| <i>Figura 72.Diseño general del proyecto planteado para el sector Loma Guamán realizado en dialux</i> | 77 |
| <i>Figura 73.Diseño que comprende las escalinatas realizado en dialux.</i> | 77 |
| <i>Figura 74.Diseño que comprende el espacio en donde se construirá el mirador.</i> | 78 |

| | |
|--|----|
| <i>Figura 75.Diseño realizado la simulación de iluminación para el sector Loma Guamán</i> | 78 |
| <i>.....</i> | |
| <i>Figura 76.Arreglo en paralelo de paneles solares para el sector Curiqinga.....</i> | 81 |
| <i>Figura 77.Arreglo en paralelo de los aerogeneradores para el sector Curiqinga</i> | 81 |
| <i>Figura 78.Arreglo en paralelo de paneles solares para el sector Loma Guamán.....</i> | 85 |
| <i>Figura 79.Arreglo en paralelo de los aerogeneradores para el sector Loma Guamán</i> | 86 |

INDICE DE TABLAS

| | |
|--|----|
| Tabla 1.Escala de vientos de Beaufort..... | 22 |
| Tabla 2.Demanda histórica de energía en Ecuador..... | 30 |
| Tabla 3.Producción e importación Energética del Ecuador | 31 |
| Tabla 4. Características de ubicación de la Estación Meteorológica para el sector Curiqinga..... | 36 |
| Tabla 5.Características de ubicación de la Estación Meteorológica para el sector Loma Guamán | 37 |
| Tabla 6. Descripción de las características de la Estación Meteorológica. | 39 |
| Tabla 7. Descripción de las partes de la pantalla de datos..... | 40 |
| Tabla 8.Promedio mensual de Radiación solar para el sector Curiqinga | 44 |
| Tabla 9. Datos promedio de radiación solar sector Curiqinga | 45 |
| Tabla 10. Valores máximos y mínimos de Radiación solar para el sector Curiqinga .45 | |
| Tabla 11.Promedio mensual de Temperatura para el sector Curiqinga | 46 |
| Tabla 12.Promedio mensual de Radiación solar para el sector Loma Guamán | 47 |
| Tabla 13. Datos promedio de radiación solar sector Loma Guamán | 48 |
| Tabla 14. Valores máximos y mínimos de Radiación solar para el sector Loma Guamán | 48 |
| Tabla 15.Promedio mensual de Temperatura para el sector Loma Guamán. | 49 |
| Tabla 16.Características para el cálculo de la potencia de un panel solar..... | 50 |
| Tabla 17.Eficiencia de un panel solar | 50 |
| Tabla 18.Potencia calculada en watts de un panel solar para el sector Curiqinga.....51 | |
| Tabla 19.Potencia calculada en watts de un panel solar para el sector Loma Guamán | 52 |
| Tabla 20. Promedio mensual de velocidad de viento para el sector Curiqinga | 58 |
| Tabla 21.Datos promedio anual de velocidad de viento sector Curiqinga.....60 | |
| Tabla 22.Valores máximos y mínimos de velocidad de viento para el sector Curiqinga. | 60 |
| Tabla 23.Promedio mensual de velocidad de viento para el sector Cerro Guamán.....61 | |
| Tabla 24.Datos promedio anuales de velocidad de viento sector Loma Guamán.....62 | |
| Tabla 25.Valores máximos y mínimos de velocidad de viento para el sector Loma Guamán. | 62 |
| Tabla 26.Características del aerogenerador para el cálculo de la potencia | 64 |
| Tabla 27. Potencia calculada en watts para el sector Curiqinga | 65 |
| Tabla 28.Tabla 28. Potencia calculada en watts para el sector Loma Guamán | 66 |
| Tabla 29.Tipo y cantidad de luminarias para el sector Curiqinga..... | 71 |
| Tabla 30.Tipo y cantidad de luminarias para el sector Loma Guamán | 71 |
| Tabla 31.Características generales para la determinación del número de paneles solares y aerogeneradores para el sector Curiqinga..... | 79 |
| Tabla 32.Determinación del número de baterías para el sector Curiqinga..... | 79 |
| Tabla 33. Determinación del número de paneles solares para el sector Curiqinga. ...79 | |
| Tabla 34. Determinación del controlador de carga para el sector Curiqinga | 80 |

| | |
|--|-----|
| Tabla 35.Determinación del inversor para el sector Curiqinga | 80 |
| Tabla 36.Determinación del número de aerogeneradores para el sector Curiqinga.. | 80 |
| Tabla 37.Capacidad en amperios de conductores al intemperie | 82 |
| Tabla 38.Determinación de la caída de voltaje para el sector Curiqinga..... | 82 |
| Tabla 39.Costo de los equipos necesarios para implementación del sistema híbrido en el sector Curiqinga | 83 |
| Tabla 40.Características generales para la determinación del número de paneles solares y aerogeneradores para el sector Loma Guaman | 83 |
| Tabla 41.Determinación del número de baterias para el sector Loma Guaman | 84 |
| Tabla 42.Determinación del número de paneles solares para el sector Loma Guamán | 84 |
| Tabla 43.Determinación del controlador de carga para el sector Loma Guaman | 84 |
| Tabla 44.Determinación del inversor para el sector Loma Guamán | 85 |
| Tabla 45.Determinación del número de aerogeneradores para el sector Loma Guamán | 85 |
| Tabla 46.Determinación de la caída de voltaje para el sector Loma Guamán..... | 86 |
| Tabla 47.Costo de los equipos necesarios para implementación del sistema híbrido en el sector Loma Guamán | 87 |
| Tabla 48. Datos radiación solar respecto Hora-Día del mes de Abril..... | 100 |
| Tabla 49. Datos radiación solar respecto Hora-Día del mes de Mayo..... | 101 |
| Tabla 50. Datos radiación solar respecto Hora-Día del mes de Junio | 102 |
| Tabla 51. Datos Velocidad de viento respecto Hora-Día del mes de Abril | 103 |
| Tabla 52.Datos Velocidad de viento respecto Hora-Día del mes de Mayo | 104 |
| Tabla 53.Datos Velocidad de viento respecto Hora-Día del mes de Junio..... | 105 |
| Tabla 54.Datos Temperatura exterior respecto Hora-Día del mes de Abril..... | 106 |
| Tabla 55.Datos Temperatura exterior respecto Hora-Día del mes de Mayo | 107 |
| Tabla 56.Datos Temperatura exterior respecto Hora-Día del mes de Junio | 108 |
| Tabla 57.Datos radiación solar respecto Hora-Día del mes de Abril..... | 109 |
| Tabla 58.Datos radiación solar respecto Hora-Día del mes de Mayo..... | 110 |
| Tabla 59.Datos radiación solar respecto Hora-Día del mes de Junio | 111 |
| Tabla 60. Datos Velocidad de viento respecto Hora-Día del mes de Abril | 112 |
| Tabla 61.Datos Velocidad de viento respecto Hora-Día del mes de Mayo | 113 |
| Tabla 62.Datos Velocidad de viento respecto Hora-Día del mes de Junio..... | 114 |
| Tabla 63.Datos Temperatura exterior respecto Hora-Día del mes de Abril..... | 115 |
| Tabla 64.Datos Temperatura exterior respecto Hora-Día del mes de Mayo | 116 |
| Tabla 65.Datos Temperatura exterior respecto Hora-Día del mes de Junio | 117 |

LISTA DE ANEXOS

| | |
|---|-----|
| Anexos A: Instalación de la estación meteorológica..... | 93 |
| Anexos B: Datos de meteorológicos | 100 |

RESUMEN

El propósito del presente trabajo es realizar el estudio de factibilidad para la implementación de un sistema de generación híbrida (eólica-fotovoltaica) en los sectores Curiquina y Loma de Guamán de la Parroquia Quingeo. Para el análisis de factibilidad se instaló una estación meteorológica con la que se verificó las condiciones de velocidad y dirección de viento, radiación solar, temperatura existente durante un lapso de tiempo de tres meses. Luego se construyó un modelo matemático para realizar simulaciones con diferentes valores de entrada que permita dimensionar un sistema de generación híbrida que cubra la demanda eléctrica. Con la comparación de los datos teóricos y reales obtenidos se determinó que existen condiciones favorables para la generación eléctrica en el sector mediante estos sistemas.

Palabras claves: ENERGÍAS RENOVABLES, SISTEMA EÓLICO, SISTEMA FOTOVOLTAICO, GENERACIÓN HIBRIDA

ABSTRACT

The purpose of this paper is to carry out the feasibility study for the implementation of a hybrid generation system (wind-photovoltaic) in the Curiquina and Loma de Guamán sectors of the Quิงeo Parish. For the feasibility analysis, was installed weather station that was which verified the conditions of wind speed and direction, solar radiation, and temperature during a period of three months. Then, a mathematical model was constructed to perform simulations with different input values that allow the sizing of a hybrid generation system that covers the electricity demand. With the comparison of the theoretical and real data obtained, it was determined that there are favorable conditions for electricity generation in the sector through these systems.

Keywords: RENEWABLE ENERGIES, WIND SYSTEM, PHOTOVOLTAIC SYSTEM, HYBRID GENERATION

INTRODUCCIÓN

Las energías renovables son un tipo de generación que aprovecha los recursos naturales de una manera limpia, y de gran importancia para cubrir la demanda de energía y sustituir fuentes de energía no renovables que son utilizadas en la actualidad. Las energías renovables en el país y la implementación de proyectos en donde se aproveche al máximo el potencial de los recursos naturales, y con un mayor enfoque en las zonas rurales y aisladas.

El aprovechamiento de los recursos naturales, y la conservación de la zona natural además del interés de los moradores de la comunidad para que se realice un estudio del potencial eólico y solar para saber si es posible la generación de energía eléctrica, se instaló una estación meteorológica que es de mi propiedad para el registro de datos y el posterior análisis.

Esta investigación tiene como objetivo principal realizar un estudio de factibilidad de generación eólica y solar en el sector Curiqinga y Loma Guamán de la parroquia Quingeo del cantón Cuenca.

Para este estudio se ha provisto, realizar un registro de los datos da la estación meteorológica por lapso de tiempo de tres meses.

Mismo que servirá para el dimensionamiento del sistema eólico y fotovoltaico, de tal forma que cubra la demanda del sector eléctrico que se tiene planteado como proyecto mediante los cálculos pertinentes que se requieran para determinar la demanda.

Se realizara un análisis económico para cada sistema de generación que permita determinar la viabilidad para su implementación. Con la finalidad de determinar la mejor opción cumpliendo requisitos económicos y técnicos.

CAPITULO 1

Marco Teórico

1.1 Sistemas de energía no renovable y renovable

La energía en la sociedad moderna que vivimos, dependemos o realizamos actividades de otra forma con energía eléctrica, teniendo como fuente primaria de generación de electricidad los combustibles fósiles como el petróleo y sus derivados, el carbón denominados como energía no renovable.

El desarrollo tecnológico que se ha dado en los últimos años ayudo a aprovechar los recursos que brinda el sol, viento, para la generación de energía eléctrica disminuyendo así el uso de las energías convencionales.

1.2 La energía renovable

Se define como fuente de energía renovable aquella que se puede restablecer o regenerar en forma natural.

Son consideradas fuentes alternativas de energía las siguientes.

- Biomasa y biocombustible.
- Hidroeléctrica.
- Eólica.
- Solar.
- Geotérmica y otras.

1.3 La energía no renovable

Es aquella energía que no se puede reponer después de su consumo.

Entre las que tenemos:

- Carbón.
- Petróleo.
- Gas natural.
- Nuclear.

1.4 Sistema eólico

El aprovechamiento del viento representa la oportunidad de generar energía eléctrica, utilizando la potencia que el viento proporciona para transformarlo en electricidad.

1.4.1 Corrientes de viento

Las corrientes de viento se generan con el movimiento de las masas de aire.

1.4.2 Origen de los vientos

El viento es una consecuencia de la radiación solar que provoca diferentes densidades de masa de aire, que se mueven desde las zonas de mayor presión atmosférica, a la de menor presión. (Enríquez Harper, 2014)

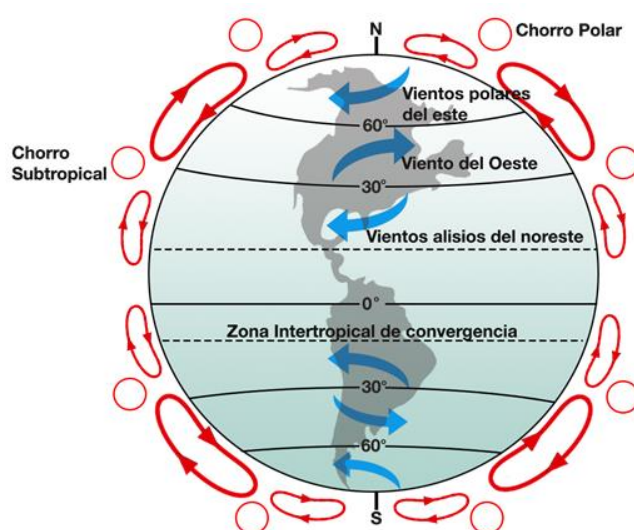


Figura 1. Origen del viento.

Fuente: (CELEC EP, 2015)

1.4.3 Corriente de viento

El viento debido a las diferencias de temperatura que existe en la superficie de la tierra, se establecen componentes como la dirección, velocidad y densidad que determinan la energía que se puede aprovechar. (Enríquez Harper, 2014)

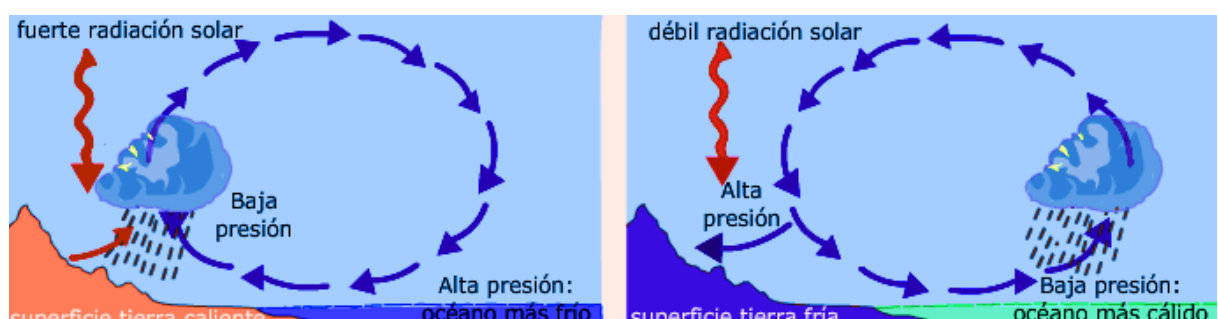


Figura 2. Corrientes de viento.

Fuente: (Aragon-España, 2016)

1.4.4 Tipos de turbinas de viento

Las turbinas de viento se clasifican según el eje de rotación, existen dos tipos:

1.4.4.1 Eje vertical

Este tipo de turbina eólica está diseñada con el eje del rotor de forma vertical que contiene en su interior un generador, una caja de engranes y un rotor con palas que permite aprovechar la potencia del viento sin importar la dirección del viento.

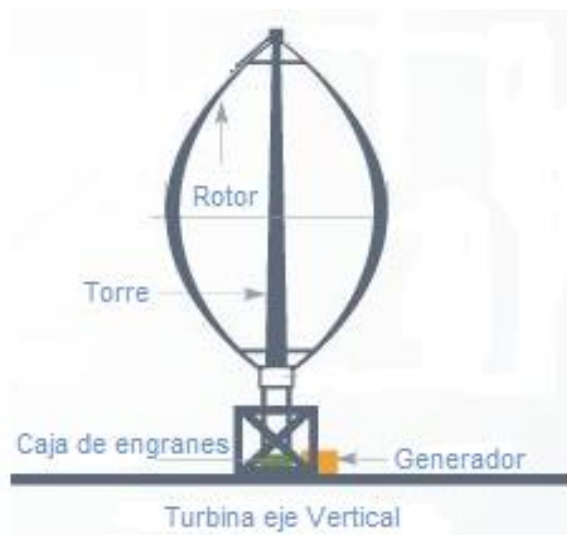


Figura 3.Turbina de eje Vertical.

Fuente: (CEMAER, 2017)

1.4.4.2 Eje horizontal

Este tipo de turbina tiene un diseño de forma horizontal el eje del rotor, el generador eléctrico que esta acoplados entre si y montados en la parte superior de la torre.

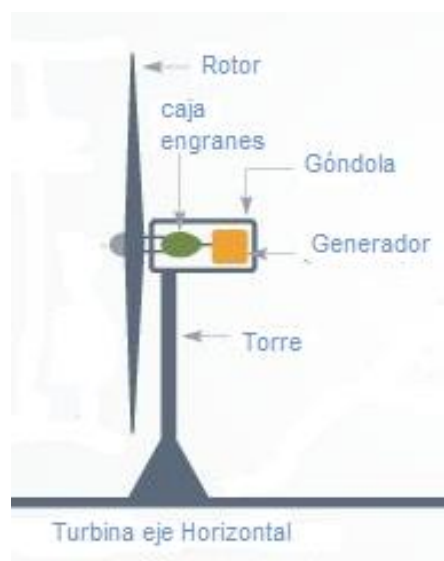


Figura 4.Turbina de eje Vertical.

Fuente: (CEMAER, 2017)

Para todo sistema eólico es importante tomar en cuenta ciertas condiciones que ayudaran a desarrollar proyectos eficientes en la generación de energía eléctrica.

1.4.5 La velocidad del viento

Para un estudio de factibilidad eólica es importante determinar la velocidad del viento cuyo valor se puede expresar en metros/segundo (m/s), kilómetros/hora (km/h), también será como factor considerable la altura de ubicación, metros sobre el nivel del mar (“m s. n. m.”), que además tiende a ser cambiante en el transcurso del día.

Se establece una velocidad de viento de acuerdo a la siguiente expresión denominada número de Beaufort.

$$U = 0.837B^{\frac{3}{2}} \text{ (m/s)} \quad (1)$$

Donde:

B= Número de Beaufort.

U=Velocidad del viento (m/s).

Tabla 1. Escala de vientos de Beaufort
Fuente: (Enríquez Harper, 2014)

| ESCALA DE VIENTO BASADA EN EL NUMERO DE BEAUFORT | | | |
|--|----|------------------|------------------------|
| NUMERO BEAUFORT | DE | VELOCIDAD (KM/H) | SITUACION |
| 0 | | 0-1 | CALMA |
| 1 | | 2-5 | VIENTO MUY LIGERO |
| 2 | | 6-11 | BRISA MUY DEBIL |
| 3 | | 12-19 | BRISA DEBIL |
| 4 | | 20-28 | BRISA NO DESCRITA |
| 5 | | 29-38 | BRISA FRESCA |
| 6 | | 39-49 | BRISA FUERTE |
| 7 | | 50-61 | VIENTO FUERTE |
| 8 | | 62-74 | VIENTO DURO O TEMPORAL |
| 9 | | 75-88 | VIENTO MUY FUERTE |
| 10 | | 89-102 | TEMPORAL FUERTE |
| 11 | | 103-117 | TORMENTA TROPICAL |
| 12 | | MAS DE 118 | HURACÁN |

1.4.6 Potencia del viento

El potencial del viento está relacionado con la masa y la velocidad del viento teniendo en cuenta la importancia que tiene ya que a mayor velocidad obtendremos mayor energía. (Enríquez Harper, 2014)

La siguiente ecuación permite determinar la potencia que proporciona el viento sin considerar perdidas en la máquina.

Energía del viento = $\frac{1}{2} \times \text{densidad} \times (\text{área} \times \text{velocidad} \times \text{tiempo}) \times (\text{velocidad})^3$

$$EC = \frac{1}{2} \rho A t V^3 \quad (2)$$

1.4.6.1 Área del rotor

$$A = \pi r^2 = \pi D^2 / 4(m^2) \quad (3)$$

Donde:

D = diámetro del rotor

1.4.6.2 Densidad del aire

La densidad del aire cambia de acuerdo con la temperatura y la presión.

$$\rho = \frac{P}{RT} \quad (4)$$

Donde:

ρ = densidad del aire en kg/m³

R = constante del gas = 8,31[J k⁻¹mol⁻¹] = 287[J kg⁻¹k⁻¹]

T = Temperatura absoluta en Kelvin

P = presión en pascal [Pa] (Enríquez Harper, 2014)

1.4.7 Potencia teórica

Para esta ecuación no se ha considerado ningún coeficiente de pérdidas.

$$P = \frac{1}{2} D^2 V^3 \rho \quad (W) \quad (5)$$

Donde:

D = diámetro del rotor

ρ = densidad del viento

V = velocidad de viento

1.4.8 Coeficiente de Betz

Denominado también como coeficiente de potencia que extrae el potencial real de un molino de viento ideal y que se puede expresar como:

$$P_{real} = C_p P * \eta \quad (6)$$

Donde:

P_{real} = Potencia real

P = Potencia teórica

η = Producto de los coeficientes de pérdidas.

1.4.9 Pérdidas en la máquina

Estas pérdidas se dan en el generador eléctrico sean estas por rozamiento o fricción de los componentes mecánicos

$$P_{real} = \left(\frac{1}{2} \rho A V^3 \right) C_p * \eta \text{ (W)} \quad (7)$$

Donde:

P_{real} = Potencia real calculada.

C_p = Coeficiente de Betz.

η_p = Perdidas en el generador.

η_m = Perdidas en la sección mecánica.

1.5 Radiación solar

La radiación solar es aquella energía que libera el sol en diferentes formas como el calor y la luz visible, esta radiación varía a medida que el sol se eleva durante el día obteniendo su máximo al medio día y llegando a valor cero en la noche. Fuente: (Enríquez Harper, 2014)

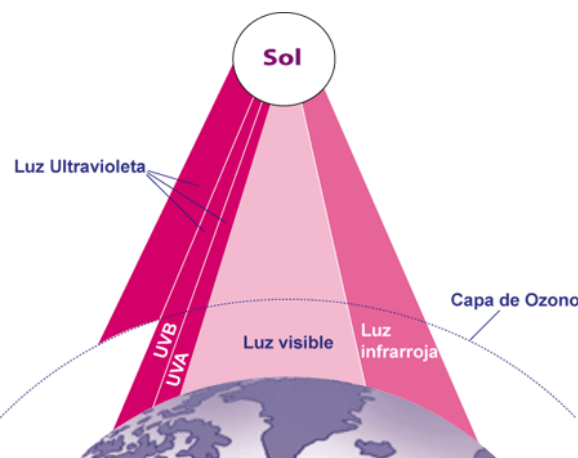


Figura 5. Formas de energía que libera el sol.
Fuente: (SCIENTIA, 2016)

Todos estos cambios están determinados por el ángulo de los rayos solares que varían continuamente a medida que la tierra gira sobre su eje. (Enríquez Harper, 2014)

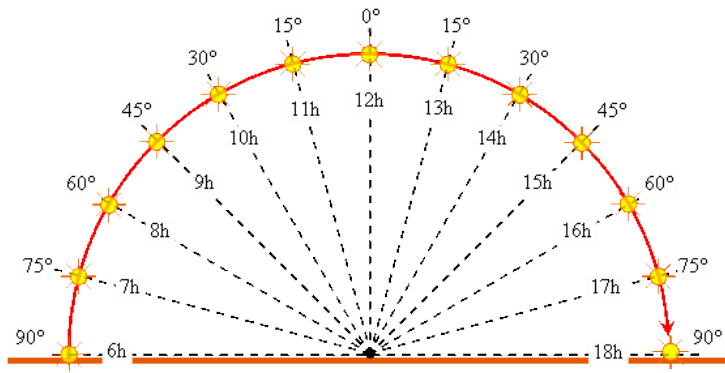


Figura 6. Ángulos de rayos solares que impacta en la tierra.
Fuente: (Anáhuac, 2010)

1.6 SISTEMA FOTOVOLTAICO

Un sistema fotovoltaico convierte la luz del sol en energía eléctrica a través de un panel solar.

1.6.1 Tipos de sistemas fotovoltaicos

1.6.1.1 Sistema aislado

Este tipo de sistemas son instalados en áreas de difícil acceso a las redes eléctricas, o zonas rurales para abastecer de energía a una comunidad o espacios verdes.

1.6.1.2 Sistema conectado a la red

Este sistema permite conectarse a la red eléctrica pero a poca capacidad de potencia de generación.

1.6.1.3 Central fotovoltaica

Estos sistemas son conectados a la red produciendo una cantidad importante de energía eléctrica en un punto único de generación.

1.7 Panel solar

Es un conjunto de celdas fotovoltaicas interconectadas dispuestas en una estructura de soporte que usa materiales como el silicio para su transformación.

1.7.1 Celdas fotovoltaicas

Existen varios tipos de celdas dependiendo del proceso de fabricación los más conocidos tenemos:

1.7.1.1 Celda monocristalina

Este tipo de celda es fabricada con un solo cristal que se va formándose poco a poco hasta conformar un bloque, se diferencia debido a un color uniforme y por lo

general son circulares o cortadas en sus bordes, este tipo de celda tienen una eficiencia del 25% . (Natura, 2003)

1.7.1.2 Celda policristalina

Este tipo de celda se fabrica de cristal de silicio fundido, su color es irregular más claro que el monocristalino y tienen una forma rectangular, este tipo de celdas tienen una eficiencia del 20%. (Natura, 2003)

1.8 Conexión de celdas solares

Un panel fotovoltaico se compone de varias celdas que están conectadas entre sí, el nivel de voltaje está determinado dependiendo de la unión de celdas en serie.

Los valores estandarizados son: 6V, 12V, 24V, 36V, 48V y cada celda tiene un voltaje de 0.5 V. (Natura, 2003)

1.9 Ecuaciones para el modelo matemático del sistema fotovoltaico

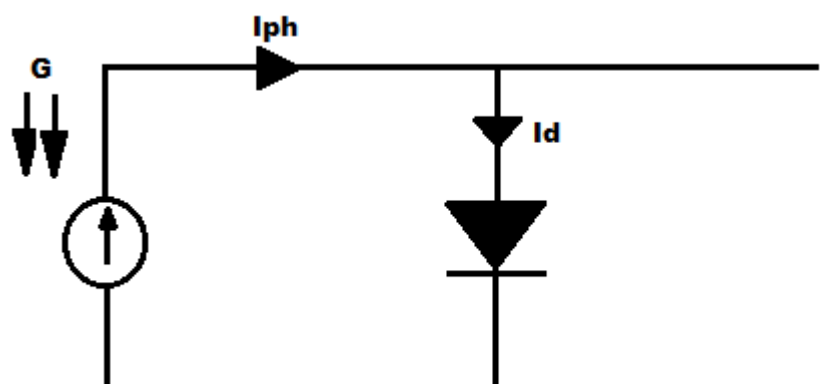


Figura 7 Circuito eléctrico de una celda solar.
Fuente: (Cata Sanchez & Rodriguez Sócola, 2015)

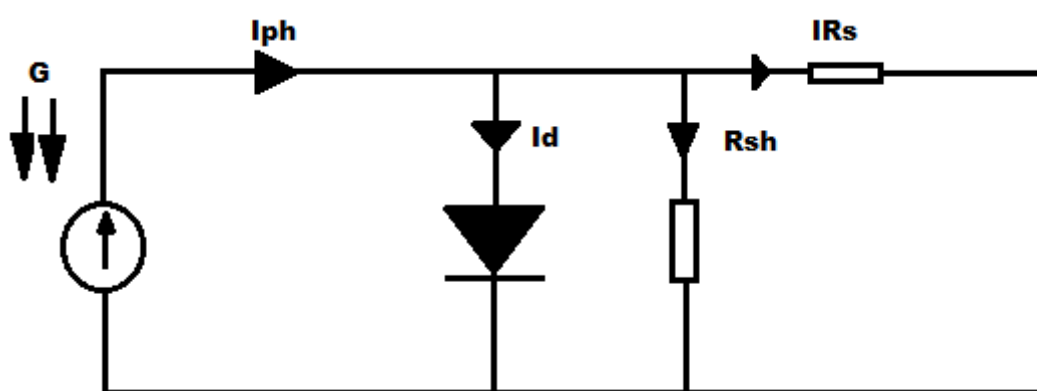


Figura 8.Circuito eléctrico de un panel solar.
Fuente: (Cata Sanchez & Rodriguez Sócola, 2015)

$$I = I_{ph} - I_d - I_{sh} \quad (8)$$

Donde:

I_{ph} = Corriente foto generada

I_d = Corriente del diodo

I_{RSH} = Corriente de pérdida de la resistencia en paralelo

I = Corriente de salida de la celda

G = Valor de la irradiancia (W/m^2)

1.9.1 Corriente foto-generada (I_{ph})

$$I_{ph} = \frac{G}{G_{stc}} [Area * J_{sc} + \alpha J_{sc}(T - T_{stc})] \quad (9)$$

Donde:

G = Valor de irradiancia condiciones dadas (W/m^2)

G_{stc} = Valor de irradiancia condiciones estándar (W/m^2)

Área = Área de la celda (cm^2)

J_{sc} = Densidad de corriente de cortocircuito de la celda (A/cm^2)

αJ_{sc} = Coeficiente de temperatura de la densidad de corriente de cortocircuito ($\text{A}/^\circ\text{C}$)

T = Temperatura bajo condiciones dadas ($^\circ\text{C}$)

T_{stc} = Temperatura bajo condiciones estándar ($^\circ\text{C}$)

1.9.2 Corriente del diodo (I_d)

$$I_d = I_o(e^{\frac{V_d}{nV_t}} - 1) \quad (10)$$

Donde:

I_o = Corriente de saturación (A)

V_d = Voltaje del diodo (V)

n = Factor de idealidad del diodo

V_t = Voltaje térmico (V)

1.9.3 Corriente de Saturación del diodo

$$I_o = \frac{J_{sc} * Area - \frac{V_{oc}}{R_{sh}}}{\left(e^{\frac{V_{oc}}{nV_t}} - 1 \right)} \quad (11)$$

Donde:

J_{sc} = Densidad de corriente de cortocircuito de la celda (A/cm^2)

Área = Área de la celda (cm^2)

V_{oc} = Voltaje de circuito abierto de la celda (V)

R_{sh} = Resistencia en paralelo

V_t = Voltaje térmico (V)

n = Factor de idealidad del diodo

1.9.4 Voltaje del diodo

$$V_d = I_{rs} + V \quad (12)$$

Donde:

V_t = Voltaje térmico (V)

K = Constante de Boltzmann (1.38065×10^{-23}) [J/K]

q = Carga del electrón (1.6021×10^{-19}) [C]

T_k = Temperatura estándar en kelvin (K)

1.9.5 Corriente de pérdida de la resistencia en paralelo

$$I_{Rsh} = \frac{V + R_s I}{R_{sh}} \quad (15)$$

Donde:

V = voltaje de salida de la celda

R_s = resistencia en serie

R_{sh} = resistencia en paralelo

I = corriente resistencia en paralelo. (Cata Sanchez & Rodriguez Sócola, 2015)

1.10 Determinación de la energía de un panel solar

La energía absorbida por un panel está dada por la siguiente ecuación

$$P_{pv} = \eta p_{vg} A p_{vg} * G_t \quad (16)$$

$$\eta p_{vg} = \eta_r * \eta_e c [1 - \beta(T_c - T_{cref})] \quad (17)$$

Donde:

P_{pv} = Energía absorbida.

η_{evg} = Eficiencia del panel

A_{evg} = Área panel solar m²

η_r = Eficiencia del módulo panel

η_{ec} = Eficiencia de condicionamiento

β = Coeficiente de temperatura (0,004 - 0,006)

T_c = Temperatura ambiente

T_{cref} = Temperatura panel

G_t = Radiación solar (w/m²). (Sami & Icaza, Numerical Modeling, Simulation Validation of Hybrid Solar Photovoltaic, Wind turbine and Fuel Cell Power System, 2015)

La potencia eléctrica del panel solar en DC se obtendrá con la ecuación siguiente.

$$P_{pv}(t) = \eta c_2 I_{pv}(t) V_{pv}(t) \quad (18)$$

Donde:

ηc_2 = Eficiencia de conversión

$V_{pv}(t)$ = Voltaje del panel solar

$I_{pv}(t)$ = Corriente del panel solar

1.10.1 Parámetros de funcionamiento de un panel solar

1.10.1.1 Corriente de Cortocircuito (Isc)

Es la corriente máxima que se obtiene de la célula solar cuando la tensión es cero voltios en sus bordes.

1.10.1.2 Tensión de circuito abierto (Voc)

Es la máxima tensión que se puede extraer de una célula solar.

1.10.1.3 Potencia máxima (Pmax)

Es el producto de la corriente por la tensión tanto en circuito abierto y cortocircuito.

$$P_{max} = V_{max} * I_{max} \quad (19)$$

1.10.1.4 Factor de forma (FF)

Está relacionada con la potencia máxima, tensión en circuito abierto y corriente de cortocircuito.

$$P_{max} = Isc * Voc * FF \quad (20)$$

1.10.1.5 Eficiencia (η)

Representa la relación entre la potencia de la célula solar y la potencia de la luz que incide sobre ella. (Enríquez Harper, 2014)

$$\eta = \frac{Isc * Voc * FF}{A * Psol} * 100 \quad (21)$$

Donde:

$Psol$ = potencia luminosa en W/cm^2

A = área de la célula.

1.11 Energías renovables en el Ecuador

Las energías renovables en el país y la implementación de proyectos en donde se aproveche al máximo los recursos naturales, con ello contribuir al incremento de la demanda de servicio eléctrico que tiene el país, y con un mayor enfoque en las zonas rurales y aisladas.

1.12 Demanda de generación eléctrica del ecuador

Las empresas comercializadoras y distribuidoras de energía durante el 2015 considerando las exportaciones a Colombia fueron de 21.934,39 GWh. (CENACE, 2015)

Tabla 2.Demanda histórica de energía en Ecuador
Fuente: (CENACE, 2015)

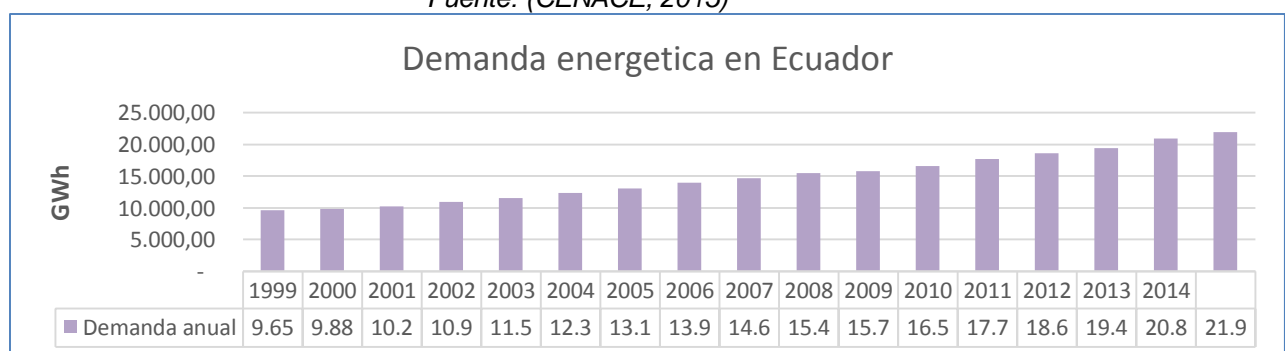
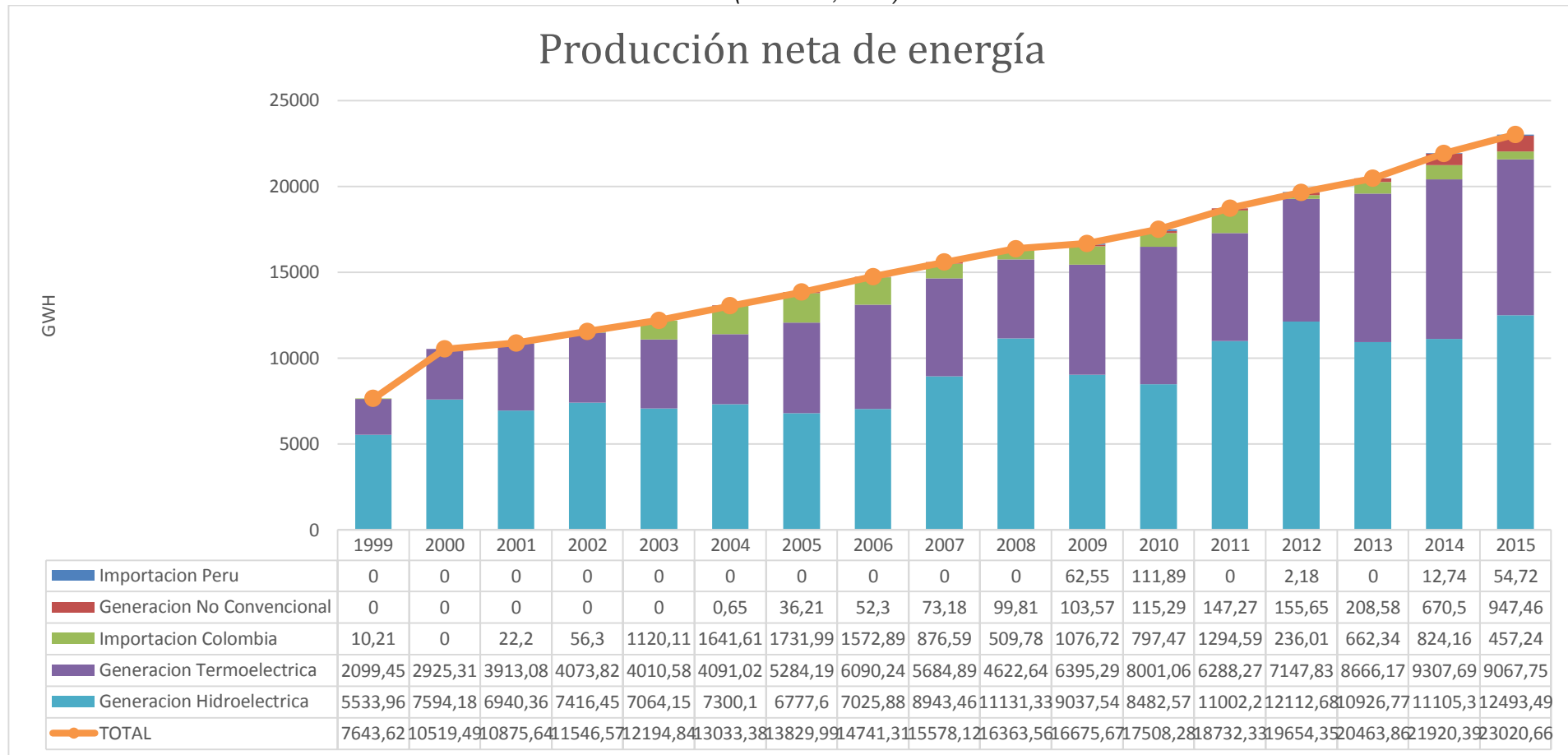


Tabla 3. Producción e importación Energética del Ecuador
 Fuente: (CENACE, 2015)



1.13 Producción energética en el Ecuador

La producción de energía del Ecuador está dada de la siguiente manera.

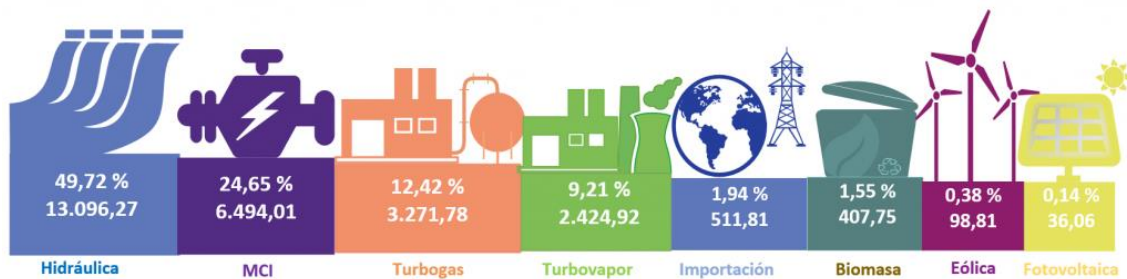


Figura 9. Producción de energía con los diferentes recursos que tiene el país.

Fuente: (ARCONEL, 2016)

PROYECTOS SOLARES EN EL ECUADOR

1.13.1 Provincia de Loja:

- Capilla Membrillo 1
- Capilla Membrillo 2
- Ducal
- Chinchas 1
- Huacacocha 1
- Huacacocha 2
- Huacacocha 3

1.13.2 Provincia de Imbabura:

- Salinas Fase 1
- Salinas Fase 2 Torre 1
- Salinas Fase 2 Torre 2

1.14 Recurso solar en el Ecuador

El sol como recurso energético en el Ecuador tiene altos niveles de radiación solar al estar en la línea equinoccial.

El Ecuador cuenta con atlas de recursos solares que son elaborados por el ARCONEL y MEER proporcionando información para un aprovechamiento óptimo del sol.

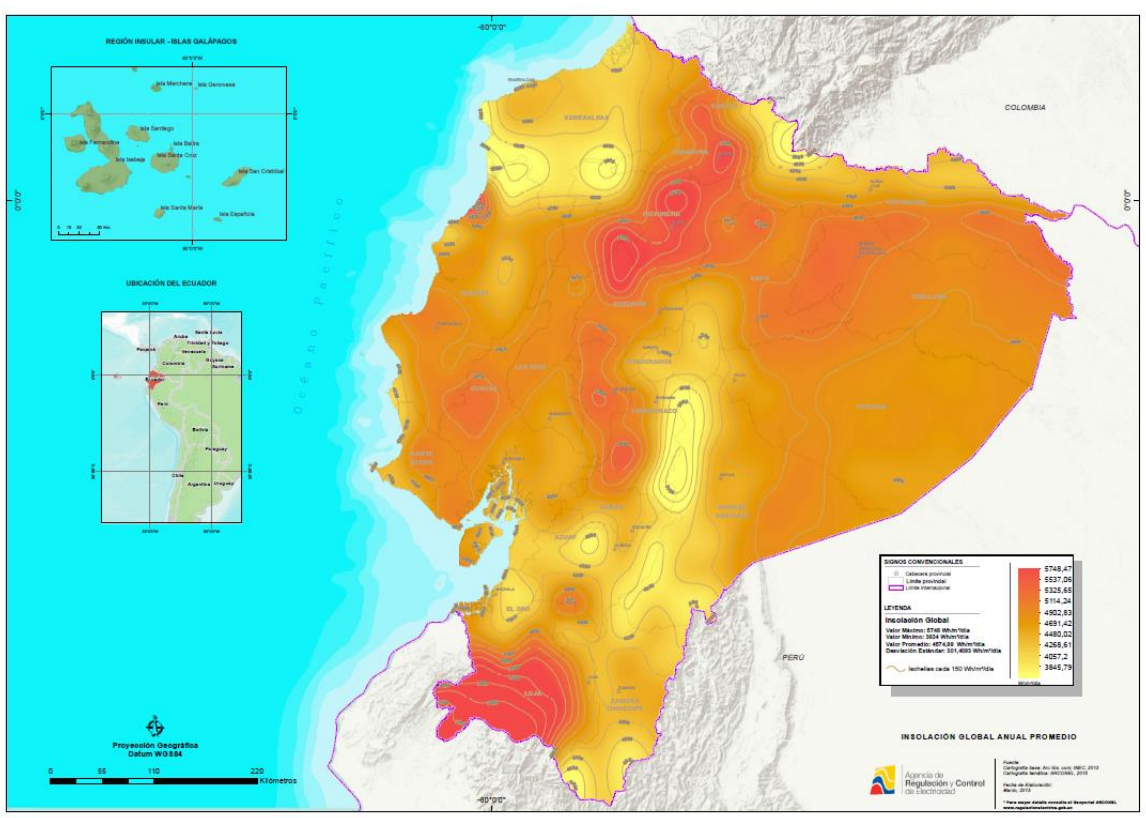


Figura 10. Insolación Global anual en el Ecuador.

Fuente: (ARCONEL, 2016)

1.15 Recurso eólico en el Ecuador

De igual manera el recurso eólico que tiene el país cuenta con atlas eólicos que proporcionan información para un mejor aprovechamiento.

Los proyectos puestos en marcha de generación eólica en el Ecuador son: Parque Eólico San Cristóbal en las Islas Galápagos con una potencia instalada de 2,4MW (megavatios). Parque Eólico Villonaco con 16,5MW; y, el Parque Eólico Baltra-Santa Cruz ubicado en la provincia de Galápagos, el cual generará 2,5 MW, con el objetivo de considerar fallas en futuros parques eólicos con condiciones similares.

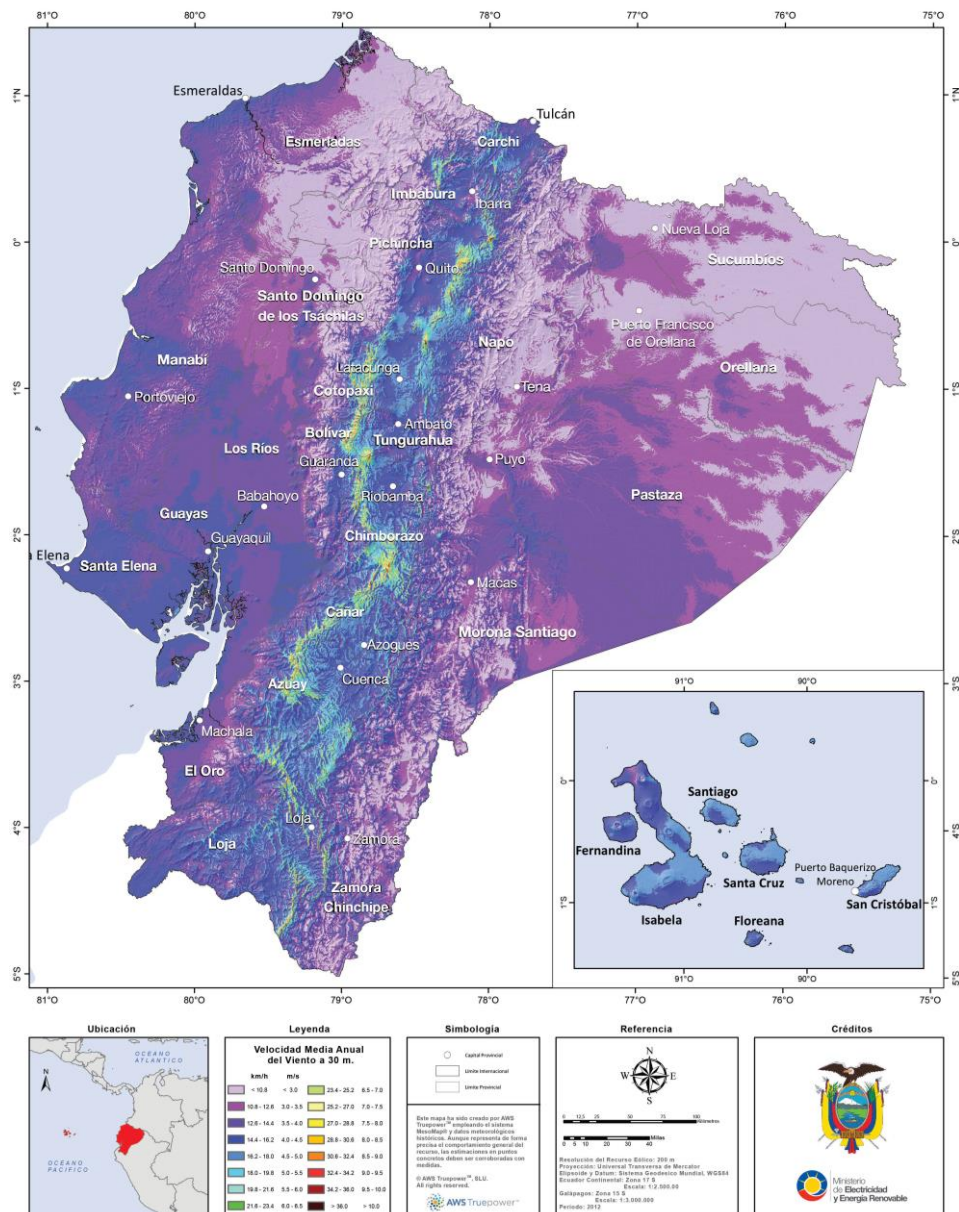


Figura 11. Atlas eólico del Ecuador con velocidad media anual con altura de 30 metros sobre suelo.

Fuente: (MEER, 2016)

1.16 Características y ubicación de la zona de estudio



Figura 12. Ubicación geográfica de la zona.
Fuente. (Miller, 2008)

La parroquia Quิงeo es una parroquia del cantón Cuenca, provincia del Azuay, Ecuador con una área territorial de 116,49Km² y una población de 7.450 habitantes. El 9 de septiembre del 2009, esta localidad logró ser declarada patrimonio cultural del Ecuador ya que es un auténtico centro colonial que data del siglo XXVIII, aún mantiene intacta su arquitectura vernácula así como también se encuentra en el interior de la parroquia vestigios arqueológicos que son vivo testimonio de sus raíces. (Quíñeo, 2014)

La ubicación del lugar de estudio está situado, la zona 1 en la comunidad de Punta Hacienda sector Curiqinga la zona 2 en el sector conocido como Loma Guamán, perteneciente a la parroquia Quíñeo del cantón Cuenca.

El siguiente proyecto nace con el interés que existe por los moradores de la comunidad para realizar turismo en la zona, debido a la existencia de restos arqueológicos encontrados por las personas que habitan en el sector, y las condiciones de visibilidad que tiene el sector como mirador al estar ubicado en la parte más alta de la zona, y además poder aprovechar los recursos naturales (viento, sol), y monitorear el clima de la zona para una implementación de un sistema de generación eólico-fotovoltaico, mismo que se aprovechará en un espacio deportivo y senderos que se plantea realizar con la finalidad de que ayuden a fomentar el turismo en la zona.

1.17 Zonas de análisis de las condiciones meteorológicas que presenta el sector

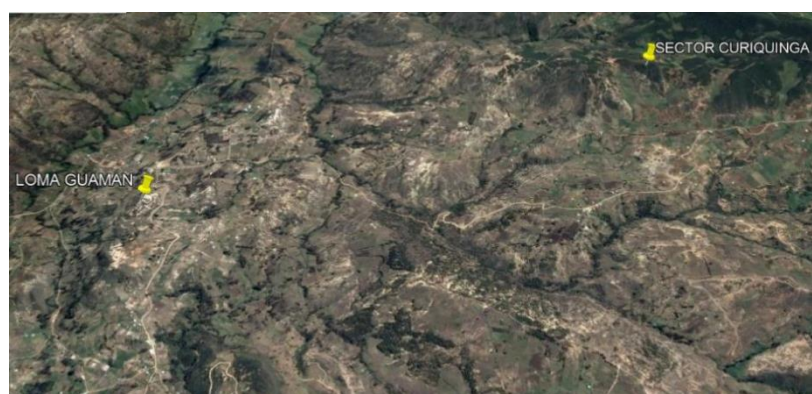


Figura 13. Características generales de la zona de análisis y ubicación de las zonas desde una vista aérea.



Figura 14. Vista de los sectores Curiqinga y Loma Guamán de las características y condiciones que se encuentran los puntos de análisis.

1.18 Ubicación de la zona Arqueológica Curiqinga



Figura 15. Vista de la zona de análisis desde el centro de la comunidad.

La estación meteorológica está ubicada en una zona más alta de cerro donde se puede medir las condiciones ideales de velocidad de viento, dirección y radiación solar. Ver Anexo A

La estación meteorológica está instalada en las siguientes coordenadas.

Tabla 4. Características de ubicación de la Estación Meteorológica para el sector Curiqinga.

| UBICACIÓN ESTACIÓN METEOROLÓGICA | |
|----------------------------------|--------------------|
| LATITUD | -3.0177557313 |
| LONGITUD | -78.90272627 |
| ALTURA | 3125 metros |
| ALTURA DEL ANEMÓMETRO | 8m |
| RESPONSABLE | JUAN PORTOVIEJO |
| | |

1.19 Ubicación de la zona 2 sector Loma Guamán

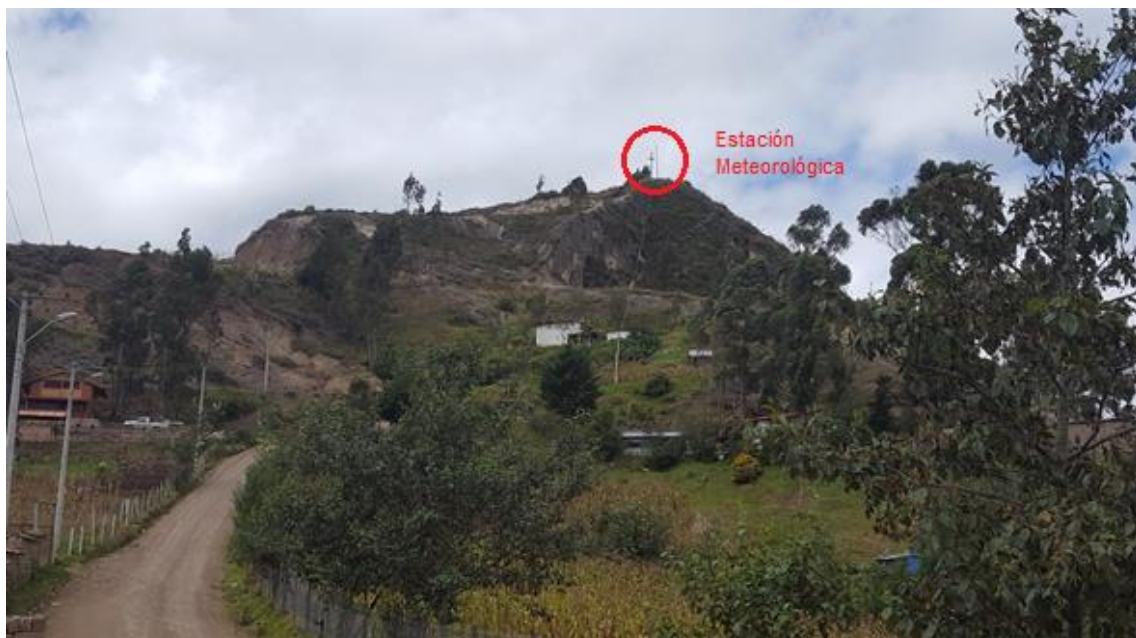


Figura 16. Vista del cerro Guamán desde el cementerio de Quingeo
La estación meteorológica esta instalada en las siguientes coordenadas para la zona Cerro Guamán.

Tabla 5. Características de ubicación de la Estación Meteorológica para el sector Loma Guamán

| UBICACIÓN ESTACIÓN METEOROLÓGICA | |
|----------------------------------|-----------------|
| LATITUD | -3.033747422 |
| LONGITUD | -78.92829934 |
| ALTURA | 2908,78 metros |
| ALTURA DEL ANEMÓMETRO | 8m |
| RESPONSABLE | JUAN PORTOVIEJO |
| | |

1.20 Estación meteorológica



Figura 17. Equipo para la recolección de datos Meteorológicos.

1.20.1 Modelo Ambiente Tiempo WS-1001-WIFI con energía solar WiFi Monitoreo remoto de la estación meteorológica

- Mediante Wireless recolecta medidas de velocidad del viento, dirección del viento, temperatura, humedad, velocidad del viento, la lluvia, UV y la radiación solar.
- Transmisión de 915 MHz RF inalámbrica con 100 metros línea de rango de visión y 30 metros bajo la mayoría de condiciones, con la excepción de barreras de metal.
- Publicar los datos en tiempo real a Wunderground.com. Sin cargos.
- Diseño web amigable y sensible móvil se ve muy bien en cualquier teléfono, tableta, ordenador portátil o de mesa.

1.20.2 Características del equipo en la recolección de datos

- Precisión de temperatura: $\pm 2^{\circ}$ F
- Al aire libre exactitud de la temperatura: $\pm 2^{\circ}$ F
- Humedad interior Precisión: $\pm 5\%$
- Humedad exterior Precisión: $\pm 5\%$
- Barométrica precisión de la presión: $\pm 0,08$
- Solar Precisión Radiación: $\pm 15\%$
- Precisión UV: ± 1
- Lluvia Precisión: $\pm 10\%$
- Dirección del viento Precisión: $\pm 1^{\circ}$
- Precisión Velocidad del viento: $\pm 2,2$ millas por hora o 10% (lo que sea mayor)

1.20.3 Especificaciones de la energía

- Estación base: entrada 5V DC; 6,5' 110-240 V 50-60 Hz cargador de pared incluido, Consumo de energía: 7,5 Watts
- Cubierta del sensor remoto: 2 pilas AAA (no incluidas)
- Al aire libre serie de sensores: 3 baterías AAA

1.20.4 Pantalla o consola

- Dimensiones del marco (LxWxH): 7,75 x 5,75 x 0,75"
- Dimensiones LCD (LxA): 6,25 x 3,5"
- Sensor array, aprox. (HxLxW): 14 x 12 x 6"

1.21 Descripción de las partes de la estación meteorológica

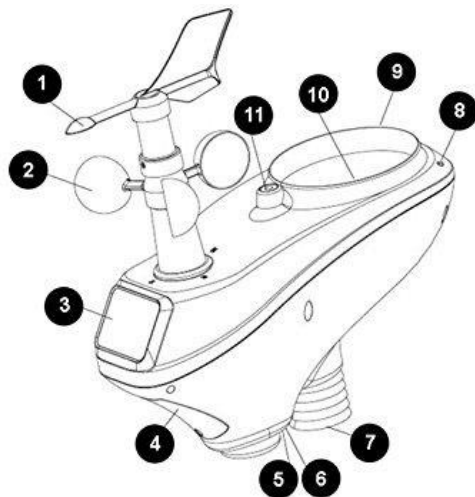


Figura 18. Descripción de las partes de la Estación Meteorológica.
Fuente: (Weather, 2017)

Tabla 6. Descripción de las características de la Estación Meteorológica.
Fuente: (Weather, 2017)

| No | Descripción |
|----|---|
| 1 | Mide la dirección del viento |
| 2 | Velocidad del viento el sensor mide el viento |
| 3 | Colector solar |
| 4 | Batería recargable |
| 5 | Indicador de transmisión de datos |
| 6 | Botón de reinicio |
| 7 | Sensor de temperatura solar y humedad |
| 8 | Sensor UV |
| 9 | Sensor de radiación solar |
| 10 | Sensor de lluvia |
| 11 | Burbuja de nivel |

1.22 Descripción de las partes de la pantalla de datos

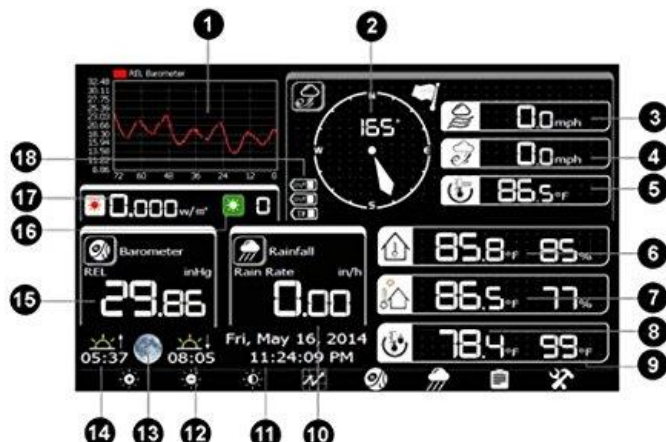


Figura 19. Partes de la consola o pantalla de datos.
Fuente: (Weather, 2017)

Tabla 7. Descripción de las partes de la pantalla de datos.

Fuente: (Weather, 2017)

| No | Descripción |
|----|--|
| 1 | Gráfico (barómetro, temperatura y humedad) |
| 2 | Dirección del viento |
| 3 | Velocidad del viento |
| 4 | Ráfaga de viento |
| 5 | Presión |
| 6 | Temperatura y humedad interiores |
| 7 | Temperatura y humedad exteriores |
| 8 | Punto de rocío |
| 9 | Índice de calor |
| 10 | Lluvia |
| 11 | Fecha y hora |
| 12 | Puesta de sol |
| 13 | Fase lunar |
| 14 | Amanecer |
| 15 | Barómetro |
| 16 | Uv |
| 17 | Radiación solar |
| 18 | Indicadores de batería baja |

CAPITULO 2

2 ANÁLISIS ACTUAL PARA LA CONVERSIÓN DE ENERGÍA SOLAR – ELÉCTRICA

2.1 Toma de datos

Los datos se extraen directamente de la consola de datos introduciendo una memoria flash procediendo de la siguiente manera:



Figura 20. Pasos para la extracción de datos de la pantalla.

Los datos que se han tomado para el respectivo análisis de la estación meteorológica están separados la primera columna esta la hora y la segunda columna día, y además están tomados con intervalos de una hora en un lapso de tres meses para las dos zonas de análisis. Ver Anexo B

2.2 Interpretación de datos

Los resultados se verifican que estén completos y sean razonables, luego se procesaran para realizar el reporte de análisis final. En el proceso de recolección de información es indispensable tomar en cuenta si los datos son erróneos y corregirlos tempranamente en el equipo de medición.

Con los datos obtenidos después de ser verificados se han procedido a realizar los siguientes cálculos:

2.3 Cálculos para el dimensionamiento del sistema fotovoltaico

Para el dimensionamiento del sistema se ha considerado las tendencias iniciales de los resultados, y un modelo de panel fotovoltaico, posteriormente se obtendrá las características de fabricación que ayudaran en la determinación de la potencia para este sistema.

2.4 Características del panel solar

2.4.1 Panel solar policristalino SP672-300



Figura 21. Panel solar.
Fuente: (Proviento, 2017)

2.4.2 Características mecánicas

- Celda solar policristalina de silicio 156x156 (mm)
- Número de celdas 72 (6x12)
- Peso 22.5 Kg

2.4.3 Características eléctricas

- Potencia 300Wp (vatio pico)
- Voltaje máximo 36.3
- Corriente máxima 8.26

2.5 Controlador Prostar mppt-40m



Figura 22. Controlador de carga.
Fuente: (Proviento S.A, 2015)

2.5.1 Características

- Voltaje nominal de la batería 12 / 24V.
- Potencia de funcionamiento ** 350 / 700W 550 / 1100W
- Max. Corriente de carga de la batería 25A 40^a
- Corriente de carga nominal 25A 30^a. (Proviento S.A, 2015)

2.6 Batería UCG 150-12 DEEP CYCLE GEL 12V 150AH



Figura 23. Batería de gel de ciclo profundo.
Fuente: (Proviento, 2017)

2.6.1 Características

- Voltaje Nominal 12V
- Capacidad nominal (10HR) 150AH
- Corriente máxima 15.0A. (Proviento S.A, 2015)

2.7 Inversor de batería bidireccional SMA SUNNY ISLAND 6048-US



Figura 24. Inversor de corriente continua a alterna.
Fuente: (Proviento S.A, 2016)

2.7.1 Características

- Salida de CA (cargas).
- Voltaje de red nominal / Rango de voltaje CA 120 V / 105 V.
- Frecuencia nominal / frecuencia (ajustable) 60 Hz / 55 Hz.
- Alimentación CA (a 25 ° C / a 40 ° C) durante 3 horas 5000 W / 4000 W 6000 W / 5000 W.
- Potencia nominal 4500 W 5750 W.
- Corriente nominal / máx. Corriente de salida (pico) 37,5 A / 180 A.
- Entrada de la batería de CC.
- Voltaje de entrada nominal / Rango de tensión de CC 48 V / 41.

- Máxima Corriente de carga de la batería / corriente nominal de carga 100 A / 85 A.
- Tipo de batería / rango de capacidad de la batería Plomo, NiCd / 100 Ah. (Proviento S.A, 2016)

2.8 Calculo de radiación solar promedio del mes para el sector Curiqinga

Las tabla 8 respectivamente se calculó el promedio mensual de radiación en el programa Excel obteniendo los siguientes resultados para el sector Curiqinga:

Tabla 8.Promedio mensual de Radiación solar para el sector Curiqinga

| HORA | ABRIL | MAYO | JUNIO |
|-------|-------------|------------|------------|
| 0,00 | 0 | 0 | 0 |
| 1,00 | 0 | 0 | 0 |
| 2,00 | 0 | 0 | 0 |
| 3,00 | 0 | 0 | 0 |
| 4,00 | 0 | 0 | 0 |
| 5,00 | 0 | 0 | 0 |
| 6,00 | 17,46057692 | 17,6140323 | 17,8581379 |
| 7,00 | 98,56423077 | 80,1577419 | 91,5058621 |
| 8,00 | 155,1611538 | 141,789355 | 125,20931 |
| 9,00 | 295,6769231 | 287,706452 | 191,831034 |
| 10,00 | 284,145 | 298,598065 | 243,313448 |
| 11,00 | 345,4565385 | 392,180645 | 309,206897 |
| 12,00 | 409,7269231 | 338,096774 | 365,336897 |
| 13,00 | 387,1576923 | 389,216129 | 366,5 |
| 14,00 | 279,3226923 | 336,544 | 302,76069 |
| 15,00 | 225,1415385 | 229,093548 | 253,63 |
| 16,00 | 176,9992308 | 182,036452 | 198,37969 |
| 17,00 | 130,3592308 | 136,51129 | 32,4641379 |
| 18,00 | 0 | 0 | 0 |
| 19,00 | 0 | 0 | 0 |
| 20,00 | 0 | 0 | 0 |
| 21,00 | 0 | 0 | 0 |
| 22,00 | 0 | 0 | 0 |
| 23,00 | 0 | 0 | 0 |

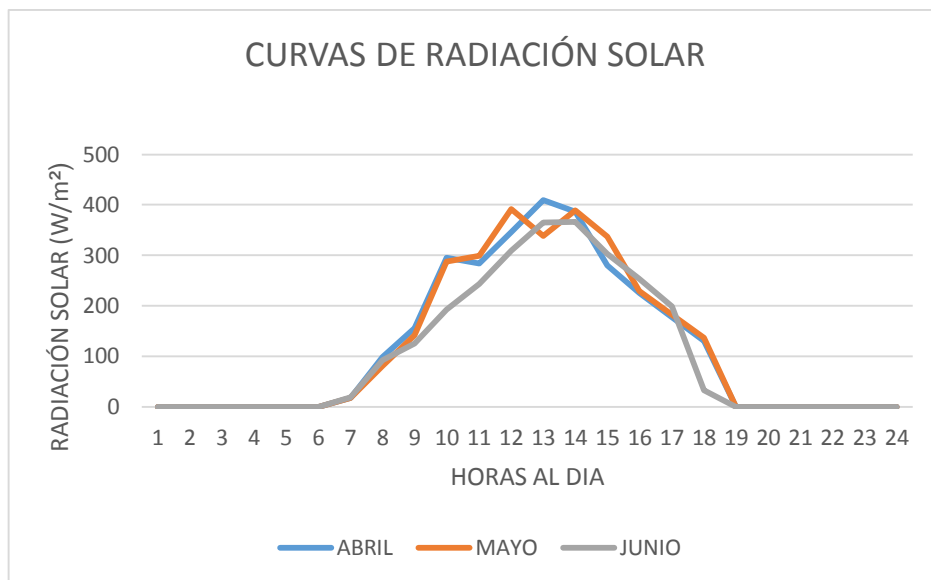


Figura 25 Curva promedio anual de radiación solar sector Curiquina

2.9 Promedio anual de radiación solar sector Curiquina

Promedio anual de radiación obtenida de la nasa para el sector Curiquina

Tabla 9. Datos promedio de radiación solar sector Curiquina

| La insolación mensual promedio que incide sobre una superficie horizontal (kWh / m ² / día) | | | | | | | | | | | | | |
|--|-------|---------|-------|-------|------|-------|-------|--------|------------|---------|-----------|-----------|-------------|
| Latitud -3.018 | Enero | Febrero | Marzo | Abril | Mayo | Junio | Julio | Agosto | Septiembre | Octubre | Noviembre | Diciembre | anual media |
| Latitud -3.018 Lon -78.903 | 2,87 | 2,4 | 2,58 | 2,72 | 3,08 | 3,3 | 3,06 | 3,12 | 3,04 | 3,18 | 3,71 | 3,31 | 3,031 |

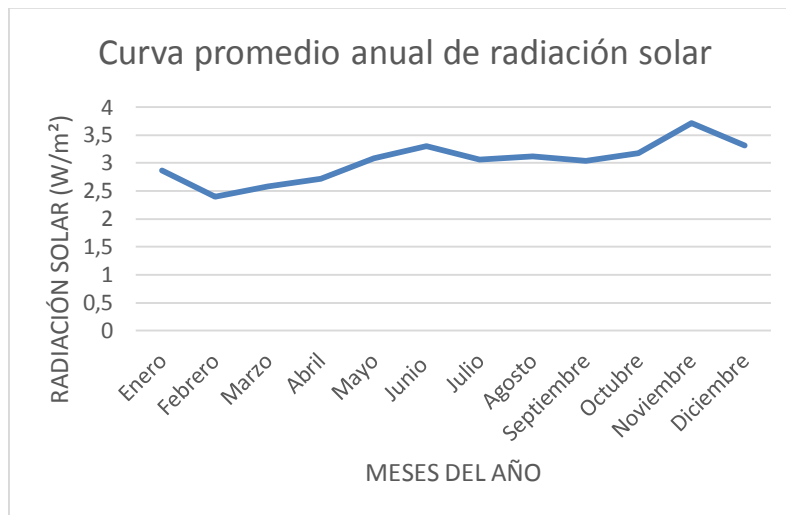


Figura 26. Curva promedio anual de radiación solar sector Curiquina

Tabla 10. Valores máximos y mínimos de Radiación solar para el sector Curiquina

| VALORES MÁXIMOS Y MÍNIMOS DE RADIACIÓN | | | |
|--|------------------|------------------|------------------|
| | ABRIL | MAYO | JUNIO |
| MÁXIMOS | W/m ² | W/m ² | W/m ² |
| MÍNIMOS | 1160 | 1102 | 1096 |
| | 17,46 | 17,61 | 17,85 |

Tabla 11. Promedio mensual de Temperatura para el sector Curiquinga

| ABRIL | MAYO | JUNIO |
|-------------|-------------|----------|
| 9,211538462 | 9,316129032 | 9,44667 |
| 9,188461538 | 9,248387097 | 9,44667 |
| 9,192307692 | 9,14516129 | 9,30000 |
| 9,192307692 | 9,132258065 | 9,20000 |
| 9,084615385 | 9,073333333 | 9,04000 |
| 9,157692308 | 9,067741935 | 9,00000 |
| 9,157692308 | 9,25483871 | 8,91000 |
| 9,507692308 | 9,687096774 | 9,13000 |
| 10,05384615 | 10,38064516 | 9,35000 |
| 10,65384615 | 11,21612903 | 10,07000 |
| 11,38846154 | 12,19354839 | 10,89000 |
| 11,91538462 | 12,69677419 | 11,75667 |
| 12,44230769 | 12,76451613 | 13,01000 |
| 13,14230769 | 13,08709677 | 13,39667 |
| 12,68076923 | 12,86774194 | 13,91000 |
| 12,39615385 | 12,17419355 | 13,68333 |
| 11,68846154 | 11,69354839 | 12,86000 |
| 11,37692308 | 11,38064516 | 12,14333 |
| 10,50384615 | 10,7516129 | 10,99667 |
| 10,27692308 | 10,45483871 | 9,94000 |
| 10,39615385 | 10,14516129 | 9,59667 |
| 10,16153846 | 9,912903226 | 9,43333 |
| 9,807692308 | 9,590322581 | 9,36333 |
| 9,373076923 | 9,370967742 | 9,22333 |

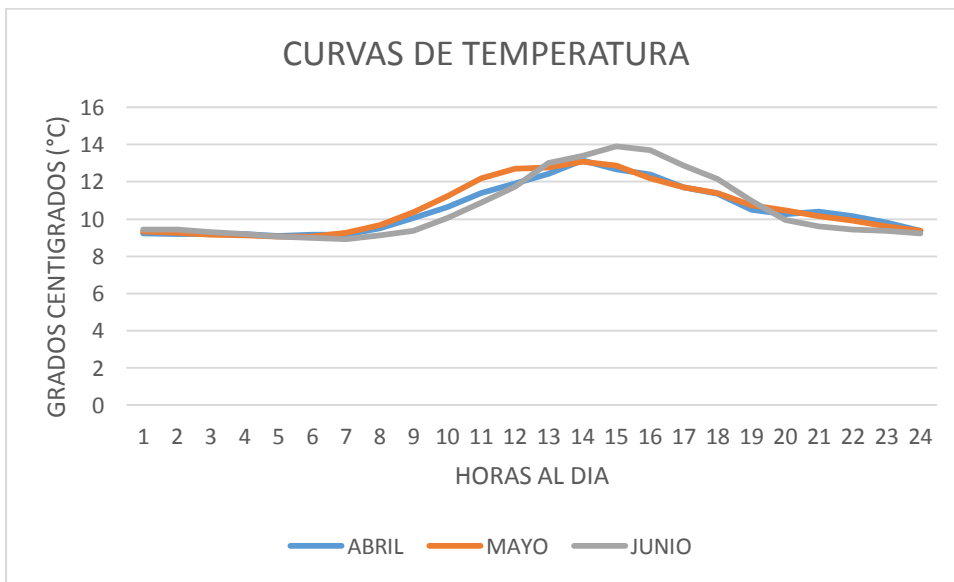


Figura 27. Promedio de Temperatura mensual existente en el sector Curiquinga

2.10 Cálculo de radiación solar promedio del mes para el sector Loma Guamán

La tabla 12 respectivamente se calculó el promedio mensual de radiación en el programa Excel obteniendo los siguientes resultados para el sector Loma Guamán.

Tabla 12. Promedio mensual de Radiación solar para el sector Loma Guamán

| HORA | ABRIL | MAYO | JUNIO |
|-------|------------|------------|------------|
| 0,00 | 0 | 0 | 0 |
| 1,00 | 0 | 0 | 0 |
| 2,00 | 0 | 0 | 0 |
| 3,00 | 0 | 0 | 0 |
| 4,00 | 0 | 0 | 0 |
| 5,00 | 0 | 0 | 0 |
| 6,00 | 20,0796635 | 20,2561371 | 20,3237967 |
| 7,00 | 113,348865 | 92,1814032 | 102,329683 |
| 8,00 | 178,435327 | 163,057758 | 139,934683 |
| 9,00 | 340,028462 | 330,862419 | 217,890117 |
| 10,00 | 326,76675 | 343,387774 | 278,03895 |
| 11,00 | 397,275019 | 451,007742 | 347,375517 |
| 12,00 | 471,185962 | 388,81129 | 423,685683 |
| 13,00 | 445,231346 | 447,598548 | 411,351167 |
| 14,00 | 321,221096 | 374,540903 | 345,431633 |
| 15,00 | 258,912769 | 263,457581 | 290,722683 |
| 16,00 | 203,549115 | 209,341919 | 226,500588 |
| 17,00 | 149,913115 | 156,987984 | 39,8432833 |
| 18,00 | 0 | 0 | 0 |
| 19,00 | 0 | 0 | 0 |
| 20,00 | 0 | 0 | 0 |
| 21,00 | 0 | 0 | 0 |
| 22,00 | 0 | 0 | 0 |
| 23,00 | 0 | 0 | 0 |

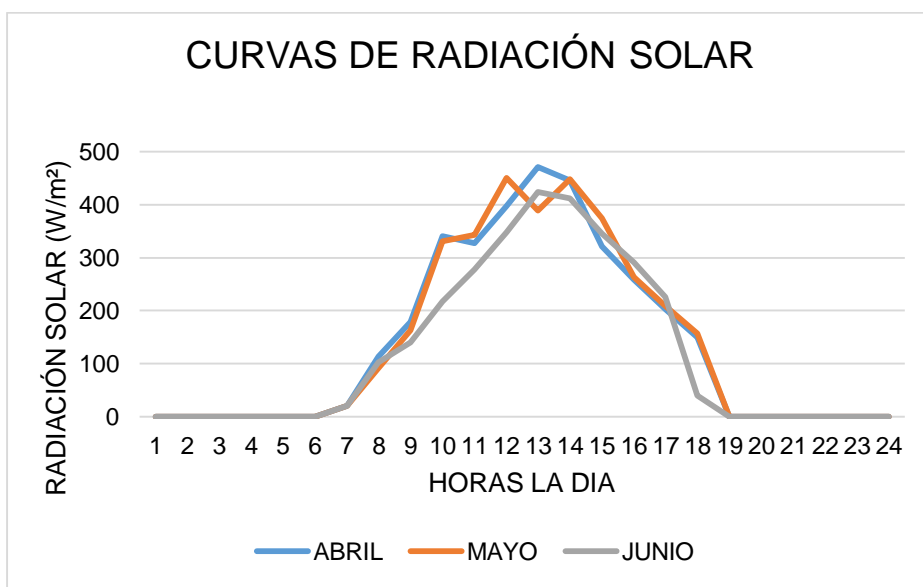


Figura 28. Promedio de Radiación solar mensual existente en el sector Loma Guamán

2.11 Promedio anual de radiación solar sector Loma Guamán

Tabla 13. Datos promedio de radiación solar sector Loma Guamán

Fuente: (NASA, 2017)

| La insolación mensual promedio que incide sobre una superficie horizontal (kWh / m ² / día) | | | | | | | | | | | | | | |
|--|-------|---------|-------|-------|------|-------|-------|--------|------------|---------|-----------|-----------|-------------|--|
| Latitud -3.034 Lon -78.928 | Enero | Febrero | Marzo | Abril | Mayo | Junio | Julio | Agosto | Septiembre | Octubre | Noviembre | Diciembre | anual media | |
| Promedio anual | 4,17 | 3,97 | 4,17 | 4,05 | 4,01 | 3,98 | 3,9 | 4,2 | 4,41 | 4,56 | 4,76 | 4,41 | 4,216 | |

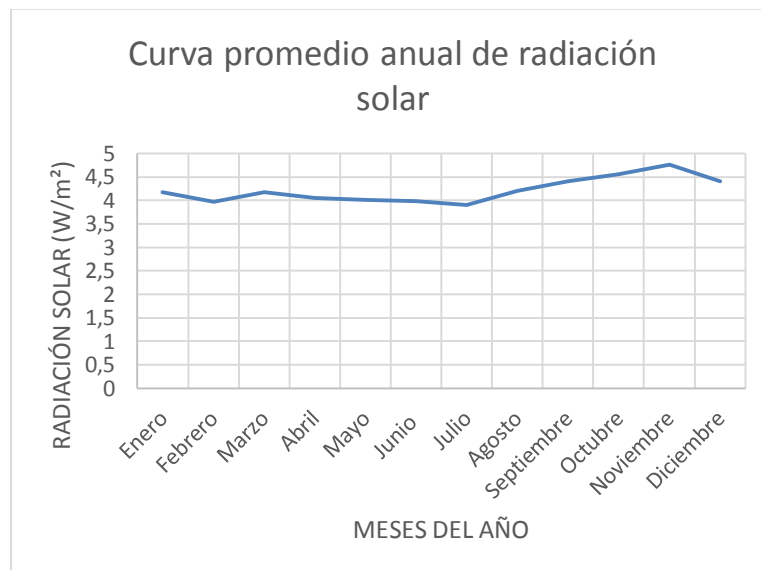


Figura 29. Curva promedio anual de radiación solar sector Loma Guamán

Fuente: (NASA, 2017)

Tabla 14. Valores máximos y mínimos de Radiación solar para el sector Loma Guamán

| VALORES MÁXIMOS Y MÍNIMOS DE RADIACIÓN | | | | | |
|--|------------------|--|------------------|--|------------------|
| | ABRIL | | MAYO | | JUNIO |
| MÁXIMOS | W/m ² | | W/m ² | | W/m ² |
| MÍNIMOS | 1127 | | 1102 | | 1113 |
| | 20,07 | | 20,25 | | 20,32 |

Tabla 15. Promedio mensual de Temperatura para el sector Loma Guamán.

| HORA | ABRIL | MAYO | JUNIO |
|-------|-------------|-------------|----------|
| 0,00 | 10,59326923 | 10,71354839 | 10,86367 |
| 1,00 | 10,56673077 | 10,63564516 | 10,86367 |
| 2,00 | 10,57115385 | 10,51693548 | 10,69500 |
| 3,00 | 10,57115385 | 10,50209677 | 10,58000 |
| 4,00 | 10,44730769 | 10,09774194 | 10,39600 |
| 5,00 | 10,53134615 | 10,42790323 | 10,35000 |
| 6,00 | 10,53134615 | 10,64306452 | 10,24650 |
| 7,00 | 10,93384615 | 11,14016129 | 10,49950 |
| 8,00 | 11,56192308 | 11,93774194 | 10,75250 |
| 9,00 | 12,25192308 | 12,89854839 | 11,58050 |
| 10,00 | 13,09673077 | 14,02258065 | 12,52350 |
| 11,00 | 13,70269231 | 14,60129032 | 13,52017 |
| 12,00 | 14,30865385 | 14,67919355 | 14,96150 |
| 13,00 | 15,11365385 | 15,05016129 | 15,40617 |
| 14,00 | 14,58288462 | 14,79790323 | 15,99650 |
| 15,00 | 14,25557692 | 14,00032258 | 15,73583 |
| 16,00 | 13,44173077 | 13,44758065 | 14,78900 |
| 17,00 | 13,08346154 | 13,08774194 | 13,96483 |
| 18,00 | 12,07942308 | 12,36435484 | 12,64617 |
| 19,00 | 11,81846154 | 12,02306452 | 11,43100 |
| 20,00 | 11,95557692 | 11,66693548 | 11,03617 |
| 21,00 | 11,68576923 | 11,39983871 | 10,84833 |
| 22,00 | 11,27884615 | 11,02887097 | 10,76783 |
| 23,00 | 10,77903846 | 10,7766129 | 10,60683 |

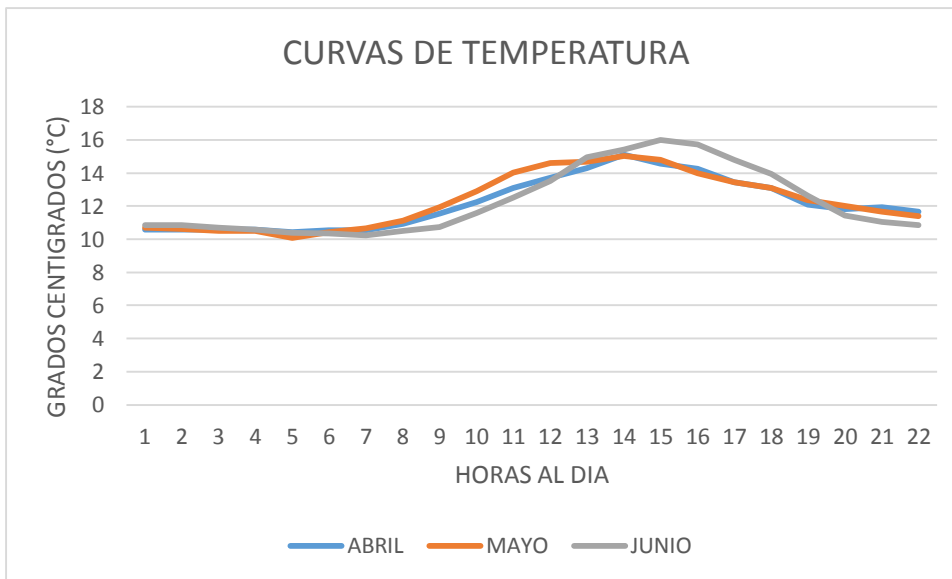


Figura 30. Promedio de Temperatura mensual existente en el sector Loma Guamán.

2.12 Cálculo de potencia de un panel solar

Tabla 16. Características para el cálculo de la potencia de un panel solar

| | | |
|--------------|---|-----------|
| η_{pvg} | Eficiencia del panel | |
| η_r | Eficiencia del módulo panel | 0,15 |
| η_{pc} | Eficiencia de condicionamiento | 0,6 |
| β | Coeficiente de temperatura (0,004 - 0,006) | 0,005 |
| T_c | Temperatura ambiente | |
| T_{cref} | Temperatura panel | 25 |
| A_{pvg} | Área panel solar m² | 1,9498752 |
| G_t | Radiación solar (w/m²) | |

Para calcular la eficiencia del panel solar utilizamos la ecuación 21, descrita anteriormente para poder determinar la potencia eléctrica del panel.

Tabla 17. Eficiencia de un panel solar

| HORA | ABRIL | MAYO | JUNIO |
|-------|------------|-----------|---------|
| 0,00 | 0,096345 | 0,0900000 | 0,0970 |
| 1,00 | 0,09640038 | 0,0900000 | 0,0900 |
| 2,00 | 0,09659423 | 0,0900000 | 35,4150 |
| 3,00 | 0,09675865 | 0,0900000 | 2,8627 |
| 4,00 | 0,09688327 | 0,0900000 | 0,0900 |
| 5,00 | 0,09692654 | 0,0900000 | 0,0900 |
| 6,00 | 0,09701654 | 0,0900000 | 0,0900 |
| 7,00 | 0,09690058 | 0,0900000 | 0,0900 |
| 8,00 | 0,09669635 | 0,0900000 | 0,0900 |
| 9,00 | 0,09643846 | 0,0900000 | 0,0900 |
| 10,00 | 0,09612519 | 0,0900000 | 0,0900 |
| 11,00 | 0,09588808 | 0,0900000 | 0,0900 |
| 12,00 | 0,09565096 | 0,0900000 | 0,0900 |
| 13,00 | 0,09558173 | 0,0900000 | 0,0900 |
| 14,00 | 0,09575135 | 0,0900000 | 0,0900 |
| 15,00 | 0,09590885 | 0,0900000 | 0,0900 |
| 16,00 | 0,09614769 | 0,0900000 | 0,0900 |
| 17,00 | 0,09624635 | 0,0900000 | 0,0900 |
| 18,00 | 0,09652327 | 0,0900000 | 0,0900 |
| 19,00 | 0,09657173 | 0,0900000 | 0,0900 |
| 20,00 | 0,09650942 | 0,0900000 | 0,0900 |
| 21,00 | 0,09640212 | 0,0900000 | 0,0900 |
| 22,00 | 0,09638135 | 0,0900000 | 0,0900 |
| 23,00 | 0,09634154 | 0,0900000 | 0,0900 |

Para el cálculo de la potencia de un panel solar tomare como referencia la ecuación 16 y las características necesarias del panel solar descritas anteriormente para determinar la potencia para el sector Curiquina.

Tabla 18. Potencia calculada en watts de un panel solar para el sector Curiqinga

| ABRIL | MAYO | JUNIO |
|------------|------------|------------|
| 0 | 0 | 0 |
| 0 | 0 | 0 |
| 0 | 0 | 0 |
| 0 | 0 | 0 |
| 0 | 0 | 0 |
| 0 | 0 | 0 |
| 3,30301982 | 3,09106482 | 3,13390262 |
| 18,6231232 | 14,0667834 | 16,058251 |
| 29,254985 | 24,8824392 | 21,9728276 |
| 55,5999651 | 50,4892507 | 33,6641919 |
| 53,2579022 | 52,4006065 | 42,6987773 |
| 64,5899341 | 68,8232983 | 54,2623373 |
| 76,4171186 | 59,3321864 | 64,1125219 |
| 72,1555263 | 68,303059 | 64,3166335 |
| 52,1504336 | 59,0596919 | 53,1311004 |
| 42,1037823 | 40,2033446 | 44,5092162 |
| 33,1831079 | 31,9453526 | 34,8134073 |
| 24,4643035 | 23,9561982 | 5,69709157 |
| 0 | 0 | 0 |
| 0 | 0 | 0 |
| 0 | 0 | 0 |
| 0 | 0 | 0 |
| 0 | 0 | 0 |
| 0 | 0 | 0 |

Se presenta la gráfica de la potencia de un panel solar con respecto a los datos obtenidos en el campo para el sector Curiqinga.

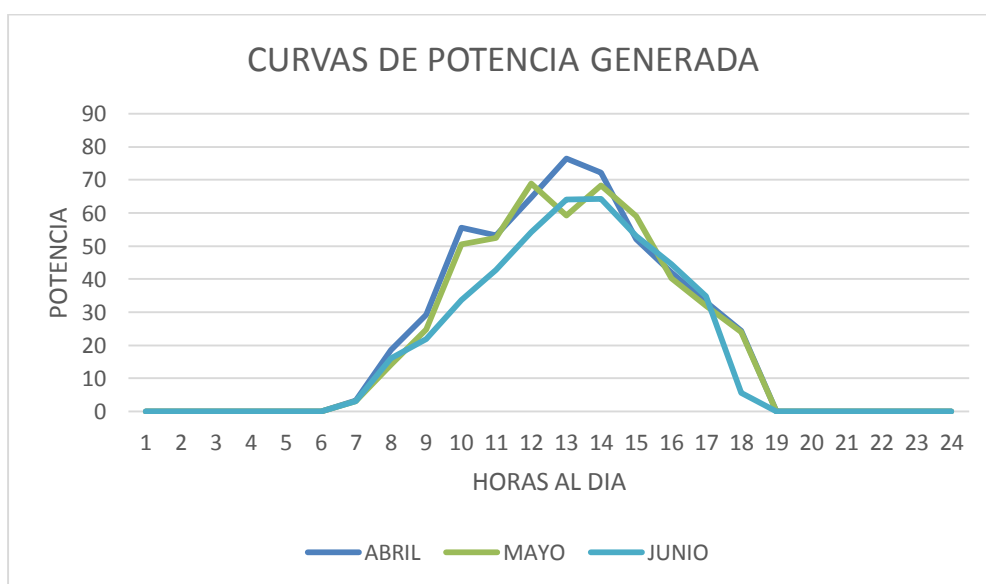


Figura 31. Resultados de la potencia calculada para el sector Curiqinga

Para el cálculo de la potencia de un panel solar tomare como referencia la ecuación 16 y las características necesarias del panel solar descritas anteriormente para determinar la potencia para el sector Loma Guamán.

Tabla 19.Potencia calculada en watts de un panel solar para el sector Loma Guamán

| HORA | POTENCIA | POTENCIA | POTENCIA |
|-------|------------|------------|------------|
| 0,00 | 0 | 0 | 0 |
| 1,00 | 0 | 0 | 0 |
| 2,00 | 0 | 0 | 0 |
| 3,00 | 0 | 0 | 0 |
| 4,00 | 0 | 0 | 0 |
| 5,00 | 0 | 0 | 0 |
| 6,00 | 3,77867539 | 3,8098993 | 3,82969706 |
| 7,00 | 21,2904339 | 17,2978401 | 19,2596889 |
| 8,00 | 33,4173548 | 30,4836749 | 26,306342 |
| 9,00 | 63,4746395 | 61,5758494 | 40,8028932 |
| 10,00 | 60,7567934 | 63,5682322 | 51,8365242 |
| 11,00 | 73,6553928 | 83,2619156 | 64,4595834 |
| 12,00 | 87,1080657 | 71,7530614 | 78,0839953 |
| 13,00 | 81,9953548 | 82,4562432 | 75,6502841 |
| 14,00 | 59,3067946 | 69,0805246 | 63,3483043 |
| 15,00 | 47,8772161 | 48,7766332 | 53,381788 |
| 16,00 | 37,7849241 | 38,8591707 | 41,7776591 |
| 17,00 | 27,8755734 | 29,1905193 | 7,37784082 |
| 18,00 | 0 | 0 | 0 |
| 19,00 | 0 | 0 | 0 |
| 20,00 | 0 | 0 | 0 |
| 21,00 | 0 | 0 | 0 |
| 22,00 | 0 | 0 | 0 |
| 23,00 | 0 | 0 | 0 |

Se presenta la gráfica de la potencia de un panel solar con respecto a los datos obtenidos en el campo para el sector Loma Guamán.

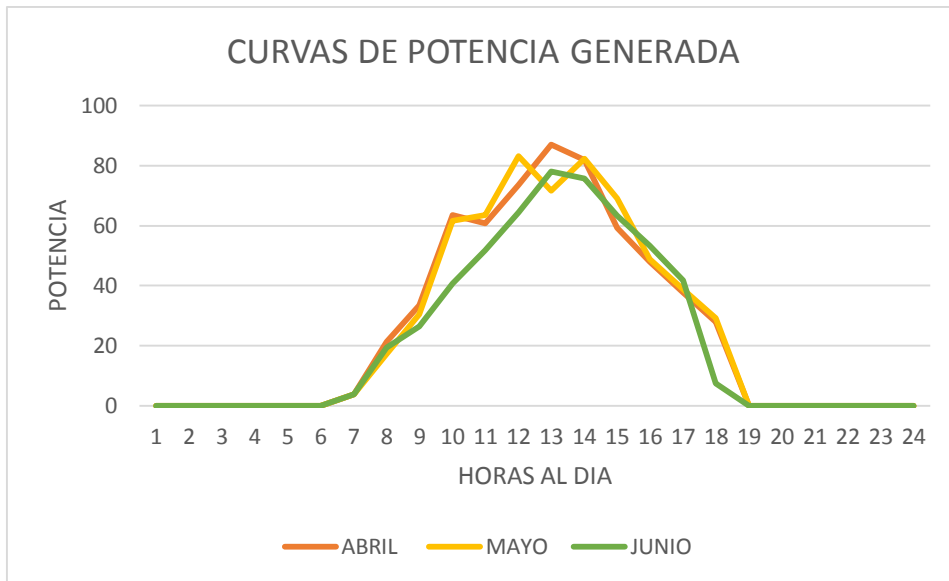


Figura 32. Resultados de la potencia calculada para el sector Loma Guamán.

2.13 Modelo matemático

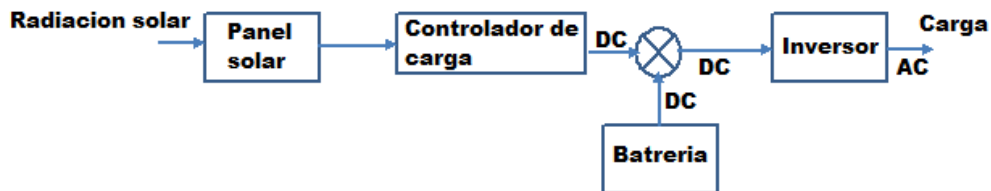


Figura 33. Sistema general de funcionamiento fotovoltaico

2.14 Simulaciones

2.14.1 Modelo en simulink de los subsistemas

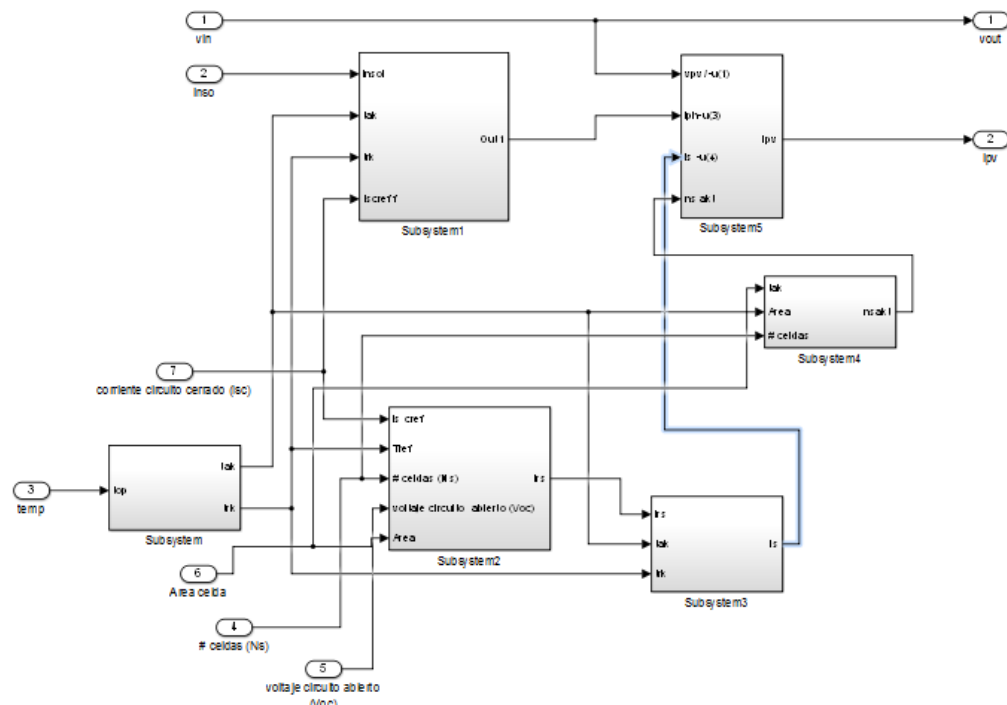


Figura 34. Modelo simulink subsistemas

2.14.2 Modelo simulink de la corriente fotogenerada

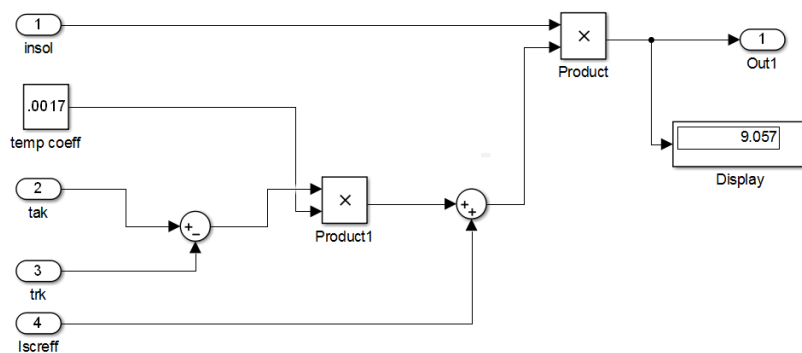


Figura 35. Modelo de corriente fotogenerada (ecuación 9)

2.14.3 Modelo simulink Corriente de diodo

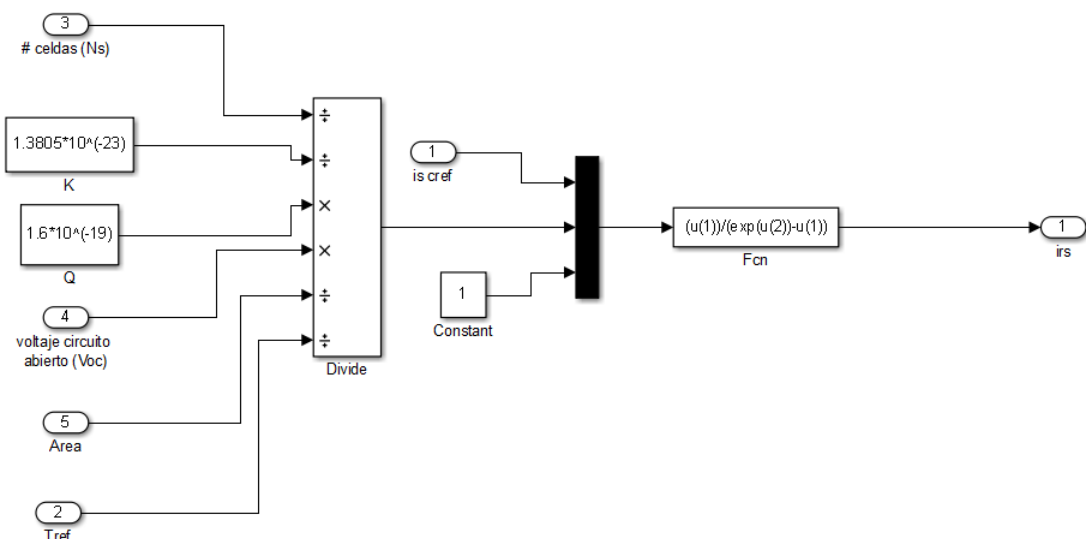


Figura 36. Modelo de Corriente de diodo (ecuación 10)

2.14.4 Modelo simulink Corriente de saturación del diodo

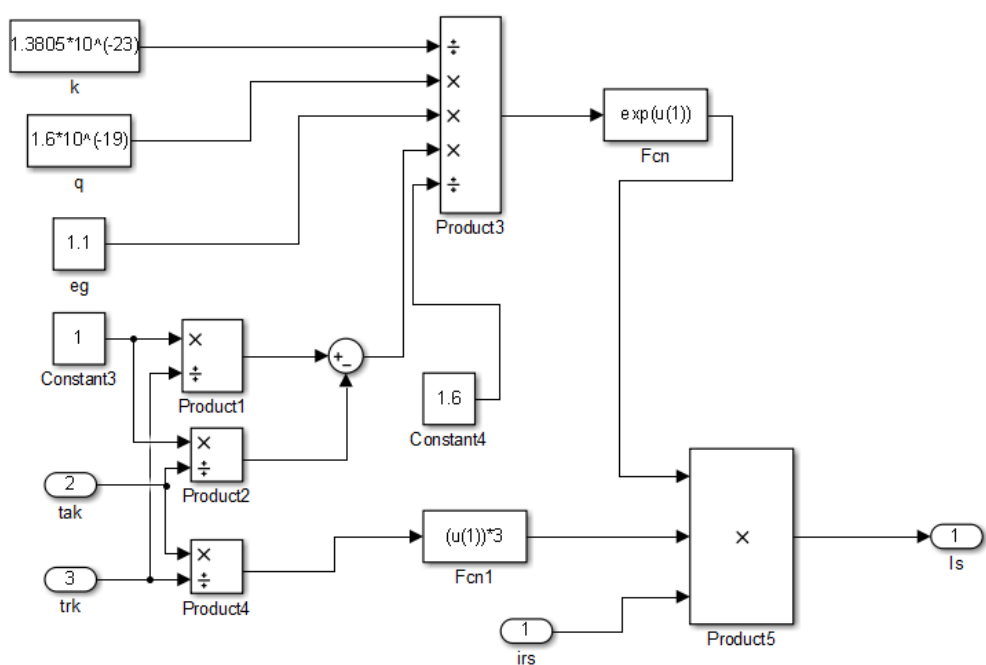


Figura 37. Modelo de Corriente de saturación del diodo (ecuación 11)
2.14.5 Modelo en simulink de la temperatura en kelvin

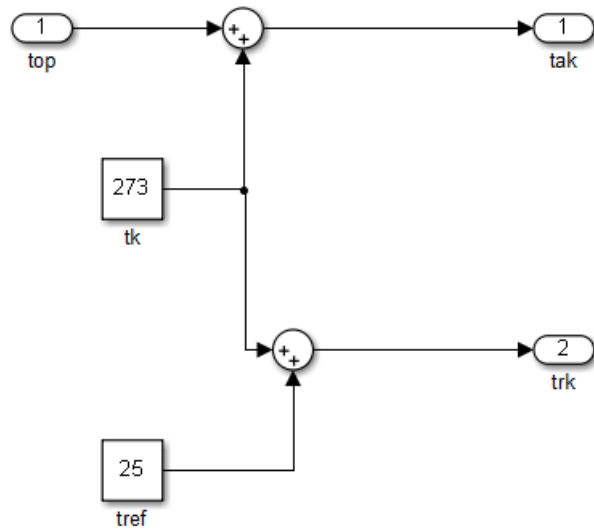


Figura 38. Modelo en simulink de la temperatura en kelvin (ecuación 12)

2.15 Simulación para el sistema fotovoltaico

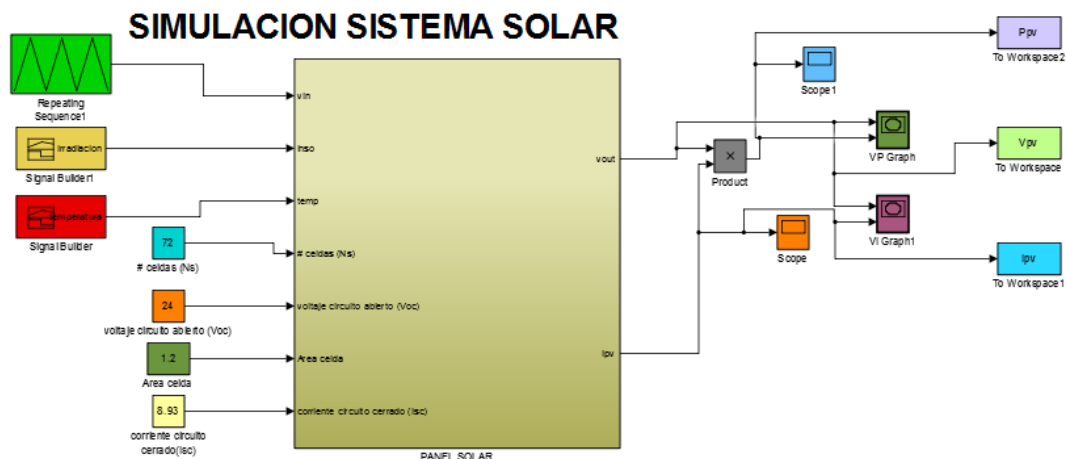


Figura 39. Simulación fotovoltaica simulink.

2.16 Curvas de simulación

Para la curva de simulación se consideró respecto a la velocidad de viento, potencia obtenida, determinando también la curva de simulación respecto al voltaje-corriente.

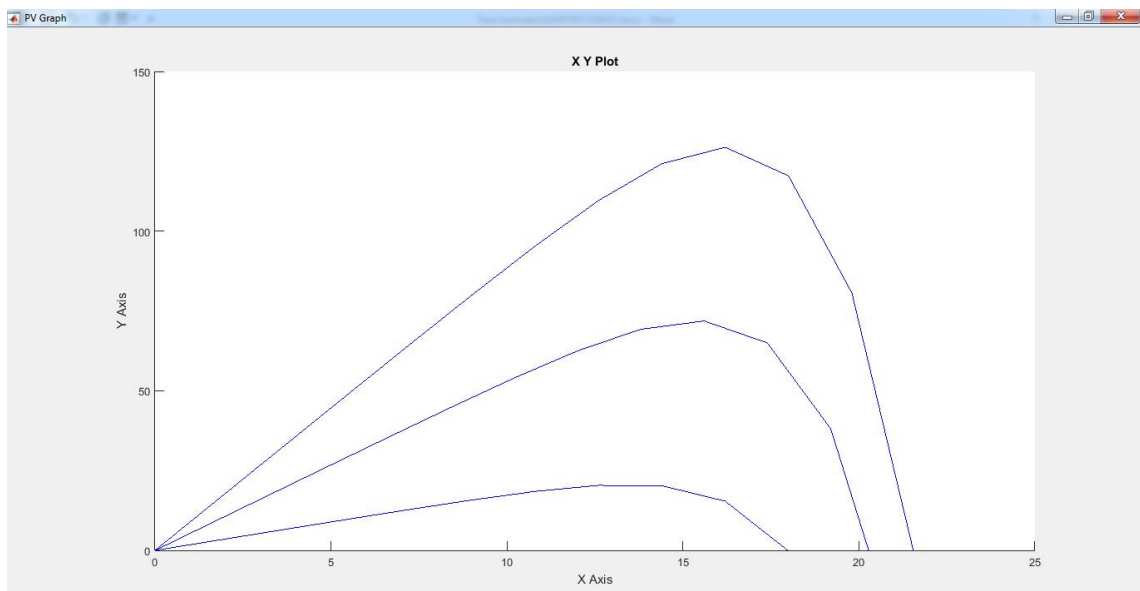


Figura 40.Curva de simulación respecto a la velocidad de viento-potencia obtenida

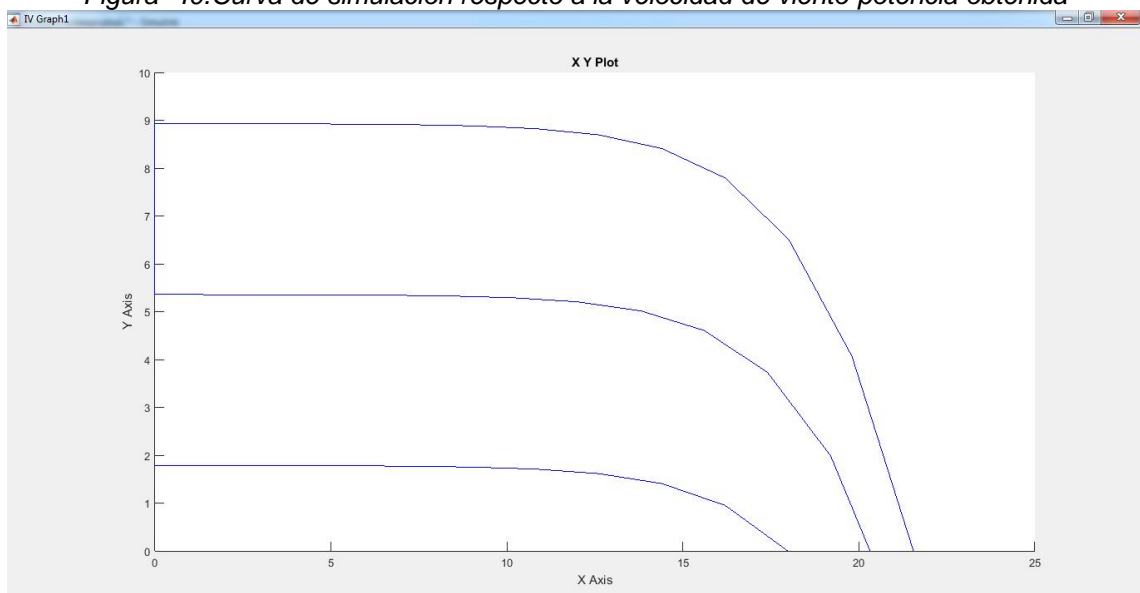


Figura 41.Curva de simulación respecto a la corriente-voltaje de generación.

2.17 Simulación teórica práctica en matlab sistema fotovoltaico

Para la comparación de los valores teóricos prácticos se tomaron como referencia datos de corriente y voltaje en la simulación del sistema fotovoltaico.

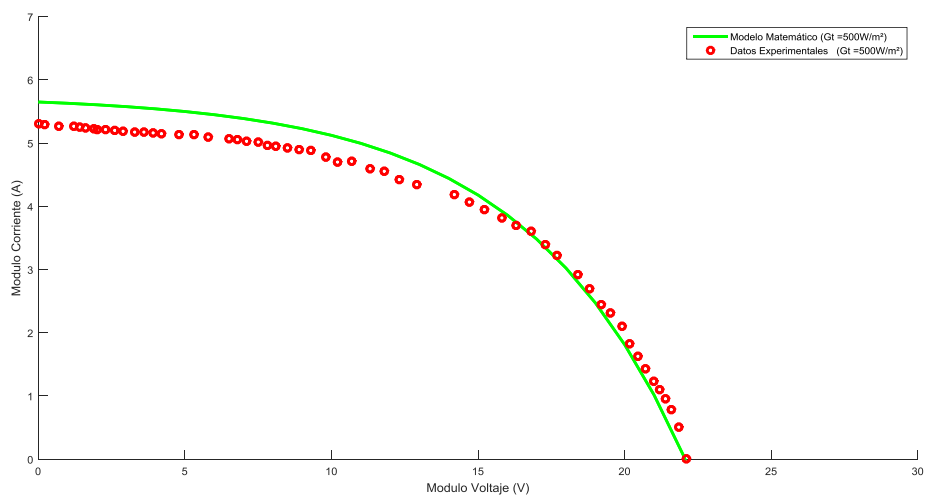


Figura 42. Simulación teórica práctica en matlab para el sistema fotovoltaico corriente-voltaje

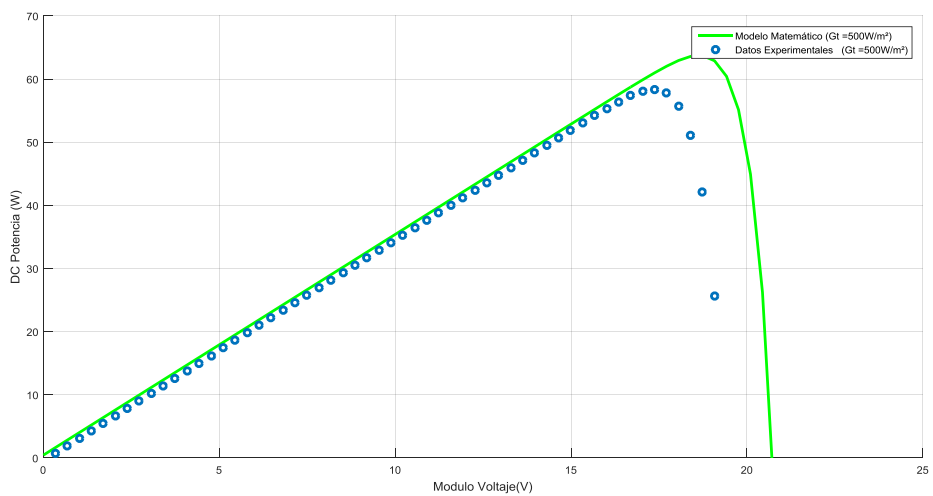


Figura 43. Simulación teórica práctica en matlab para el sistema fotovoltaico potencia-voltaje

CAPITULO 3

3 ANÁLISIS ACTUAL PARA LA CONVERSIÓN DE ENERGÍA EÓLICA - ELÉCTRICA

3.1 Toma de datos

Los datos se extraen directamente de la consola de datos introduciendo una memoria flash explicado anteriormente.

3.2 Interpretación de datos

Los resultados se verifican que estén completos y sean razonables, que luego se procesaran para realizar el reporte de análisis final.

3.3 Rosa de vientos

Es de gran importancia considerar en la ubicación de turbinas eólicas la direccionalidad del viento, para lo que se ha generado una rosa de vientos en Matlab con direcciones y velocidades de viento.

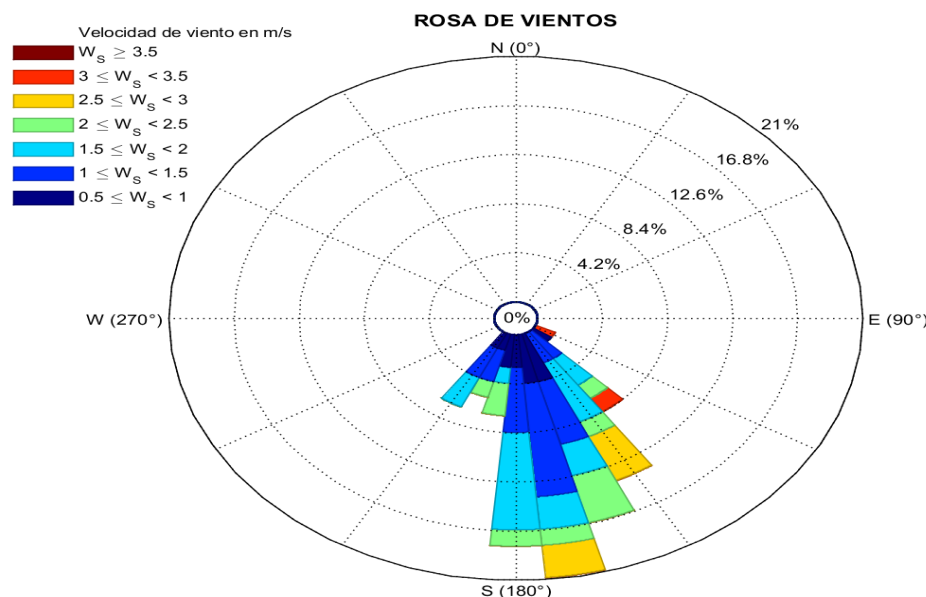


Figura 44. Dirección y velocidad de viento.

3.4 Cálculo de velocidad de viento promedio del mes para el sector Curiqinga

Las tabla 20 respectivamente se calculó el promedio mensual de velocidad de viento en la herramienta informática Excel, obteniendo los siguientes resultados para el sector Curiqinga.

Tabla 20. Promedio mensual de velocidad de viento para el sector Curiquina

| PROMEDIO ABRIL | PROMEDIO MAYO | PROMEDIO JUNIO |
|----------------|---------------|----------------|
| 1,35769231 | 0,94193548 | 1,04666667 |
| 1,10384615 | 1,09354839 | 0,76 |
| 1,16153846 | 1,08709677 | 1,04333333 |
| 0,91538462 | 1,10322581 | 0,90666667 |
| 0,78846154 | 1,28709677 | 0,93 |
| 1,1 | 1,06129032 | 1,34 |
| 1,00384615 | 0,91290323 | 1,18333333 |
| 0,66153846 | 0,69354839 | 0,73666667 |
| 0,988 | 0,99354839 | 1,33666667 |
| 1,77307692 | 1,53548387 | 1,74333333 |
| 1,33846154 | 1,20967742 | 1,73333333 |
| 2,11538462 | 1,40967742 | 2,02 |
| 1,91923077 | 1,90967742 | 0,99 |
| 2,47307692 | 1,45483871 | 1,63 |
| 3,46923077 | 1,91290323 | 2,57333333 |
| 3,48846154 | 2,51935484 | 2,75333333 |
| 2,66923077 | 1,7516129 | 1,74666667 |
| 2,80769231 | 2,32580645 | 2,28 |
| 2,42692308 | 2,05483871 | 2,07333333 |
| 2,41923077 | 1,61612903 | 1,69333333 |
| 1,77692308 | 1,91290323 | 1,88 |
| 2,31153846 | 1,94193548 | 1,99666667 |
| 1,71538462 | 1,65806452 | 1,27 |
| 1,27307692 | 1,07419355 | 1 |

A continuación se indica la gráfica de promedio mensual de velocidad de viento, teniendo condiciones de mayor velocidad en las horas 10:00 hasta 17:00 que presenta el sector Curiquina

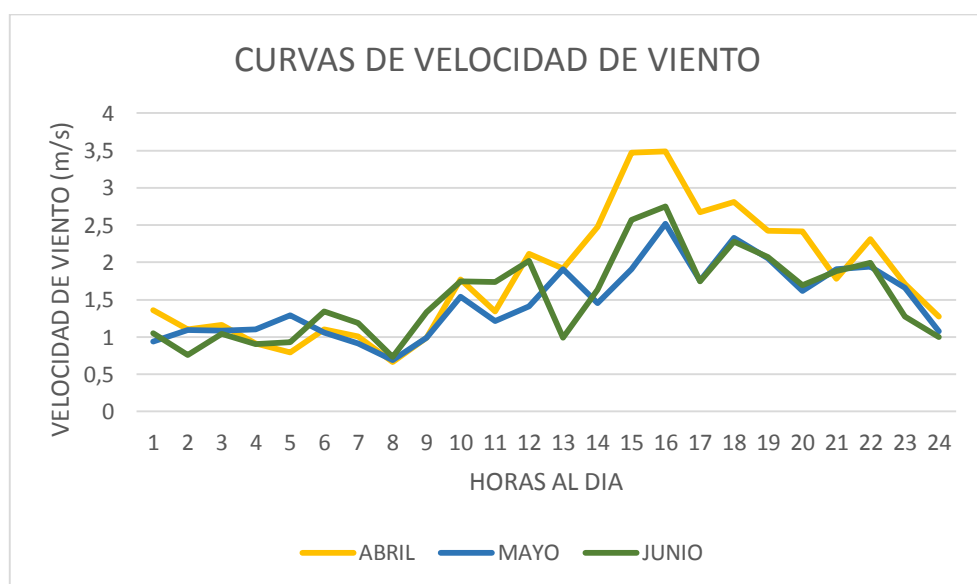


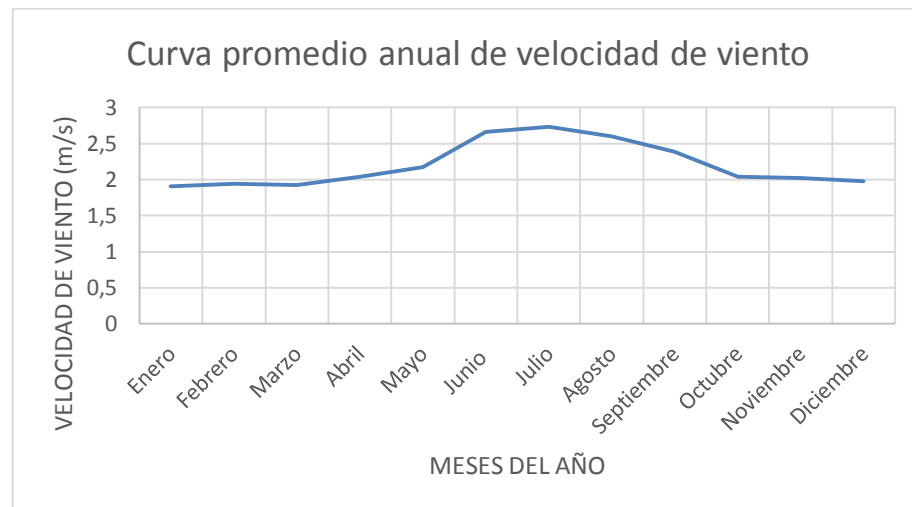
Figura 45. Velocidad promedio de viento mensual existente en el sector Curiquina

3.5 Promedio anual de velocidad de viento sector Curiqinga

Se presentan datos de velocidad de viento anuales para el sector Curiqinga de la NASA, dando los siguientes resultados.

*Tabla 21.Datos promedio anual de velocidad de viento sector Curiqinga.
Fuente: (NASA, 2017)*

| Promedio mensual de la velocidad de viento a 10 mts sobre la superficie de la tierra | | | | | | | | | | | | | |
|--|-------|---------|-------|-------|------|-------|-------|--------|------------|---------|-----------|-----------|-------------|
| Latitud -3.018 Lon -78.903 | Enero | Febrero | Marzo | Abril | Mayo | Junio | Julio | Agosto | Septiembre | Octubre | Noviembre | Diciembre | anual media |
| Promedio anual | 1,91 | 1,94 | 1,92 | 2,04 | 2,17 | 2,66 | 2,73 | 2,6 | 2,39 | 2,04 | 2,02 | 1,98 | 2,2 |



*Figura 46.Curva promedio anual de velocidad de viento sector Curiqinga.
Fuente: (NASA, 2017)*

Tabla 22.Valores máximos y mínimos de velocidad de viento para el sector Curiqinga.

| VALORES MÁXIMOS Y MÍNIMOS DE VELOCIDAD DE VIENTO | | | | |
|--|-------|------|-------|------|
| | ABRIL | MAYO | JUNIO | |
| MÁXIMOS | m/s | m/s | | m/s |
| MÍNIMOS | 13,2 | 12,8 | | 12,6 |

3.6 Calculo de velocidad de viento promedio del mes para el sector Loma Guamán

En la tabla 23, respectivamente se calculó el promedio mensual con la herramienta informática Excel, obteniendo los siguientes resultados para el sector Loma Guamán.

Tabla 23. Promedio mensual de velocidad de viento para el sector Cerro Guamán

| PROMEDIO ABRIL | PROMEDIO MAYO | PROMEDIO JUNIO |
|----------------|---------------|----------------|
| 1,15403846 | 0,80064516 | 0,88966667 |
| 0,93826923 | 0,92951613 | 0,646 |
| 0,98730769 | 0,92403226 | 0,88683333 |
| 0,77807692 | 0,93774194 | 0,77066667 |
| 0,67019231 | 1,09403226 | 0,7905 |
| 0,935 | 0,90209677 | 1,139 |
| 0,85326923 | 0,77596774 | 1,00583333 |
| 0,56230769 | 0,58951613 | 0,62616667 |
| 0,82711538 | 0,84451613 | 1,13616667 |
| 1,50711538 | 1,30516129 | 1,48183333 |
| 1,13769231 | 1,02822581 | 1,47333333 |
| 1,79807692 | 1,19822581 | 1,717 |
| 1,63134615 | 1,62322581 | 0,8415 |
| 2,10211538 | 1,2366129 | 1,3855 |
| 2,94884615 | 1,62596774 | 2,18733333 |
| 2,96519231 | 2,14145161 | 2,34033333 |
| 2,26884615 | 1,48887097 | 1,48466667 |
| 2,38653846 | 1,97693548 | 1,938 |
| 2,06288462 | 1,7466129 | 1,76233333 |
| 2,05634615 | 1,37370968 | 1,43933333 |
| 1,51038462 | 1,62596774 | 1,598 |
| 1,96480769 | 1,65064516 | 1,69716667 |
| 1,45807692 | 1,40935484 | 1,0795 |
| 1,08211538 | 0,91306452 | 0,85 |

Los resultados promedios para el sector Loma Guamán de velocidad de viento, son mayores en el horario de 9:00 hasta 17:00, como se presenta en la siguiente gráfica.

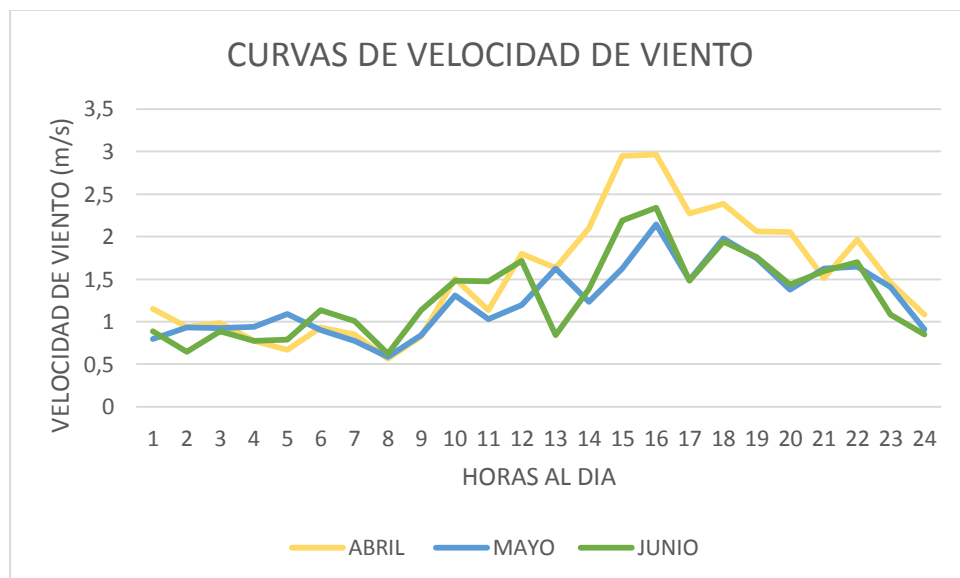


Figura 47. Velocidad promedio de viento mensual existente en el sector Loma Guamán

3.7 Promedio anual de velocidad de viento sector Loma Guamán

Se presenta resultados para el sector conocido como Loma Guamán, de velocidad de viento

Tabla 24.Datos promedio anuales de velocidad de viento sector Loma Guamán

| Promedio mensual de la velocidad de viento a 10 mts sobre la superficie de la tierra | | | | | | | | | | | | | |
|--|-------|---------|-------|-------|------|-------|-------|--------|------------|---------|-----------|-----------|-------------|
| Latitud -3.034 Lon -78.928 | Enero | Febrero | Marzo | Abril | Mayo | Junio | Julio | Agosto | Septiembre | Octubre | Noviembre | Diciembre | anual media |
| Promedio anual | 1,91 | 1,94 | 1,92 | 2,04 | 2,17 | 2,66 | 2,73 | 2,6 | 2,39 | 2,04 | 2,02 | 1,98 | 2,2 |

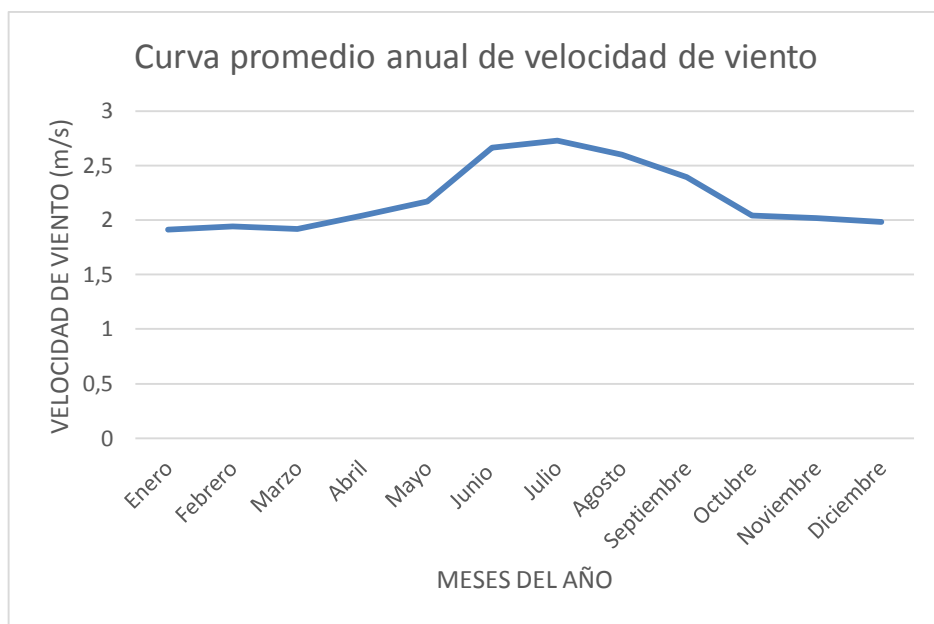


Figura 48.Curva promedio anual de velocidad de viento sector Loma Guamán.

Tabla 25. Valores máximos y mínimos de velocidad de viento para el sector Loma Guamán.

| VALORES MÁXIMOS Y MÍNIMOS DE VELOCIDAD DE VIENTO | | | | | |
|--|-------|--|-------|--|-------|
| | ABRIL | | MAYO | | JUNIO |
| | m/s | | m/s | | m/s |
| MÁXIMOS | 12,23 | | 11,88 | | 11,34 |
| MÍNIMOS | 0,1 | | 0,1 | | 0,1 |

3.8 Cálculo de potencia para el sistema eólico

Para el cálculo de la potencia con los valores obtenidos de campo, se empleó la ecuación 7 y características del aerogenerador que fueron tomados como referencia para el cálculo.

3.8.1 Características del aerogenerador para el sistema eólico

Para el dimensionamiento de los sistemas se han considerado las características iniciales de los resultados, y un modelo de aerogenerador para obtener las características de fabricación para la determinación de la potencia para este sistema.

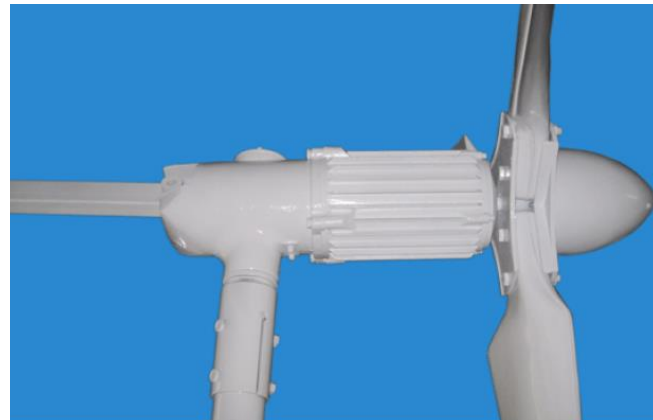


Figura 49. Modelo aerogenerador utilizado para la determinación de la potencia.
Fuente: (Proviento S. , 2016)

3.8.2 Componentes principales

Está compuesta por:

- Cono de nariz
- Cuchillas 3PCS
- Generador
- Rotor
- Cola de varilla
- Torre

3.8.3 Dimensiones

- Diámetro del rotor 3.2 metros
- Material y número de cuchillas 3x fibra de vidrio reforzada.
- Potencia nominal / potencia máxima 1.5kW / 1.8kW.
- Velocidad nominal 9 m/s.
- Velocidad de arranque 2.5 m/s
- Velocidad de viento de trabajo 3-25 m/s
- Velocidad del viento máximo 50 m/s
- Tensión de trabajo DC24 / 48V
- Tipo de generador Trifásico imán permanente
- Carga tensión máxima
- Método de regulación de velocidad Autofurl
- Altura de torre 8 metros
- Tiempo de vida 10-15 años

Tabla 26. Características del aerogenerador para el cálculo de la potencia

| Datos calculo potencia | |
|------------------------|------|
| Area palas | 3,2 |
| Cp | 0,5 |
| Densidad | 0,99 |
| η | 0,8 |

Tabla 27. Potencia calculada en watts para el sector Curiqinga

| ABRIL | MAYO | JUNIO |
|------------|------------|------------|
| 0 | 0 | 0 |
| 0,0006336 | 0,0006336 | 0,0006336 |
| 0,0050688 | 0,0050688 | 0,0050688 |
| 0,0405504 | 0,0405504 | 0,0405504 |
| 0,0792 | 0,0792 | 0,0792 |
| 0,1368576 | 0,1368576 | 0,1368576 |
| 0,3244032 | 0,3244032 | 0,3244032 |
| 0,4618944 | 0,4618944 | 0,4618944 |
| 0,8433216 | 0,8433216 | 0,8433216 |
| 1,0948608 | 1,0948608 | 1,0948608 |
| 1,3920192 | 1,3920192 | 1,3920192 |
| 2,1384 | 2,1384 | 2,1384 |
| 2,5952256 | 2,5952256 | 2,5952256 |
| 3,6951552 | 3,6951552 | 3,6951552 |
| 4,3458624 | 4,3458624 | 4,3458624 |
| 5,0688 | 5,0688 | 5,8677696 |
| 5,8677696 | 6,7465728 | 6,7465728 |
| 6,7465728 | 7,7090112 | 7,7090112 |
| 7,7090112 | 9,9 | 9,9 |
| 9,9 | 11,1361536 | 11,1361536 |
| 11,1361536 | 12,4711488 | 12,4711488 |
| 12,4711488 | 15,4528704 | 13,9087872 |
| 15,4528704 | 17,1072 | 15,4528704 |
| 17,1072 | 20,7618048 | 17,1072 |
| 20,7618048 | 22,7696832 | 20,7618048 |
| 22,7696832 | 24,9030144 | 22,7696832 |
| 24,9030144 | 29,5612416 | 24,9030144 |
| 29,5612416 | 32,0937408 | 29,5612416 |
| 32,0937408 | 37,5845184 | 32,0937408 |
| 37,5845184 | 40,5504 | 37,5845184 |
| 40,5504 | 43,6683456 | 40,5504 |
| 43,6683456 | 50,3756352 | 43,6683456 |
| 50,3756352 | 61,6720896 | 50,3756352 |
| 61,6720896 | 65,7822528 | 53,9725824 |
| 65,7822528 | 70,0710912 | 61,6720896 |
| 70,0710912 | 84,0476736 | 65,7822528 |
| 79,2 | 94,3284672 | 94,3284672 |
| 84,0476736 | 99,7691904 | 99,7691904 |
| 94,3284672 | 105,4152 | 105,4152 |
| 99,7691904 | 117,338285 | 123,622963 |
| 105,4152 | 123,622963 | 174,0024 |
| 117,338285 | 174,0024 | 256,749926 |
| 123,622963 | 226,77241 | 300,676147 |
| 174,0024 | 256,749926 | 446,668358 |
| 226,77241 | 431,780659 | |
| 256,749926 | 446,668358 | |
| 431,780659 | 509,640595 | |
| 446,668358 | | |
| 509,640595 | | |
| 543,2328 | | |

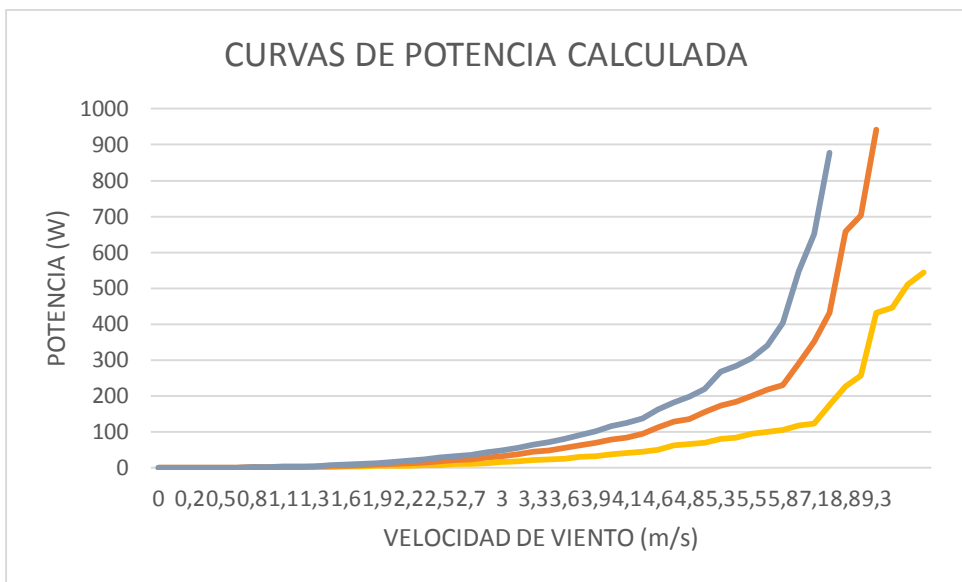


Figura 50. Resultados de la potencia calculada para la zona Curiquina

Tabla 28. Tabla 28. Potencia calculada en watts para el sector Loma Guamán

| ABRIL | MAYO | JUNIO |
|------------|------------|------------|
| 0 | 0 | 0 |
| 0,00311288 | 0,00311288 | 0,00311288 |
| 0,02490301 | 0,02490301 | 0,02490301 |
| 0,08404767 | 0,08404767 | 0,08404767 |
| 0,19922412 | 0,19922412 | 0,19922412 |
| 0,67238139 | 0,67238139 | 0,67238139 |
| 1,59379292 | 1,59379292 | 1,59379292 |
| 2,26928719 | 2,26928719 | 2,26928719 |
| 3,1128768 | 3,1128768 | 3,1128768 |
| 4,14323902 | 4,14323902 | 4,14323902 |
| 6,83899033 | 6,83899033 | 6,83899033 |
| 10,5059592 | 10,5059592 | 8,54173394 |
| 12,7503434 | 12,7503434 | 10,5059592 |
| 15,2935637 | 15,2935637 | 12,7503434 |
| 18,1542975 | 18,1542975 | 15,2935637 |
| 24,9030144 | 24,9030144 | 18,1542975 |
| 37,874372 | 37,874372 | 24,9030144 |
| 43,0324089 | 43,0324089 | 33,1459122 |
| 48,6387 | 61,2707541 | 37,874372 |
| 61,2707541 | 75,9199523 | 61,2707541 |
| 75,9199523 | 157,676549 | 75,9199523 |
| 157,676549 | 265,167297 | 157,676549 |
| | | 184,652739 |

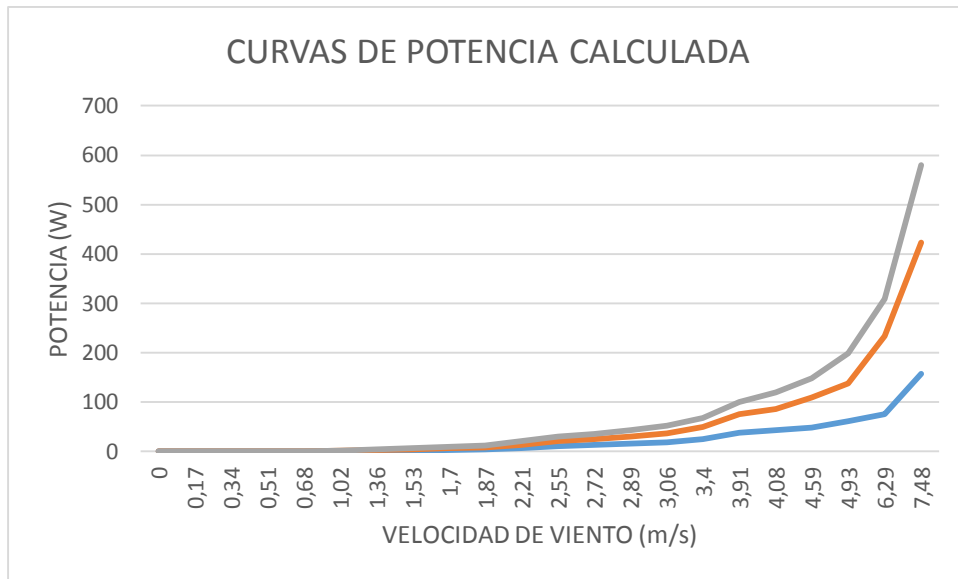


Figura 51. Resultados de la potencia calculada para la zona Loma Guamán

3.9 Modelo matemático

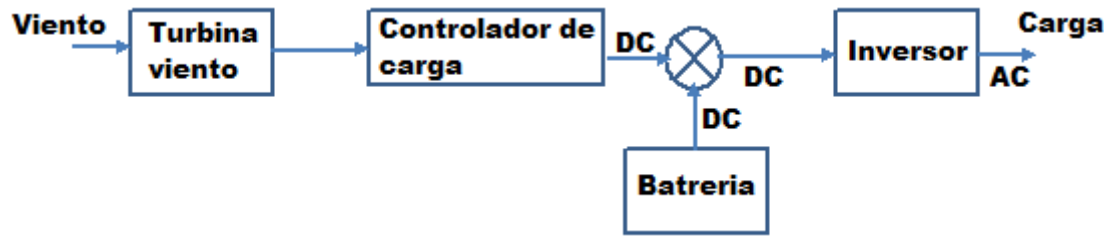


Figura 52. Sistema de funcionamiento eólico.

3.10 Simulación

3.10.1 Modelo en simulink del área del rotor

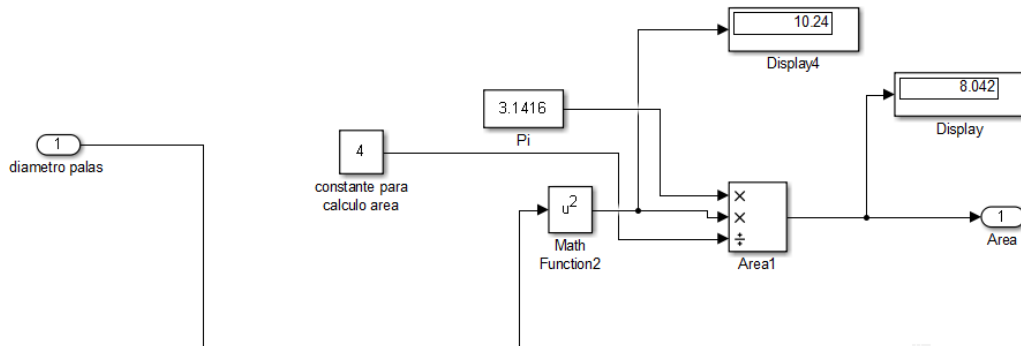


Figura 53. Modelo en simulink cálculo del área rotor (ecuación 3)

3.10.2 Modelo en simulink de la potencia teórica

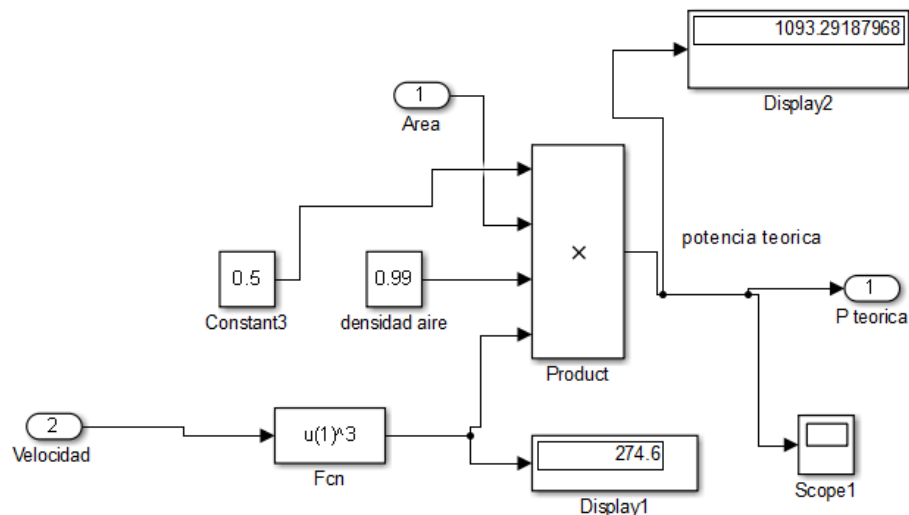


Figura 54. Modelo en simulink de la potencia teórica (ecuación 5)

3.10.3 Modelo en simulink de la potencia real

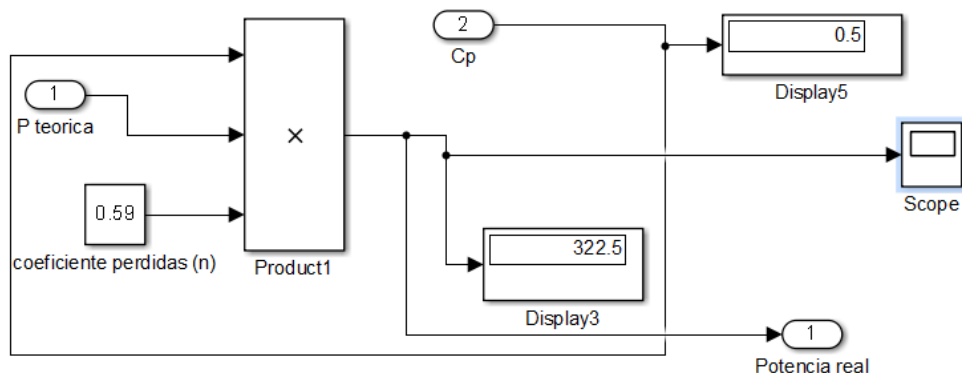


Figura 55. Modelo en simulink de la potencia real (ecuación 7)

3.11 Simulación para el sistema eólico

Simulación sistema eólico

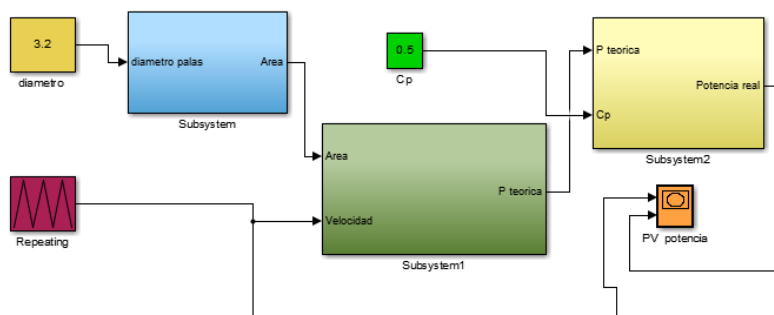


Figura 56. Sistema de simulación eólica en simulink

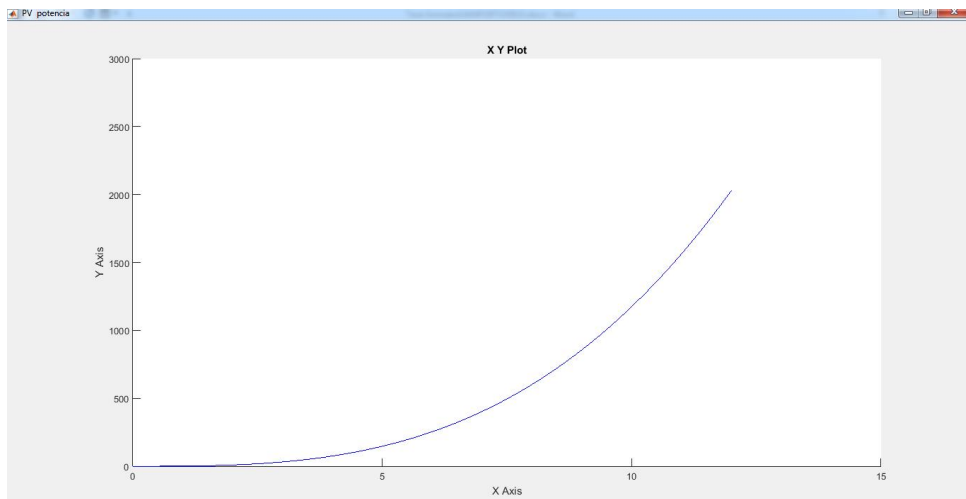


Figura 57. Gráfica del sistema de simulación eólica Potencia-Velocidad de viento en simulink

3.12 Simulación teórica práctica en matlab sistema eólico

Para la comparación de los valores teóricos prácticos se tomaron como referencia datos de velocidad de viento y potencia en la simulación del sistema eólico.

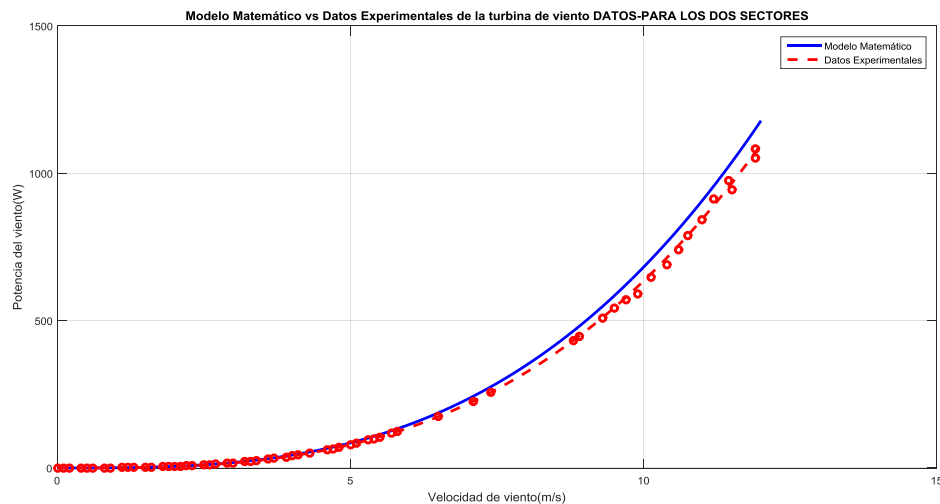


Figura 58. Simulación teórica práctica en matlab para el sistema eólico potencia-velocidad de viento

CAPITULO 4

4 DISEÑOS Y MODELAMIENTO

4.1 Diagrama de bloques para el sistema eólico-fotovoltaico

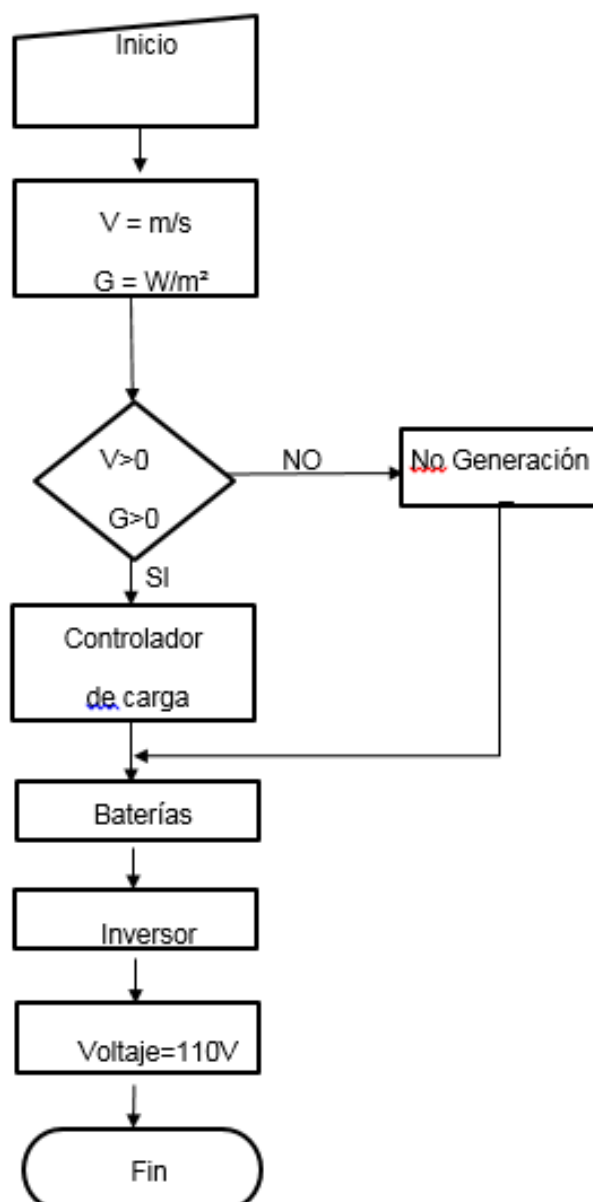


Figura 59. Diagrama de bloques para el sistema fotovoltaico-fotovoltaico.

4.2 Análisis de la carga

4.2.1 Energía eléctrica requerida para el sector Curiqinga y Loma Guamán

La cantidad y tipo de luminarias que se utilizarán en cada sector será de acuerdo a la necesidad, en este caso, se utilizará para la iluminación de senderos, espacios verdes y una área deportiva que se plantean como proyecto con la generación de energía híbrida (solar-eólica) y poder determinar la cantidad de energía requerida para el sector.

Tabla 29. Tipo y cantidad de luminarias para el sector Curiquina.

| Cantidad | Aparato o carga | Potencia en (Watts) total | Tiempo de operación (h) | Consumo de energía (Wxh) |
|----------|----------------------------|---------------------------|-------------------------|--------------------------|
| 33 | luminaria led para calles | 1188 | 8 | 9504 |
| 5 | luminaria led para parques | 265 | 8 | 2120 |
| | | | | |
| | Total | 1453 | | 11624 |

Tabla 30. Tipo y cantidad de luminarias para el sector Loma Guamán

| Cantidad | Aparato o carga | Potencia en (Watts) total | Tiempo de operación (h) | Consumo de energía (Wxh) |
|----------|---|---------------------------|-------------------------|--------------------------|
| 36 | luminaria led para calles | 1296 | 8 | 10368 |
| 2 | luminaria led para iluminacion donde necesita alto paquetes luminicos | 106 | 8 | 848 |
| | | | | |
| | Total | 1402 | | 11216 |

4.2.2 Tipo de luminarias

Las luminarias para determinar el proyecto son del siguiente tipo.

4.2.2.1 SCHREDER ALTURA LED / 5102 / 48 LEDS 350 Ma CW / 333972



Figura 60. Luminaria led para parques 36W

Características generales

- Flujo luminoso (Luminaria): 4232 lm
- Flujo luminoso (lámparas): 7680 lm
- Potencia de las luminarias: 53.0 W
- Clasificación de las luminarias según CIE: 94
- Código CIE Flux: 22 56 85 94 55
- Lámpara: 1x 48 LEDS 350mA CW (Factor de corrección 1000)

Emisión de luz

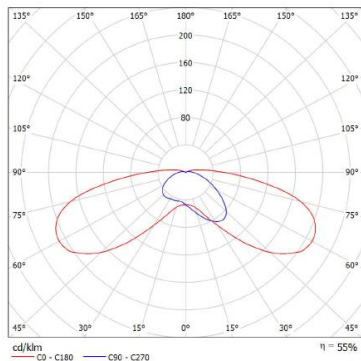


Figura 61. Emision de luz luminaria SCHREDER ALTURA LED / 5102 / 48 LEDS 350 Ma CW / 333972

4.2.2.2 SCHREDER AMPERA MINI / 5103 / 16 LEDS 700 mA WW / 356562



Figura 62. Luminaria led para calles 36W

Características generales

- Flujo luminoso (Luminaria): 3512 lm
- Flujo luminoso (lámparas): 4248 lm
- Potencia de las luminarias: 36.0 W
- Clasificación de las luminarias según CIE: 100
- Código CIE Flux: 40 74 96 100 82
- Lámpara: 1x 16 LEDS 700mA WW (Factor de corrección 1000)

Emisión de luz

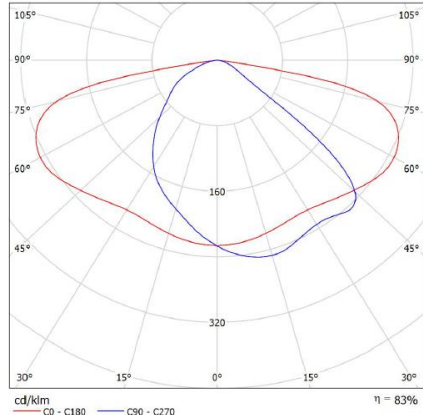


Figura 63.Emision de luz luminaria SCHREDER AMPERA MINI / 5103 / 16 LEDS 700 mA WW / 356562

4.2.2.3 SCHREDER OMNIstar /5118 / 128 LEDS 500mA CW / 348632



Figura 64.Luminaria led para iluminación donde necesita alto paquetes lumínicos.

Características generales

- Flujo luminoso (Luminaria): 22399 lm
- Flujo luminoso (lámparas): 27648 lm
- Potencia de las luminarias: 198.0 W
- Clasificación de las luminarias según CIE: 100
- Código CIE Flux: 34 70 96 100 81
- Lámpara: 1x 128 LEDS 500mA CW (Factor de corrección 1000)

Emisión de luz

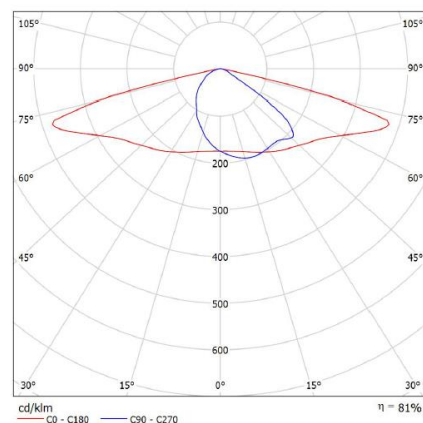


Figura 65. Emisión de luz, luminaria SCHREDER OMNIstar / 5118 / 128 LEDS 500mA CW / 348632

4.3 Diseños generales

4.4 Diseño general del sistema fotovoltaico

Para el sistema fotovoltaico tenemos varios elementos que están conformados como el inversor de energía continua en alterna, también se dispone de un controlador de carga y además de un banco de baterías que almacenaran la energía que generara la turbina eólica que luego se alimentara a la carga.

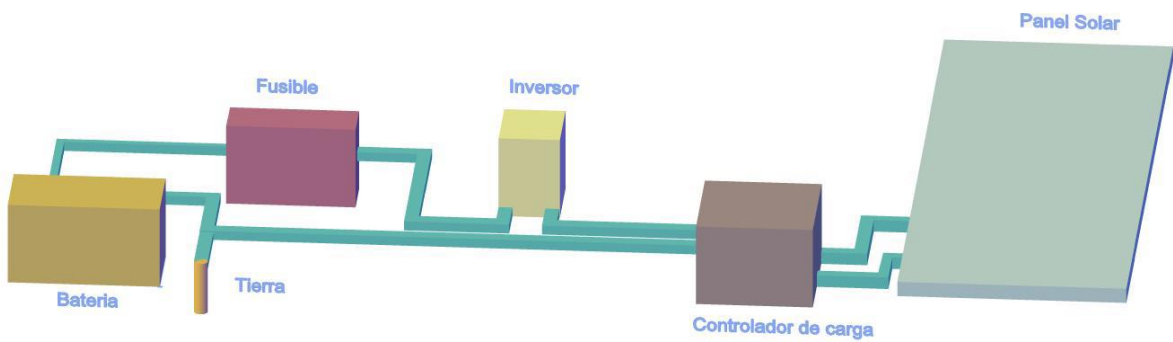


Figura 66. Sistema de generación fotovoltaica

4.5 Diseño general del sistema eólico

La energía eólica para generar electricidad está compuesto de varios elementos, como el inversor de energía continua en alterna, también se dispone de un controlador de carga y además de un banco de baterías que almacenaran la energía que generara el turbina eólica que luego se alimentara a la carga.

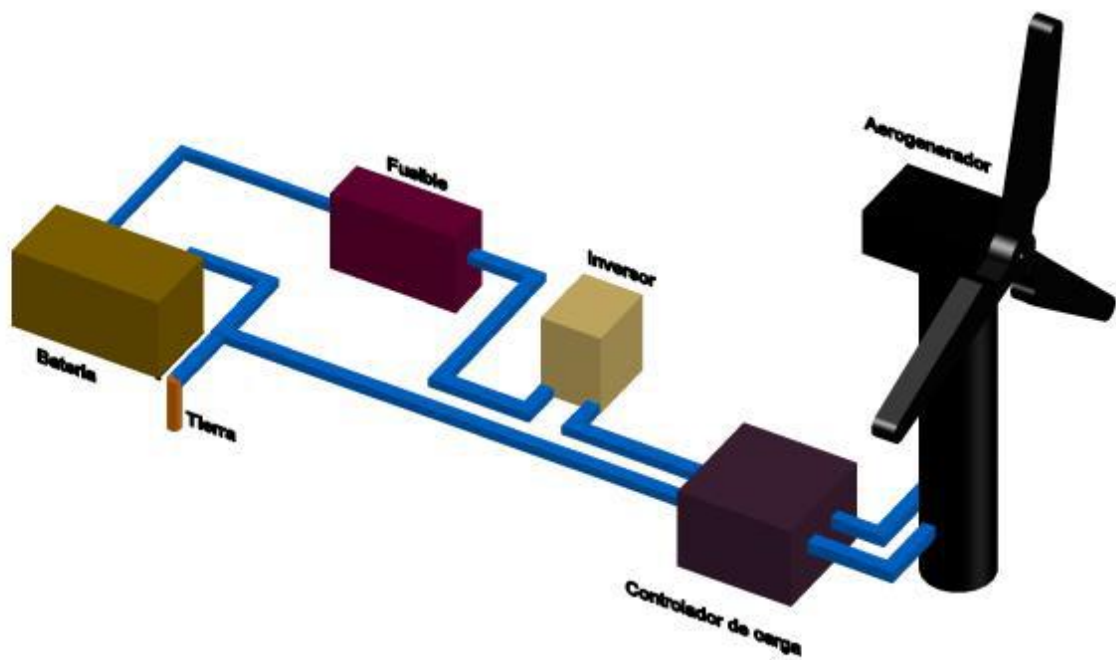


Figura 67.modelo del sistema de generación eólica

4.6 Diseño del proyecto para el sector Curiquina

Para el proyecto se planteó un diseño que comprende la iluminación de un espacio verde, un espacio para realizar actividad deportiva, y además una ruta que va desde el sector Punta Hacienda hasta el sector conocido como Curiquina, donde se pretende construir un mirador por la geografía que presenta el sector en la que expone a continuación.



Figura 68.Diseño general del proyecto planteado para el sector Curiquina realizado en dialux.



Figura 69.Diseño que comprende la parte del área deportiva y espacios verde realizado en dialux.

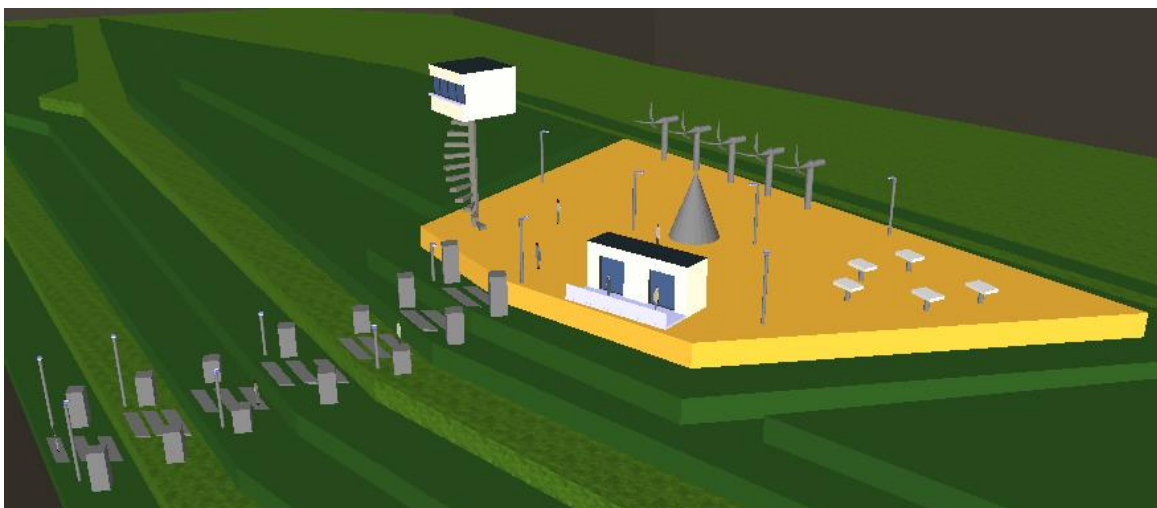


Figura 70.Diseño que comprende la parte del área del mirador.



Figura 71.Diseño realizado la simulación de iluminación para el sector Curiquina.

4.7 Diseño para el sector Loma Guamán

Para el sector se planteó el diseño de iluminación de unas escalinatas y parte de la zona donde existe una capilla de oración para los feligreses y devotos del santo San Pedro, además de un mirador.



Figura 72.Diseño general del proyecto planteado para el sector Loma Guamán realizado en dialux.

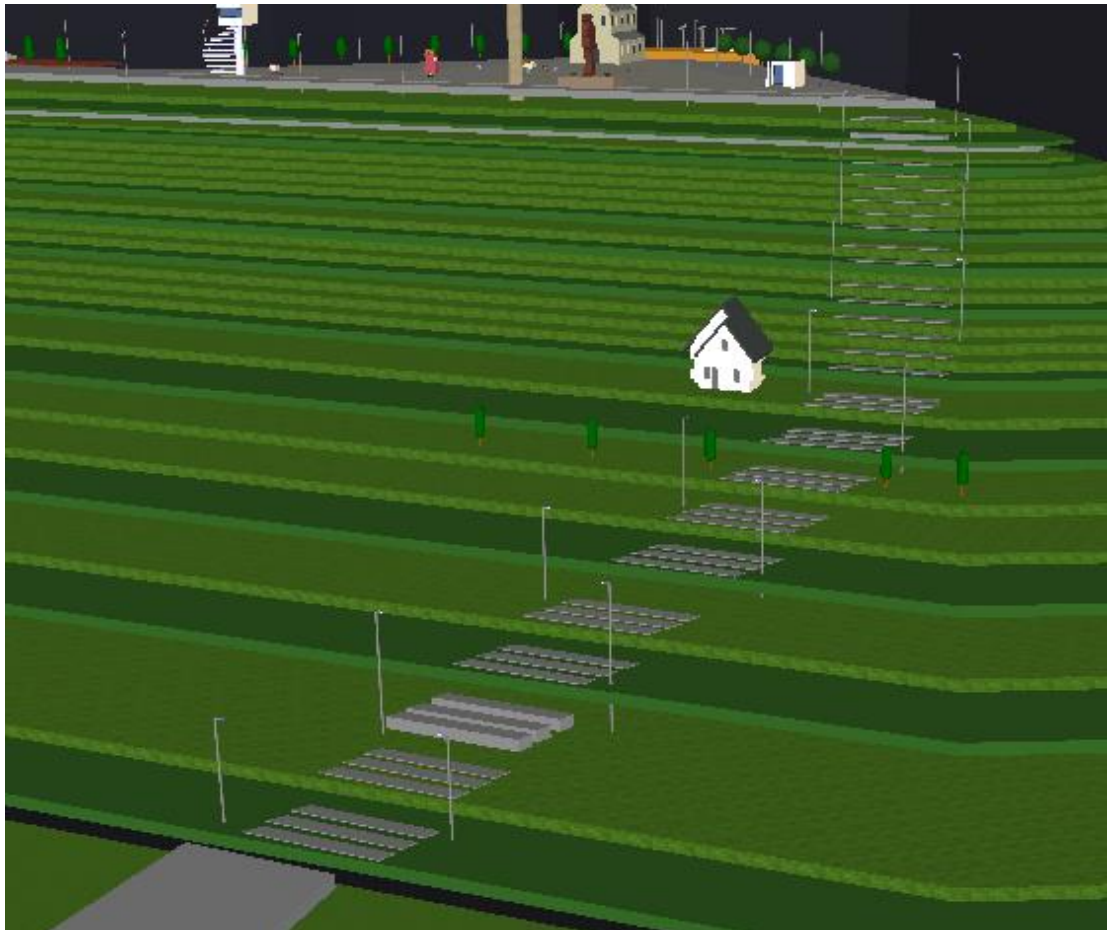


Figura 73.Diseño que comprende las escalinatas realizado en dialux.



Figura 74. Diseño que comprende el espacio en donde se construirá el mirador.

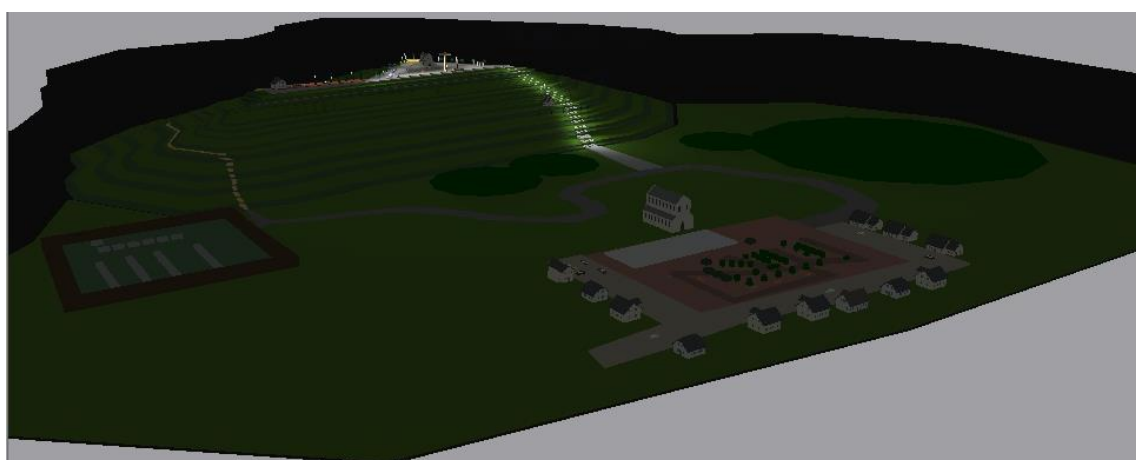


Figura 75. Diseño realizado la simulación de iluminación para el sector Loma Guamán

4.8 Determinación de la cantidad de equipo necesario para cada sistema de generación

4.8.1 Determinación de equipo necesario para el sector Curiquina

Para el análisis de carga que presenta el proyecto expuesto anteriormente, determinando las condiciones de velocidad de viento y radiación solar que presenta la zona, y el tipo de luminaria a utilizarse se determinó la demanda de energía que requiere cada zona para el primer caso se determinó una demanda de energía de 11.624 W/d, la carga está distribuida con un porcentaje del 80 % para la generación solar y 20 % para la generación eólica para los dos sectores.

He tomado en cuenta la eficiencia del inversor del 85%, voltaje de baterías de 12V y el voltaje en AC de 120V.

Tabla 31. Características generales para la determinación del número de paneles solares y aerogeneradores para el sector Curiquina.

| Demanda eléctrica | | |
|-----------------------------------|-----|------------|
| demandas eléctricas amperios hora | | |
| demandas ac | w/d | 11624 |
| voltaje ac | V | 120 |
| amperios hora ac nominales | Ah | 96,8666667 |
| eficiencia inversor DC - AC % | | 85 |
| total amperios hora | Ah | 96,8666667 |
| total Ah carga | Ah | 96,8666667 |

4.8.1.1 Banco de baterías

Determiné que el número de baterías es de 6 baterías de 150Ah cada una considerando la parte generación eólica, se podría escoger una de mayor capacidad que dependerá del costo y la alternativa que se tome, para zonas que presenta variación en la radiación podría incrementar el número de baterías.

Tabla 32. Determinación del número de baterías para el sector Curiquina.

| banco de baterías | |
|---|-------------|
| Total Ah carga | 96,8666667 |
| Días de autonomía (3 a 5) | 4 |
| Total Ah requeridos | 387,4666667 |
| Profundidad de descarga (0.2 a 0.8) (DoD) | 0,5 |
| Ah / DoD | 774,9333333 |
| Ah nominal de la batería seleccionada | 150 |
| Número de baterías | 5,17 |

4.8.1.2 Paneles fotovoltaicos

Para determinar el número de paneles he tomado un panel de 300Wp (vatio pico) a 45V y una radiación de 0,11488125 kWh, obteniendo con resultado un arreglo de 5 paneles.

Tabla 33. Determinación del número de paneles solares para el sector Curiquina.

| panel fotovoltaico | |
|--|-------------|
| Total Ah carga | 96,8666667 |
| Eficiencia de baterías | 0,85 |
| Amperios efectivos de baterías | 113,96 |
| Promedio irradiación solar kWh/m² dia | 0,11488125 |
| Horas de sol a 1000 W/m² dia | 5 |
| Total amperios del panel | 22,79215686 |
| Amperios pico del panel Imax | 8,26 |
| Número de paneles | 2,759341025 |
| Voltaje de la batería | 12 |
| Paneles por serie dependiendo del voltaje nominal: 12V=1 panel, 24V=2 paneles, 48V=paneles por serie | 1 |
| total número de paneles | 4 |

4.8.1.3 Controlador de carga

La capacidad del controlador de carga es de 8,26 amperios nominales a 12V

Tabla 34. Determinación del controlador de carga para el sector Curiquina

| Controlador de carga | |
|--|-------|
| Corriente en cortocircuito del panel en amperios | 8,93 |
| Total numero de paneles | 4 |
| Amperios total | 35,72 |
| Capacidad nominal del controlador | 8,26 |

4.8.1.4 Inversor

Para determinar la potencia del inversor se toma el valor de la carga instalada en AC considerando un factor de demanda de 0,7 que indica la potencia total que se utilizara al mismo tiempo, con una eficiencia de inversor de 94%.

Tabla 35. Determinación del inversor para el sector Curiquina

| Inversor | |
|-------------------------------|-------------|
| Carga instalada en AC | 1453 |
| Factor de demanda | 0,7 |
| Demanda | 2075,714286 |
| Eficiencia del inversor | 0,94 |
| Demanda de diseño | 2208,206687 |
| Capacidad nominal del inverso | 5750 |

4.8.1.5 Aerogeneradores

El número de aerogeneradores es de 4 con generación por día de 763 Wh/d

Tabla 36. Determinación del número de aerogeneradores para el sector Curiquina.

| NÚMERO DE AEROGENERADORES A UTILZAR | | |
|-------------------------------------|---------------|--------------------|
| # AEROGENERADORES | POTENCIA Wh/d | POTENCIA REQUERIDA |
| 3,046920052 | 763 | 2324,8 |

4.8.1.6 Arreglo de paneles solares en paralelo conectado al controlador de carga para el sector Curiquina

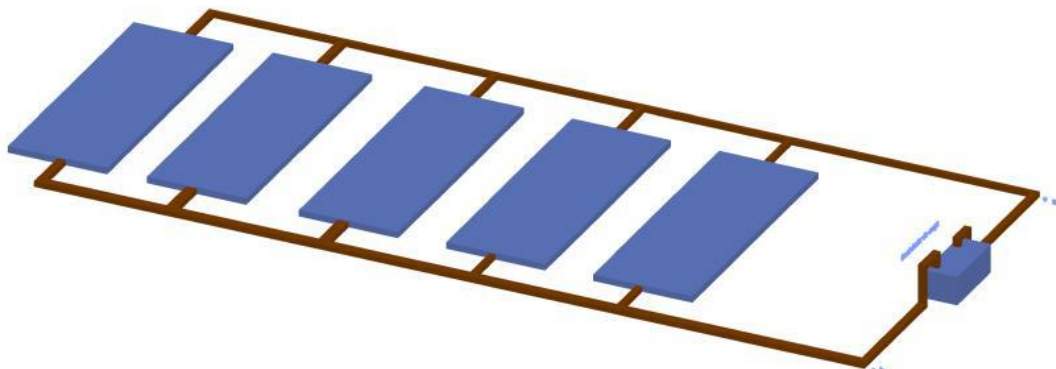


Figura 76.Arreglo en paralelo de paneles solares para el sector Curiquina
4.8.1.7 Arreglo de aerogeneradores en paralelo conectado al controlador de carga para el sector Curiquina

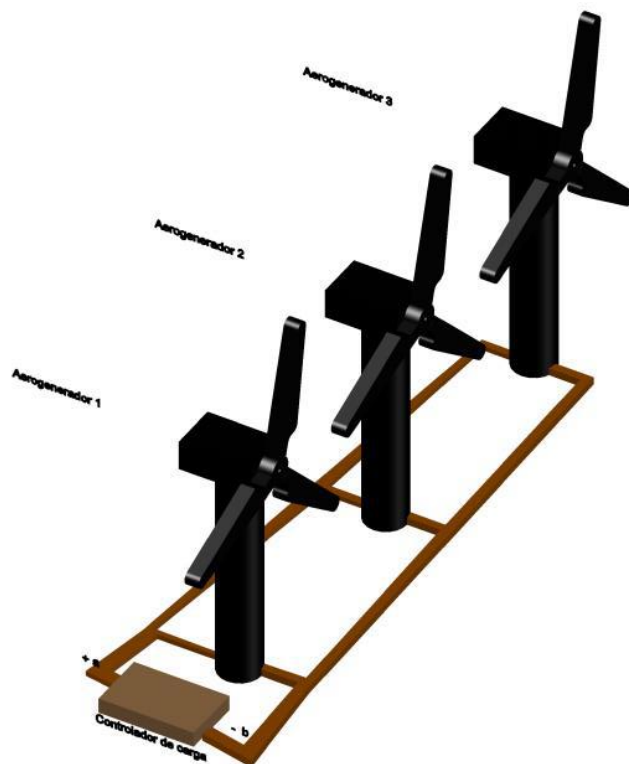


Figura 77.Arreglo en paralelo de los aerogeneradores para el sector Curiquina
4.8.1.8 Cables

El aprovechamiento máximo de la energía generada por el panel solar y el aerogenerador, la resistencia del conductor debe ser la mínima posible que se lo consigue utilizando un conductor del calibre apropiado que permita un caída de voltaje no mayor al 2% desde el panel, aerogenerador, baterías, tableros de carga, hasta el extremo del circuito de alumbrado. La capacidad de conducción en amperios para conductores de cobre y aluminio se muestra en la siguiente tabla.

Tabla 37.Capacidad en amperios de conductores al intemperie

| Capacidad maxima en conductores en amperios | | |
|---|-------|----------|
| Calibre | Cobre | Aluminio |
| 14 | 25 | |
| 12 | 30 | 25 |
| 10 | 40 | 35 |
| 8 | 55 | 45 |
| 6 | 75 | 60 |
| 4 | 95 | 75 |
| 2 | 130 | 100 |
| 1 | 150 | 115 |
| 1/0 | 170 | 135 |
| 2/0 | 265 | 150 |
| 4/0 | 360 | 205 |

4.8.1.9 Calculo de caída de tensión

La determinación de la potencia máxima se empleó para calcular el calibre de los conductores y la caída de tensión en los tableros de AC y DC, con una caída de tensión del 2%.

Tabla 38.Determinación de la caída de voltaje para el sector Curiquinga

| CALCULO DE CAÍDA VOLTAJE | | | | | | |
|--------------------------|---------|------------|-----------|-----------|-----------|-------------|
| POTENCIA | VOLTAJE | SECCION | CORRIENTE | CONDUCTOR | DISTANCIA | RESISTENCIA |
| 1453 | 120 | 72,0734127 | 12,108 | 2 | 400 | 0,099105299 |
| | | | | | | |
| | | | | | | |
| CAIDA TENSION (V) | | | | | | |
| 1,2 | | | | | | |

4.8.1.10 Costo

El costo de los equipos expuesto a continuación son valores estimados en el país el cual varían dependiendo el distribuidor, además no se incluido el valor agrado IVA.

Tabla 39.Costo de los equipos necesarios para implementación del sistema híbrido en el sector Curiquinga

| COTIZACIÓN DE EQUIPOS PARA LA IMPLEMENTACIÓN DE SISTEMA HÍBRIDO SECTOR CURIQUINGA | | | |
|---|-------|----------|-------|
| EQUIPO | COSTO | CANTIDAD | TOTAL |
| MÓDULO SOLAR | 330 | 5 | 1650 |
| AEROGENERADOR | 2000 | 4 | 8000 |
| BANCO DE BATERIAS | 400 | 7 | 2800 |
| CONTROLADOR DE CARGA | 750 | 1 | 750 |
| INVERSOR | 8000 | 1 | 8000 |
| OBRA CIVIL | 5000 | 1 | 5000 |
| OTROS | 3000 | 1 | 3000 |
| | | | |
| | | TOTAL | 29200 |

4.8.2 Análisis comparativo para el sector Loma Guamán

El análisis de carga que presenta el proyecto Loma Guamán expuesto anteriormente, determinando las condiciones de velocidad de viento y radiación solar que presenta la zona, y el tipo de luminaria a utilizarse; se determinó la demanda de energía que requiere cada zona, para el segundo caso se determinó una demanda de energía de 11.216 W/d

He tomado en cuenta la eficiencia del inversor del 85%, voltaje de baterías de 12V y el voltaje en AC de 120V.

Tabla 40.Características generales para la determinación del número de paneles solares y aerogeneradores para el sector Loma Guamán

| Demanda eléctrica | | |
|----------------------------------|-----|------------|
| demandad eléctrica amperios hora | | |
| Demandad ac total | w/d | 11216 |
| demandad ac 80% | w/d | 8972,8 |
| voltaje ac | V | 120 |
| amperios hora ac nominales | Ah | 74,7733333 |
| eficicencia inversor DC - AC % | | 85 |
| total amperios hora | Ah | 74,7733333 |
| total Ah carga | Ah | 74,7733333 |

4.8.2.1 Banco de baterías

Determine que el número de baterías para este sector es de 6 baterías de 150Ah cada una considerando la parte generación eólica.

Tabla 41.Determinación del número de baterías para el sector Loma Guamán

| banco de baterías | |
|---|-------------|
| Total Ah carga | 93,46666667 |
| Dias de autonomía (3 a 5) | 4 |
| Total Ah requeridos | 373,8666667 |
| Profundidad de descarga (0.2 a 0.8) (DoD) | 0,5 |
| Ah / DoD | 747,7333333 |
| Ah nominal de la bateria seleccionada | 150 |
| Numero de baterias | 4,98 |

4.8.2.2 Paneles fotovoltaicos

He tomado un panel de 300Wp a 45V y una radiación de 0,134414479 kWh el resultado de 4 paneles, para cambios de radiación solar se determinara el número de paneles respectivamente.

Tabla 42.Determinación del número de paneles solares para el sector Loma Guamán

| panel fotovoltaico | |
|--|-------------|
| Total Ah carga | 74,77333333 |
| Eficiencia de baterias | 0,85 |
| Amperios de efectivos de baterias | 87,97 |
| Promedio irradacion solar kWhm ² dia | 0,134414479 |
| Horas de sol a 1000 Wm ² dia | 5 |
| Total amperios del panel | 17,59372549 |
| Amperios pico del panel Imax | 8,26 |
| Numero de paneles | 2,129990979 |
| Voltaje de la bateria | 12 |
| Paneles por serie dependiendo del voltaje nominal: 12V=1 panel, 24V=2 paneles, 48V=paneles por serie | 1 |
| total numero de paneles | 3,13 |

4.8.2.3 Controlador de carga

La capacidad del controlador de carga es de 8,93 amperios nominales a 12V

Tabla 43.Determinación del controlador de carga para el sector Loma Guamán

| Controlador de carga | |
|--|-------|
| Corriente en cortocircuito del panel en amperios | 8,93 |
| Total número de paneles | 4 |
| Amperios total | 35,72 |
| Capacidad nominal del controlador | 8,26 |

4.8.2.4 Inversor

Para determinar la potencia del inversor se toma el valor de la carga instalada en AC considerando un factor de demanda de 0,7 que indica la potencia total que se utilizará al mismo tiempo, con una eficiencia de inversor de 94%, de igual manera que se realizó anteriormente.

Tabla 44.Determinación del inversor para el sector Loma Guamán

| Inversor | |
|-------------------------------|-------------|
| Carga instalada en AC | 1402 |
| Factor de demanda | 0,7 |
| Demanda | 2002,857143 |
| Eficiencia del inversor | 0,94 |
| Demanda de diseño | 2130,699088 |
| Capacidad nominal del inverso | 5750 |

4.8.2.5 Aerogeneradores

El número de aerogeneradores es de 4 con generación por día de 648,55 Wh/d

Tabla 45.Determinación del número de aerogeneradores para el sector Loma Guamán

| NÚMERO DE AEROGENERADORES A UTILZAR | | |
|-------------------------------------|---------------|--------------------|
| # AEROGENERADORES | POTENCIA Wh/d | POTENCIA REQUERIDA |
| 2,939973788 | 763 | 2243,2 |

4.8.2.6 Arreglo fotovoltaico de paneles solares en paralelo conectados al controlador de carga para el sector Loma Guamán

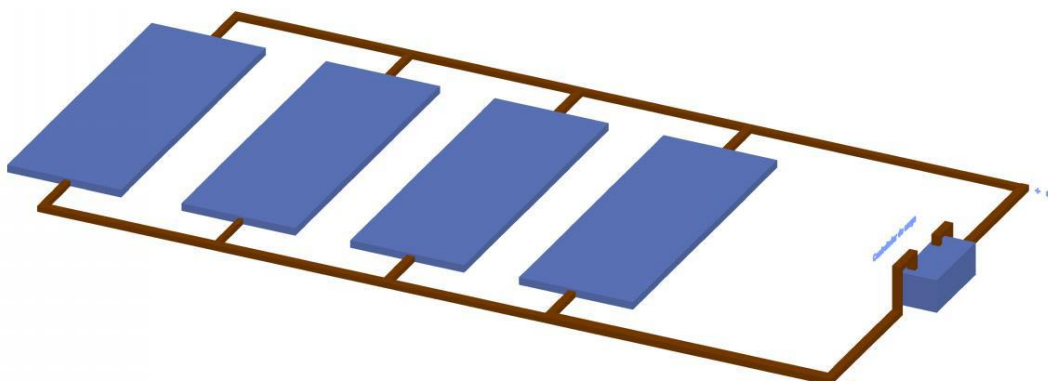


Figura 78.Arreglo en paralelo de paneles solares para el sector Loma Guamán

4.8.2.7 Arreglo de aerogeneradores en paralelo conectados al controlador de carga para el sector Loma Guamán

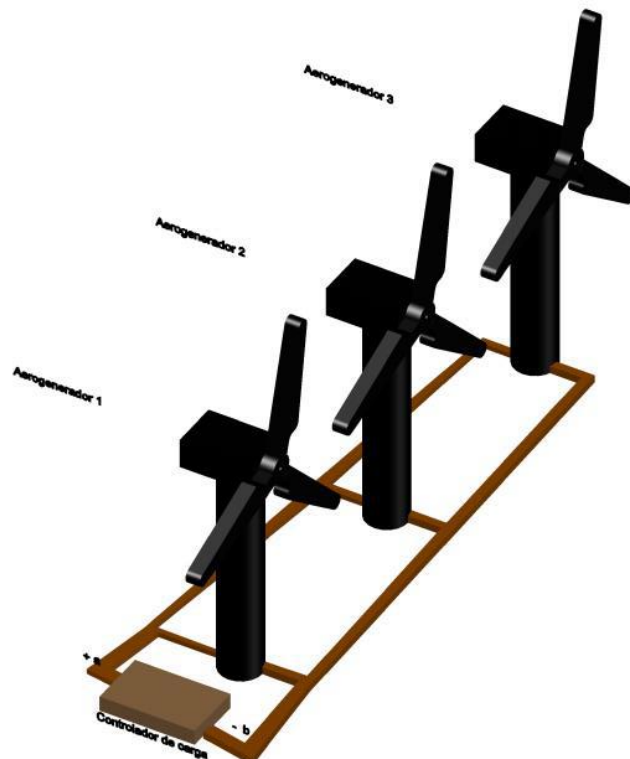


Figura 79. Arreglo en paralelo de los aerogeneradores para el sector Loma Guamán

4.8.2.8 Caída de voltaje

Tabla 46. Determinación de la caída de voltaje para el sector Loma Guamán

| CÁLCULO DE CAÍDA VOLTAJE | | | | | | |
|--------------------------|---------|------------|-----------|-----------|-----------|-------------|
| POTENCIA | VOLTAJE | SECCION | CORRIENTE | CONDUCTOR | DISTANCIA | RESISTENCIA |
| 1402 | 120 | 17,3859127 | 11,683 | 2 | 100 | 0,102710414 |
| CAIDA TENSION (V) | | | | | | |
| 1,2 | | | | | | |

4.8.2.9 Costo

Los valores para el sector Loma Guamán son similares, debido a que presenta una carga muy similar a la del sector Curiquinga, además se ha adicionado un panel solar más como reserva.

Tabla 47.Costo de los equipos necesarios para implementación del sistema híbrido en el sector Loma Guamán

| COTIZACIÓN DE EQUIPOS PARA LA IMPLEMENTACIÓN DE SISTEMA HÍBRIDO SECTOR LOMA GUAMÁN | | | |
|---|-------|----------|-------|
| EQUIPO | COSTO | CANTIDAD | TOTAL |
| MÓDULO SOLAR | 330 | 5 | 1650 |
| AEROGENERADOR | 2000 | 4 | 8000 |
| BANCO DE BATERIAS | 400 | 7 | 2800 |
| CONTROLADOR DE CARGA | 750 | 1 | 750 |
| INVERSOR | 8000 | 1 | 8000 |
| OBRA CIVIL | 4000 | 1 | 4000 |
| OTROS | 3000 | 1 | 3000 |
| | | TOTAL | 28200 |

CONCLUSIONES

El estudio del potencial eólico y solar realizado en la zona en estudio, es el primer paso para determinar la factibilidad del proyecto planteado. Mediante la determinación del potencial eólico de la información que se obtuvo en el trimestre en la estación meteorológica instalada, fueron: una velocidad de viento de 1,59 m/s a una altura de 8 metros para el sector Curiquinga y 1,35 m/s para el sector Loma Guamán, se alcanzó valores para generación desde las 09:00 hasta las 19:00 alcanzando en este lapso de tiempo velocidades máximas de 13,2 m/s.

Se determinó también en la información de la estación meteorológica, que las condiciones de potencial solar han presentado un máximo de variación para la zona desde las 06:00 hasta las 17:00, presentando una radiación mayor en el horario de 10:00 hasta 16:00, con un promedio trimestral de 112,95 W/m² y alcanzando máximas de 1160 W/m² de igual manera por el lapso de tres meses.

Debido a que las cargas son similares en los sectores analizados, la factibilidad del sistema Híbrido según las mediciones del potencial eólico y solar en la zona para generación de energía eléctrica por los dos sistemas es totalmente factible, ya que se cubre la demanda máxima proyectada; en el sector Curiquinga con 11624 KW/h y Loma Guamán con 11216 KW/h, esto es posible con cinco paneles solares y con cuatro aerogeneradores de características citadas anteriormente en el capítulo 3, para cada uno de los sectores,.

Según el estudio realizado, el costo actual de los equipos dificulta la implementación del sistema y no se alcanzaría utilidad favorable en corto y mediano plazo, debido a la elevada inversión en la adquisición e instalación de los equipos; inclusive se estima que el valor del mantenimiento preventivo sería muy alto.

El uso de equipos de medición con sistemas wifi facilita la recolección de datos y evita presencia constante de personal en la estación meteorológica para obtener la información requerida.

RECOMENDACIONES

Por lo anterior se recomienda la implementación de un sistema híbrido eólico solar para generación eléctrica en los sectores Curiquinga y Loma Guamán.

Para las comunidades que se encuentran en zona alejadas de la red eléctrica, analizando su potencial eólico y solar, se recomienda la instalación de fuentes de energía alternativa para la obtención de energía eléctrica.

La medición y recolección de datos de velocidad de viento y radiación solar son muy importantes para conocer el potencial eólico o solar que una zona presenta, y debe ser realizada de manera ininterrumpida, por lo menos un año, así se logrará tener resultados favorables para la implementación de proyectos de generación eléctrica con fuentes renovables.

Para obtener resultados con un menor margen de error, que permita obtener un resultado más eficaz, en las próximas investigaciones, se recomienda el uso de equipos y software más avanzados.

En este tipo de estudios, y en las zonas aledañas a mi investigación, se recomienda a los estudiosos, analicen los datos ya obtenidos del viento y radiación solar en mi trabajo; para conseguir un modelo más óptimo de las condiciones de velocidad de viento y radiación solar en el sector; y además analizar el comportamiento del viento a una mayor altura (mayor a 8 metros) de la que fue realizada en mi investigación.

REFERENCIAS BIBLIOGRÁFICAS

- GIL, A., REINOSO, O., MARIN, J. M., PAYA, L., & RUIZ, J. (2014). Development and Deployment of a New Robotics Toolbox for Education. 1-12.
- Anáhuac, U. d. (Abril de 2010). *Anáhuac*. Obtenido de
<http://ingenieria.anahuac.mx/boletin/boletin.201004.html>
- Aragon-España, G. (25 de Octubre de 2016). *DEMO E-DUCATIVA CATEDU*. Obtenido de
http://e-ducativa.catedu.es/44700165/aula/archivos/repositorio/2500/2556/html/5_circulacion_general_de_la_atmosfera.html
- Arce Rubio, A., & Vianna Raffo, G. (Marzo de 2009). Manual de simulink para la asignatura de teoria de sistemas. Sevilla, Sevilla, España.
- Archila Diaz, J. F., Bautista Rojas, L. E., & Villamizar Morales, J. (2011). Transformaciones lineales de dimensión finita, aplicadas al desarrollo del modelo cinemático directo para el robot KUKA KR 60 JET en cursos de álgebra lineal y dibujo de máquinas. 2-7.
- Arconel. (s.f.). Obtenido de <http://www.regulacionelectrica.gob.ec/>
- ARCONEL. (23 de Marzo de 2016). *Agencia de Regulación y Control de Energía*. Obtenido de
<http://www.regulacionelectrica.gob.ec/ecuador-posee-un-5155-de-energia-renovable/>
- Barragan Guerrero, D. O. (2008). MANUAL DE INTERFAZ GRAFICA DE USUARIO EN MATLAB. 1, 3-4.
- Carta González , J. A., Calero Pérez, R., Colmenar Santos, A., Castro Gil, M. A., & Collado Fernández, E. (2013). *Centrales de Energías Renovables Generación Eléctrica con Energías Renovables segunda edición* . Madrid: Pearson Educación .
- Cata Sanchez , J. E., & Rodriguez Sócola, F. M. (2015). Análisis matemático de un panel solar fotovoltaico de silicio.
- CEMAER. (2017). *Blog de cemaer*. Recuperado el 8 de 10 de 2017, de
<http://www.gstriatum.com/energiasolar/blog/2015/01/08/energia-eolica-tipos-de-turbinas-de-viento/>
- CENACE. (2015). *Informe Anual*. Quito.
- Dominguez, F. M. (2008). *Instalaciones eléctricas de alumbrado e industrias* . Madrid-España.
- Ecuador, C. E. (2015). *CELEC EP*. Obtenido de
<https://www.celec.gob.ec/gensur/index.php/contacto/direccion/2-uncategorised/47-que-es-la-energia-eolica>

- Enríquez Harper, G. (2014). *El ABC de las Energías renovables en los sistemas eléctricos*. México: Limusa .
- Harper, E. (2006). *fundamentos de instalaciones electricas*. Mexico: Limusa.
- Harper, G. E. (2009). *Tecnologías de Generación de Energía Eléctrica*. México: Limusa .
- INER. (s.f.). Obtenido de INER: <http://www.iner.gob.ec/energias-renovables/>
- Instituto Nacional de Eficiencia Energetica y Energias Renovables*. (s.f.). Obtenido de <http://www.iner.gob.ec/>
- José María de Juana, F. S. (2008). *Energias renovables para el desarrollo* . Madrid. España: Paraninfo.
- Marques, A. L. (2009). *Instalaciones electricas de baja tension comerciales e industriales* . España: Ma Jose Lopez Raso.
- Medrano Tantaruna, R., & Chávez Luna, M. (2008). Modelo de enseñanza de robótica en instituciones de educación superior. 1-7.
- MEER. (2016). *Ministerio de Electricidad y Energia Renovable*. Obtenido de <http://www.energia.gob.ec/biblioteca/>
- Miller, I. P. (27 de Noviembre de 2008). *Revista Cuenca Ilustre-Ecuador*. Obtenido de <https://patomiller.wordpress.com/category/plano-turistico-de-cuenca/>
- NASA. (2017). *NASA*. Obtenido de https://eosweb.larc.nasa.gov/cgi-bin/sse/grid.cgi?&num=102087&lat=3.034&submit=Enviar&hgt=10&veg=11&siterev=&email=skip@larc.nasa.gov&p=grid_id&p=swvdwncook&p=swv_dwn&p=daylight&p=ret_psh0&p=mnavail1&p=cldamt0_0&p=T10M&p=wspd50m&p=vege_wnd&p=RAIN&step=2&
- Natura, F. M. (2003). *Energías Renovables: Conceptos y Aplicaciones* . Quito: La Union .
- Orjuela, J. C. (2008). Seguridad Electrica . *seguridad electrica*, 21-85.
- Preisz, E. N., Weisz, R. M., Bauer, J., & Gentiletti, G. G. (2009). Educación en robótica: modelos cinemáticos del scorbot er-ix. 1-12.
- Proviento. (2017). *Proviento S:A*. Obtenido de [http://www.proviento.com.ec/SP672-\(280-310W\).pdf](http://www.proviento.com.ec/SP672-(280-310W).pdf)
- Proviento S.A. (2015). *PROVIENTO*. Obtenido de PROVIENTO: http://www.proviento.com.ec/PS-MPPT_Manual.pdf
- Proviento S.A. (2015). *PROVIENTO*. Obtenido de PROVIENTO: <http://www.proviento.com.ec/UCG150-12.pdf>
- Proviento S.A. (2016). *PROVIENTO* . Obtenido de http://www.proviento.com.ec/SUNNYIS4548_6048US.pdf

Quingeo, G. (2014). *Gobierno Autónomo Descentralizado Parroquial Rural de Quingeo*. Obtenido de <http://parroquiaquingeo.gob.ec/azuay/>

RENOVABLE, M. D. (2015). PROYECTOS DE ENERGÍA RENOVABLE DESCENTRALIZADOS.

RENOVABLE, M. D. (2015). PROYECTOS DE ENERGIA RENOVABLE EN EL ECUADOR .

S.A, P. (2016). *Proviento*. Recuperado el 23 de 6 de 2017, de <http://www.proviento.com.ec/ZH15Manual.pdf>

Sami, S., & Icaza, D. (2015). Modeling and Simulation of Hybrid Solar Photovoltaic, Wind turbine and Hydraulic Power System. *International Journal of Engineering Science and Technology*, 7(9), 304.

Sami, S., & Icaza, D. (2015). Numerical Modeling, Simulation Validation of Hybrid Solar Photovoltaic, Wind turbine and Fuel Cell Power System. *Journal of Technology Innovations in Renewable Energy*, 4(3), 96-112.

Schneider Electric España, S. (2008). Guía de diseño de instalaciones electricas. *Guía de diseño de instalaciones electricas*.

SCIENTIA. (29 de Julio de 2016). *SCIENTIA*. Obtenido de <https://scientiablog.com/2016/07/29/la-lucha-contra-la-radiacion-solar/>

Velasco, J. G. (2009). *energias renovables* . Barcelona : ISBD.

Vilora, J. R. (2012). *ENERGIAS RENOVABLES*. España: Paraninfo, S.A.

Weather, A. (2017). *Ambient Weather*. Obtenido de <http://www.ambientweather.com/amws1000wifi.html>

ANEXOS

Anexos A: Instalación de la estación meteorológica

Imagen 1



Imagen 2



Imagen 3



Imagen 4



Imagen 5



Imagen 6



Imagen 7



Imagen 8



Imagen 9



Anexos B: Datos de meteorológicos

Datos obtenidos de radiación del mes de Abril para la zona Arqueológica Curiquina

Tabla 48. Datos radiación solar respecto Hora-Día del mes de Abril

| HORA | 5 | 6 | 7 | 8 | 9 | 10 | 11 | 12 | 13 | 14 | 15 | 16 | 17 | 18 | 19 | 20 | 21 | 22 | 23 | 24 | 25 | 26 | 27 | 28 | 29 | 30 |
|-------|-------|--------|-------|-------|--------|-------|-------|-------|--------|-------|--------|--------|--------|-------|-------|-------|-------|-------|-------|-------|-------|-------|-------|-------|-------|-------|
| 0:00 | 0 | 0 | 0 | 0 | 0 | 0 | 0 | 0 | 0 | 0 | 0 | 0 | 0 | 0 | 0 | 0 | 0 | 0 | 0 | 0 | 0 | 0 | 0 | 0 | 0 | 0 |
| 1:00 | 0 | 0 | 0 | 0 | 0 | 0 | 0 | 0 | 0 | 0 | 0 | 0 | 0 | 0 | 0 | 0 | 0 | 0 | 0 | 0 | 0 | 0 | 0 | 0 | 0 | 0 |
| 2:00 | 0 | 0 | 0 | 0 | 0 | 0 | 0 | 0 | 0 | 0 | 0 | 0 | 0 | 0 | 0 | 0 | 0 | 0 | 0 | 0 | 0 | 0 | 0 | 0 | 0 | 0 |
| 3:00 | 0 | 0 | 0 | 0 | 0 | 0 | 0 | 0 | 0 | 0 | 0 | 0 | 0 | 0 | 0 | 0 | 0 | 0 | 0 | 0 | 0 | 0 | 0 | 0 | 0 | 0 |
| 4:00 | 0 | 0 | 0 | 0 | 0 | 0 | 0 | 0 | 0 | 0 | 0 | 0 | 0 | 0 | 0 | 0 | 0 | 0 | 0 | 0 | 0 | 0 | 0 | 0 | 0 | 0 |
| 5:00 | 0 | 0 | 0 | 0 | 0 | 0 | 0 | 0 | 0 | 0 | 0 | 0 | 0 | 0 | 0 | 0 | 0 | 0 | 0 | 0 | 0 | 0 | 0 | 0 | 0 | 0 |
| 6:00 | 20,47 | 20,83 | 19,96 | 23,09 | 9,07 | 20,47 | 19,96 | 3,07 | 11,65 | 17,53 | 21,44 | 19,37 | 16,36 | 16,36 | 20,99 | 8,85 | 19,37 | 16,36 | 20,99 | 16,36 | 17,36 | 17,53 | 21,44 | 19,37 | 16,36 | 19,37 |
| 7:00 | 136,3 | 140,5 | 126,4 | 140,4 | 88,7 | 136,3 | 224,5 | 48,63 | 108 | 107,5 | 106,5 | 19,4 | 109 | 108 | 197,1 | 41,7 | 107,6 | 19,37 | 19,4 | 108 | 109 | 107,5 | 106,5 | 107,6 | 19,37 | 19,4 |
| 8:00 | 222,5 | 195,6 | 193,7 | 150,6 | 145,9 | 222,5 | 141,7 | 98,67 | 211,1 | 223,6 | 239,5 | 190,9 | 98,67 | 190,9 | 94,97 | 108,7 | 167,2 | 41,7 | 20,99 | 190,9 | 190,9 | 223,6 | 239,5 | 167,2 | 41,7 | 20,99 |
| 9:00 | 174,6 | 306,1 | 126 | 197,4 | 210,1 | 174,6 | 247,7 | 380,5 | 197,7 | 767,7 | 307,1 | 275,5 | 108,00 | 275,5 | 380,5 | 331,4 | 495,6 | 108 | 197,1 | 275,5 | 275,5 | 767,7 | 307,1 | 495,6 | 108 | 197,1 |
| 10:00 | 362 | 212,00 | 342,3 | 276,5 | 301,1 | 362 | 172,7 | 163,9 | 269,9 | 306,3 | 590,6 | 306,3 | 396,1 | 269,3 | 163,9 | 378,5 | 166,4 | 190,9 | 94,97 | 269,3 | 269,3 | 306,3 | 590,6 | 166,4 | 190,9 | 269,3 |
| 11:00 | 270,6 | 135,2 | 560,3 | 345,5 | 237,00 | 270,6 | 397,7 | 165,5 | 472,00 | 248,5 | 559,00 | 248,5 | 396,9 | 444,1 | 423,8 | 457,9 | 274,6 | 275,5 | 457,9 | 444,1 | 444,1 | 248,5 | 559 | 274,6 | 275,5 | 94,97 |
| 12:00 | 831 | 113,3 | 579,9 | 409 | 205,5 | 831 | 322,3 | 239,7 | 730,3 | 527,8 | 688,5 | 102,4 | 715,9 | 353 | 199,7 | 102,4 | 340 | 269,3 | 102,4 | 353 | 353 | 527,8 | 688,5 | 340 | 269,3 | 457,9 |
| 13:00 | 231,8 | 862,5 | 685,3 | 256,8 | 191,9 | 231,8 | 380,3 | 885,8 | 503 | 486,2 | 456,1 | 100,70 | 291,2 | 397,2 | 437,2 | 231,2 | 239,3 | 444,1 | 231,2 | 397,2 | 486,2 | 456,1 | 239,3 | 444,1 | 102,4 | |
| 14:00 | 166,1 | 160,2 | 289,7 | 131,4 | 56,88 | 166,1 | 192,1 | 222,9 | 408,2 | 817 | 222,6 | 480,1 | 307,8 | 198,7 | 80,41 | 228,8 | 222,6 | 353 | 228,8 | 198,7 | 198,7 | 817 | 222,6 | 307,8 | 353 | 231,2 |
| 15:00 | 266,7 | 399,8 | 276,9 | 60,6 | 139,9 | 157,5 | 83,48 | 354,6 | 233,1 | 296,5 | 158,4 | 265,6 | 242,9 | 167,9 | 223,2 | 155,7 | 158,4 | 397,2 | 155,7 | 167,9 | 167,9 | 296,5 | 158,4 | 242,9 | 397,2 | 228,8 |
| 16:00 | 178,3 | 148 | 105,8 | 181,5 | 45,97 | 89,91 | 45,94 | 139,2 | 124,8 | 165,1 | 177,6 | 171,5 | 593,3 | 139,2 | 451,6 | 97,93 | 307,8 | 198,7 | 97,93 | 139,2 | 139,2 | 165,1 | 177,6 | 166,4 | 198,7 | 155,7 |
| 17:00 | 34,52 | 63,12 | 28,66 | 288,9 | 26,49 | 7,0 | 27,62 | 43,03 | 49,27 | 69,98 | 334,4 | 51,28 | 316,8 | 86,63 | 409,4 | 12,19 | 242,9 | 167,9 | 12,19 | 86,63 | 85,63 | 69,98 | 334,4 | 274,6 | 167,9 | 97,93 |
| 18:00 | 0 | 0 | 0 | 0 | 0 | 0 | 0 | 0 | 0 | 0 | 0 | 0 | 0 | 0 | 0 | 0 | 0 | 0 | 0 | 0 | 0 | 0 | 0 | 0 | 0 | |
| 19:00 | 0 | 0 | 0 | 0 | 0 | 0 | 0 | 0 | 0 | 0 | 0 | 0 | 0 | 0 | 0 | 0 | 0 | 0 | 0 | 0 | 0 | 0 | 0 | 0 | 0 | |
| 20:00 | 0 | 0 | 0 | 0 | 0 | 0 | 0 | 0 | 0 | 0 | 0 | 0 | 0 | 0 | 0 | 0 | 0 | 0 | 0 | 0 | 0 | 0 | 0 | 0 | 0 | |
| 21:00 | 0 | 0 | 0 | 0 | 0 | 0 | 0 | 0 | 0 | 0 | 0 | 0 | 0 | 0 | 0 | 0 | 0 | 0 | 0 | 0 | 0 | 0 | 0 | 0 | 0 | |
| 22:00 | 0 | 0 | 0 | 0 | 0 | 0 | 0 | 0 | 0 | 0 | 0 | 0 | 0 | 0 | 0 | 0 | 0 | 0 | 0 | 0 | 0 | 0 | 0 | 0 | 0 | |
| 23:00 | 0 | 0 | 0 | 0 | 0 | 0 | 0 | 0 | 0 | 0 | 0 | 0 | 0 | 0 | 0 | 0 | 0 | 0 | 0 | 0 | 0 | 0 | 0 | 0 | 0 | |

Datos obtenidos de radiación del mes de Mayo para la zona Arqueológica Curiquina

Tabla 49. Datos radiación solar respecto Hora-Día del mes de Mayo

| HORA | 1 | 2 | 3 | 4 | 5 | 6 | 7 | 8 | 9 | 10 | 11 | 12 | 13 | 14 | 15 | 16 | 17 | 18 | 19 | 20 | 21 | 22 | 23 | 24 | 25 | 26 | 27 | 28 | 29 | 30 | 31 |
|-------|-------|-------|-------|-------|-------|-------|-------|-------|-------|-------|-------|-------|-------|-------|-------|-------|-------|-------|-------|-------|-------|-------|-------|-------|-------|-------|-------|-------|-------|-------|-------|
| 0:00 | 0 | 0 | 0 | 0 | 0 | 0 | 0 | 0 | 0 | 0 | 0 | 0 | 0 | 0 | 0 | 0 | 0 | 0 | 0 | 0 | 0 | 0 | 0 | 0 | 0 | 0 | 0 | 0 | 0 | 0 | |
| 1:00 | 0 | 0 | 0 | 0 | 0 | 0 | 0 | 0 | 0 | 0 | 0 | 0 | 0 | 0 | 0 | 0 | 0 | 0 | 0 | 0 | 0 | 0 | 0 | 0 | 0 | 0 | 0 | 0 | 0 | 0 | |
| 2:00 | 0 | 0 | 0 | 0 | 0 | 0 | 0 | 0 | 0 | 0 | 0 | 0 | 0 | 0 | 0 | 0 | 0 | 0 | 0 | 0 | 0 | 0 | 0 | 0 | 0 | 0 | 0 | 0 | 0 | 0 | |
| 3:00 | 0 | 0 | 0 | 0 | 0 | 0 | 0 | 0 | 0 | 0 | 0 | 0 | 0 | 0 | 0 | 0 | 0 | 0 | 0 | 0 | 0 | 0 | 0 | 0 | 0 | 0 | 0 | 0 | 0 | 0 | |
| 4:00 | 0 | 0 | 0 | 0 | 0 | 0 | 0 | 0 | 0 | 0 | 0 | 0 | 0 | 0 | 0 | 0 | 0 | 0 | 0 | 0 | 0 | 0 | 0 | 0 | 0 | 0 | 0 | 0 | 0 | 0 | |
| 5:00 | 0 | 0 | 0 | 0 | 0 | 0 | 0 | 0 | 0 | 0 | 0 | 0 | 0 | 0 | 0 | 0 | 0 | 0 | 0 | 0 | 0 | 0 | 0 | 0 | 0 | 0 | 0 | 0 | 0 | 0 | |
| 6:00 | 20,47 | 20,83 | 19,96 | 23,09 | 9,07 | 20,47 | 19,96 | 3,07 | 11,65 | 17,53 | 21,44 | 19,37 | 16,36 | 16,36 | 20,99 | 8,85 | 19,37 | 16,36 | 20,99 | 16,36 | 17,36 | 17,53 | 21,44 | 19,37 | 16,36 | 19,37 | 16,36 | 17,36 | 17,53 | 21,44 | 19,37 |
| 7:00 | 16,36 | 17,36 | 17,53 | 21 | 108 | 197,1 | 41,7 | 107,6 | 136,3 | 19,5 | 106,5 | 108 | 109 | 41,7 | 109 | 107,5 | 21,44 | 108 | 197,1 | 41,7 | 107,6 | 41,7 | 19,4 | 108 | 17,36 | 107,6 | 19,4 | 108 | 109 | 107,5 | 106,5 |
| 8:00 | 108 | 109 | 107,5 | 106,5 | 190,9 | 94,97 | 108,7 | 167,2 | 222,5 | 224,5 | 239,5 | 190,9 | 190,9 | 108,7 | 17,36 | 223,6 | 106,5 | 190,9 | 94,97 | 108,7 | 167,2 | 108,7 | 20,99 | 190,9 | 109 | 20,99 | 20,99 | 190,9 | 190,9 | 223,6 | 239,5 |
| 9:00 | 190,9 | 190,9 | 223,6 | 239,5 | 275,5 | 160,6 | 331,4 | 495,6 | 174,6 | 141,7 | 307,1 | 275,5 | 275,5 | 331,4 | 109 | 767,7 | 239,5 | 275,5 | 160,6 | 331,4 | 495,6 | 331,4 | 197,1 | 275,5 | 190,9 | 108 | 197,1 | 275,5 | 275,5 | 767,7 | 307,1 |
| 10:00 | 275,5 | 275,5 | 767,7 | 307,1 | 269,3 | 170,5 | 378,5 | 166,4 | 362 | 247,7 | 590,6 | 269,3 | 269,3 | 378,5 | 190,9 | 306,3 | 307,1 | 269,3 | 170,5 | 378,5 | 166,4 | 378,5 | 94,97 | 269,3 | 275,5 | 190,9 | 94,97 | 269,3 | 269,3 | 306,3 | 590,6 |
| 11:00 | 269,3 | 269,3 | 306,3 | 590,6 | 444,1 | 423,8 | 457,9 | 274,6 | 270,6 | 172,7 | 559 | 444,1 | 444,1 | 457,9 | 275,5 | 248,5 | 590,6 | 444,1 | 423,8 | 457,9 | 274,6 | 457,9 | 457,9 | 444,1 | 269,3 | 275,5 | 457,9 | 444,1 | 444,1 | 248,5 | 559 |
| 12:00 | 444,1 | 444,1 | 248,5 | 559 | 353 | 199,7 | 102,4 | 340 | 248,5 | 397,7 | 688,5 | 353 | 353 | 102,4 | 269,3 | 527,8 | 559 | 353 | 199,7 | 102,4 | 340 | 102,4 | 102,4 | 353 | 444,1 | 269,3 | 102,4 | 353 | 353 | 527,8 | 688,5 |
| 13:00 | 353 | 353 | 527,8 | 688,5 | 397,2 | 437,2 | 231,2 | 239,3 | 486,2 | 322,3 | 456,1 | 397,2 | 397,2 | 231,2 | 444,1 | 486,2 | 688,5 | 397,2 | 437,2 | 231,2 | 239,3 | 231,2 | 231,2 | 397,2 | 353 | 444,1 | 231,2 | 397,2 | 397,2 | 486,2 | 456,1 |
| 14:00 | 397,2 | 397,2 | 486,2 | 456,1 | 198,7 | 80,41 | 228,8 | 307,8 | 831 | 380,3 | 222,6 | 198,7 | 198,7 | 397,2 | 353 | 817 | 456,1 | 198,7 | 80,41 | 228,8 | 307,8 | 228,8 | 222,6 | 397,2 | 353 | 228,8 | 198,7 | 198,7 | 817 | 222,6 | |
| 15:00 | 198,7 | 198,7 | 817 | 222,6 | 167,9 | 223,2 | 155,7 | 242,9 | 231,8 | 192,1 | 158,4 | 167,9 | 167,9 | 198,7 | 397,2 | 296,5 | 222,6 | 167,9 | 223,2 | 155,7 | 242,9 | 155,7 | 155,7 | 198,7 | 198,7 | 397,2 | 155,7 | 167,9 | 167,9 | 296,5 | 158,4 |
| 16:00 | 167,9 | 167,9 | 296,5 | 158,4 | 139,2 | 451,6 | 97,93 | 178,3 | 166,1 | 83,48 | 177,6 | 139,2 | 139,2 | 167,9 | 198,7 | 165,1 | 158,4 | 139,2 | 451,6 | 97,93 | 451,6 | 97,93 | 97,93 | 167,9 | 167,9 | 198,7 | 97,93 | 139,2 | 139,2 | 165,1 | 177,6 |
| 17:00 | 139,2 | 139,2 | 165,1 | 177,6 | 86,63 | 409,4 | 12,19 | 34,52 | 157,5 | 45,94 | 334,4 | 86,63 | 85,63 | 139,2 | 167,9 | 69,98 | 177,6 | 86,63 | 409,4 | 12,19 | 409,4 | 12,19 | 12,19 | 139,2 | 139,2 | 167,9 | 12,19 | 86,63 | 85,63 | 69,98 | 160,5 |
| 18:00 | 0 | 0 | 0 | 0 | 0 | 0 | 0 | 0 | 0 | 0 | 0 | 0 | 0 | 0 | 0 | 0 | 0 | 0 | 0 | 0 | 0 | 0 | 0 | 0 | 0 | 0 | 0 | 0 | 0 | 0 | |
| 19:00 | 0 | 0 | 0 | 0 | 0 | 0 | 0 | 0 | 0 | 0 | 0 | 0 | 0 | 0 | 0 | 0 | 0 | 0 | 0 | 0 | 0 | 0 | 0 | 0 | 0 | 0 | 0 | 0 | 0 | 0 | |
| 20:00 | 0 | 0 | 0 | 0 | 0 | 0 | 0 | 0 | 0 | 0 | 0 | 0 | 0 | 0 | 0 | 0 | 0 | 0 | 0 | 0 | 0 | 0 | 0 | 0 | 0 | 0 | 0 | 0 | 0 | 0 | |
| 21:00 | 0 | 0 | 0 | 0 | 0 | 0 | 0 | 0 | 0 | 0 | 0 | 0 | 0 | 0 | 0 | 0 | 0 | 0 | 0 | 0 | 0 | 0 | 0 | 0 | 0 | 0 | 0 | 0 | 0 | 0 | |
| 22:00 | 0 | 0 | 0 | 0 | 0 | 0 | 0 | 0 | 0 | 0 | 0 | 0 | 0 | 0 | 0 | 0 | 0 | 0 | 0 | 0 | 0 | 0 | 0 | 0 | 0 | 0 | 0 | 0 | 0 | 0 | |
| 23:00 | 0 | 0 | 0 | 0 | 0 | 0 | 0 | 0 | 0 | 0 | 0 | 0 | 0 | 0 | 0 | 0 | 0 | 0 | 0 | 0 | 0 | 0 | 0 | 0 | 0 | 0 | 0 | 0 | 0 | 0 | |

Datos obtenidos de radiación del mes de Junio para la zona Arqueológica Curiquinga

Tabla 50. Datos radiación solar respecto Hora-Día del mes de Junio

| HORA | 1 | 2 | 3 | 4 | 5 | 6 | 7 | 8 | 9 | 10 | 11 | 12 | 13 | 14 | 15 | 16 | 17 | 18 | 19 | 20 | 21 | 22 | 23 | 24 | 25 | 26 | 27 | 28 | 29 | 30 |
|--------------|-------|-------|-------|-------|-------|-------|-------|-------|-------|-------|-------|-------|-------|-------|-------|-------|-------|-------|-------|-------|-------|-------|-------|-------|-------|-------|-------|-------|-------|-------|
| 0:00 | 0 | 0 | 0 | 0 | 0 | 0 | 0 | 0 | 0 | 0 | 0 | 0 | 0 | 0 | 0 | 0 | 0 | 0 | 0 | 0 | 0 | 0 | 0 | 0 | 0 | 0 | 0 | 0 | 0 | 0 |
| 1:00 | 0 | 0 | 0 | 0 | 0 | 0 | 0 | 0 | 0 | 0 | 0 | 0 | 0 | 0 | 0 | 0 | 0 | 0 | 0 | 0 | 0 | 0 | 0 | 0 | 0 | 0 | 0 | 0 | 0 | 0 |
| 2:00 | 0 | 0 | 0 | 0 | 0 | 0 | 0 | 0 | 0 | 0 | 0 | 0 | 0 | 0 | 0 | 0 | 0 | 0 | 0 | 0 | 0 | 0 | 0 | 0 | 0 | 0 | 0 | 0 | 0 | 0 |
| 3:00 | 0 | 0 | 0 | 0 | 0 | 0 | 0 | 0 | 0 | 0 | 0 | 0 | 0 | 0 | 0 | 0 | 0 | 0 | 0 | 0 | 0 | 0 | 0 | 0 | 0 | 0 | 0 | 0 | 0 | 0 |
| 4:00 | 0 | 0 | 0 | 0 | 0 | 0 | 0 | 0 | 0 | 0 | 0 | 0 | 0 | 0 | 0 | 0 | 0 | 0 | 0 | 0 | 0 | 0 | 0 | 0 | 0 | 0 | 0 | 0 | 0 | 0 |
| 5:00 | 0 | 0 | 0 | 0 | 0 | 0 | 0 | 0 | 0 | 0 | 0 | 0 | 0 | 0 | 0 | 0 | 0 | 0 | 0 | 0 | 0 | 0 | 0 | 0 | 0 | 0 | 0 | 0 | 0 | 0 |
| 6:00 | 20,83 | 20,47 | 24,5 | 16,36 | 15,4 | 16,45 | 20,99 | 8,85 | 19,37 | 17,53 | 21,44 | 16,7 | 20,8 | 23,5 | 12,4 | 14,9 | 12,8 | 12,7 | 15,7 | 25,8 | 15,6 | 20,6 | 25,7 | 24,7 | 23,8 | 12,7 | 15,8 | 8,6 | 12,9 | 12,3 |
| 7:00 | 140,5 | 136,3 | 141,7 | 19,37 | 17,36 | 108 | 197,1 | 41,7 | 107,6 | 107,5 | 106,5 | 17,5 | 80,6 | 15,4 | 12,5 | 15,2 | 15,2 | 15,8 | 21,44 | 88,7 | 136,3 | 141,7 | 189,5 | 188,7 | 125,6 | 116,4 | 121 | 112,2 | 116,4 | 15,8 |
| 8:00 | 195,6 | 222,5 | 247,7 | 41,7 | 109 | 190,9 | 94,97 | 108,7 | 167,2 | 223,6 | 239,5 | 19,37 | 83,5 | 15,8 | 16,36 | 15,6 | 15,6 | 16,4 | 106,5 | 145,9 | 222,5 | 247,7 | 140,4 | 145,9 | 106,5 | 108 | 197,1 | 167,2 | 19,37 | 19,4 |
| 9:00 | 306,1 | 174,6 | 172,7 | 108 | 190,9 | 275,5 | 160,6 | 331,4 | 495,6 | 767,7 | 307,1 | 107,6 | 90,5 | 19,4 | 108 | 17,36 | 17,53 | 21,44 | 239,5 | 210,1 | 174,6 | 172,7 | 150,6 | 210,1 | 239,5 | 190,9 | 94,97 | 166,4 | 41,7 | 121 |
| 10:00 | 212 | 362 | 397,7 | 190,9 | 275,5 | 269,3 | 170,5 | 378,5 | 166,4 | 306,3 | 590,6 | 167,2 | 100,3 | 20,99 | 190,9 | 109 | 107,5 | 106,5 | 307,1 | 301,1 | 362 | 397,7 | 197,4 | 301,1 | 307,1 | 275,5 | 102,4 | 274,6 | 108 | 197,1 |
| 11:00 | 135,2 | 270,6 | 322,3 | 275,5 | 269,3 | 444,1 | 423,8 | 457,9 | 274,6 | 248,5 | 559 | 495,6 | 108 | 197,1 | 275,5 | 190,9 | 223,6 | 239,5 | 590,6 | 237 | 270,6 | 322,3 | 276,5 | 237 | 590,6 | 269,3 | 231,2 | 340 | 190,9 | 94,97 |
| 12:00 | 113,3 | 831 | 380,3 | 269,3 | 444,1 | 353 | 199,7 | 102,4 | 340 | 527,8 | 688,5 | 166,4 | 190,9 | 94,97 | 269,3 | 275,5 | 767,7 | 307,1 | 559 | 205,5 | 831 | 380,3 | 345,5 | 205,5 | 559 | 444,1 | 228,8 | 239,3 | 275,5 | 457,9 |
| 13:00 | 862,5 | 231,8 | 192,1 | 444,1 | 353 | 397,2 | 437,2 | 231,2 | 239,3 | 486,2 | 456,1 | 274,6 | 275,5 | 457,9 | 444,1 | 269,3 | 306,3 | 590,6 | 688,5 | 191,9 | 231,8 | 192,1 | 409 | 191,9 | 688,5 | 353 | 155,7 | 307,8 | 269,3 | 102,4 |
| 14:00 | 160,2 | 166,1 | 83,48 | 353 | 397,2 | 198,7 | 80,41 | 228,8 | 307,8 | 817 | 222,6 | 340 | 269,3 | 102,4 | 353 | 444,1 | 248,5 | 559 | 456,1 | 56,88 | 166,1 | 817,5 | 256,8 | 56,88 | 456,1 | 397,2 | 97,93 | 242,9 | 444,1 | 231,2 |
| 15:00 | 399,8 | 157,5 | 45,94 | 397,2 | 198,7 | 167,9 | 223,2 | 155,7 | 242,9 | 296,5 | 158,4 | 239,3 | 444,1 | 231,2 | 397,2 | 353 | 527,8 | 688,5 | 222,6 | 139,9 | 157,5 | 145,9 | 131,4 | 139,9 | 222,6 | 198,7 | 120,2 | 198,7 | 353 | 228,8 |
| 16:00 | 148 | 90 | 27,62 | 198,7 | 167,9 | 139,2 | 451,6 | 97,93 | 139,2 | 165,1 | 150,6 | 307,8 | 353 | 228,8 | 198,7 | 397,2 | 486,2 | 456,1 | 158,4 | 146 | 98,99 | 127,6 | 60,6 | 146 | 158,4 | 167,9 | 120,5 | 167,9 | 197,2 | 155,7 |
| 17:00 | 20,65 | 70 | 12,4 | 25,8 | 22,5 | 86,63 | 25,3 | 12,19 | 85,63 | 69,98 | 26,7 | 15,7 | 25,8 | 35,8 | 45,7 | 46,7 | 26,5 | 26,4 | 16,8 | 26,49 | 70 | 15,7 | 18,9 | 26,49 | 12,5 | 12,6 | 20,6 | 25,6 | 15,6 | 97,93 |
| 18:00 | 0 | 0 | 0 | 0 | 0 | 0 | 0 | 0 | 0 | 0 | 0 | 0 | 0 | 0 | 0 | 0 | 0 | 0 | 0 | 0 | 0 | 0 | 0 | 0 | 0 | 0 | 0 | 0 | 0 | 0 |
| 19:00 | 0 | 0 | 0 | 0 | 0 | 0 | 0 | 0 | 0 | 0 | 0 | 0 | 0 | 0 | 0 | 0 | 0 | 0 | 0 | 0 | 0 | 0 | 0 | 0 | 0 | 0 | 0 | 0 | 0 | 0 |
| 20:00 | 0 | 0 | 0 | 0 | 0 | 0 | 0 | 0 | 0 | 0 | 0 | 0 | 0 | 0 | 0 | 0 | 0 | 0 | 0 | 0 | 0 | 0 | 0 | 0 | 0 | 0 | 0 | 0 | 0 | 0 |
| 21:00 | 0 | 0 | 0 | 0 | 0 | 0 | 0 | 0 | 0 | 0 | 0 | 0 | 0 | 0 | 0 | 0 | 0 | 0 | 0 | 0 | 0 | 0 | 0 | 0 | 0 | 0 | 0 | 0 | 0 | 0 |
| 22:00 | 0 | 0 | 0 | 0 | 0 | 0 | 0 | 0 | 0 | 0 | 0 | 0 | 0 | 0 | 0 | 0 | 0 | 0 | 0 | 0 | 0 | 0 | 0 | 0 | 0 | 0 | 0 | 0 | 0 | 0 |
| 23:00 | 0 | 0 | 0 | 0 | 0 | 0 | 0 | 0 | 0 | 0 | 0 | 0 | 0 | 0 | 0 | 0 | 0 | 0 | 0 | 0 | 0 | 0 | 0 | 0 | 0 | 0 | 0 | 0 | 0 | 0 |

Datos obtenidos de velocidad de viento del mes de Abril para la zona Arqueológica Curiquina

Tabla 51. Datos Velocidad de viento respecto Hora-Día del mes de Abril

| HORA | 5 | 6 | 7 | 8 | 9 | 10 | 11 | 12 | 13 | 14 | 15 | 16 | 17 | 18 | 19 | 20 | 21 | 22 | 23 | 24 | 25 | 26 | 27 | 28 | 29 | 30 |
|-------|------|------|------|------|------|------|------|------|------|------|------|------|------|------|------|------|------|------|------|------|------|------|------|------|------|------|
| 0,00 | 0,60 | 1,10 | 0,00 | 3,00 | 0,00 | 0,00 | 1,90 | 1,60 | 1,50 | 2,00 | 2,30 | 1,30 | 0,00 | 0,00 | 0,60 | 0,10 | 0,50 | 2,30 | 1,30 | 0,00 | 0,10 | 1,80 | 8,80 | 1,60 | 1,60 | 1,30 |
| 1,00 | 0,40 | 0,00 | 0,00 | 0,00 | 0,60 | 0,00 | 0,40 | 1,80 | 0,60 | 2,50 | 0,00 | 1,60 | 2,50 | 0,20 | 0,00 | 0,60 | 0,00 | 0,00 | 1,60 | 0,00 | 2,20 | 3,90 | 4,60 | 1,80 | 1,80 | 1,60 |
| 2,00 | 2,00 | 2,30 | 0,00 | 0,00 | 3,60 | 0,00 | 0,00 | 1,50 | 1,20 | 0,80 | 0,00 | 2,00 | 0,00 | 0,00 | 0,00 | 0,80 | 0,60 | 0,00 | 2,00 | 0,00 | 1,50 | 5,40 | 1,50 | 1,50 | 1,50 | 2,00 |
| 3,00 | 0,20 | 0,80 | 0,60 | 0,00 | 0,00 | 0,00 | 0,00 | 0,80 | 0,20 | 1,60 | 1,10 | 0,00 | 1,80 | 1,30 | 0,00 | 0,80 | 0,10 | 1,10 | 0,00 | 0,60 | 4,30 | 4,00 | 1,90 | 0,80 | 1,80 | 0,00 |
| 4,00 | 1,20 | 0,90 | 0,00 | 0,00 | 0,00 | 0,00 | 2,50 | 0,00 | 0,60 | 0,80 | 0,00 | 0,00 | 0,80 | 0,10 | 0,40 | 0,60 | 1,10 | 0,00 | 0,00 | 0,00 | 0,40 | 3,70 | 7,40 | 0,00 | 0,00 | 0,00 |
| 5,00 | 1,20 | 1,10 | 1,10 | 0,00 | 0,00 | 2,30 | 0,20 | 0,00 | 1,20 | 1,50 | 0,80 | 1,30 | 0,00 | 1,10 | 0,40 | 0,00 | 1,50 | 0,80 | 1,30 | 1,10 | 3,40 | 1,50 | 5,50 | 0,00 | 0,00 | 1,30 |
| 6,00 | 0,50 | 0,90 | 2,00 | 0,00 | 0,00 | 0,00 | 0,50 | 0,90 | 1,80 | 0,90 | 0,00 | 0,50 | 2,00 | 0,00 | 0,00 | 0,90 | 0,80 | 0,00 | 0,90 | 2,00 | 2,50 | 2,20 | 3,20 | 0,90 | 0,90 | 1,80 |
| 7,00 | 1,50 | 0,60 | 0,00 | 0,00 | 0,00 | 3,00 | 0,00 | 0,00 | 0,50 | 0,50 | 0,80 | 1,50 | 0,80 | 0,00 | 0,00 | 0,60 | 0,80 | 0,80 | 0,60 | 0,00 | 1,50 | 0,00 | 2,90 | 0,00 | 0,00 | 0,80 |
| 8,00 | 0,60 | 3,60 | 0,00 | 0,00 | 0,00 | 1,50 | 0,00 | 1,30 | 0,60 | 0,00 | 0,20 | 0,60 | 0,20 | 0,00 | 0,00 | 0,00 | 0,80 | 0,20 | 3,60 | 0,00 | 5,30 | 1,30 | 2,30 | 1,30 | 1,30 | 0,60 |
| 9,00 | 1,80 | 2,70 | 1,50 | 0,00 | 2,20 | 0,00 | 1,30 | 1,90 | 0,50 | 2,60 | 1,80 | 1,50 | 1,50 | 2,70 | 2,60 | 0,40 | 0,50 | 1,80 | 2,70 | 1,50 | 4,60 | 3,40 | 2,30 | 1,90 | 1,90 | 0,50 |
| 10,00 | 1,10 | 2,00 | 0,00 | 2,00 | 1,20 | 2,00 | 0,00 | 1,10 | 3,90 | 4,00 | 1,80 | 1,50 | 3,00 | 0,60 | 1,10 | 1,60 | 0,90 | 1,80 | 2,00 | 0,00 | 0,00 | 0,00 | 0,10 | 1,10 | 1,10 | 0,90 |
| 11,00 | 2,30 | 2,60 | 0,00 | 3,00 | 2,50 | 1,80 | 0,40 | 1,60 | 1,30 | 4,80 | 2,30 | 2,30 | 4,30 | 2,00 | 2,60 | 0,40 | 0,00 | 2,30 | 2,60 | 4,10 | 0,00 | 0,60 | 4,10 | 1,60 | 1,60 | 3,90 |
| 12,00 | 1,50 | 0,00 | 3,60 | 0,00 | 1,20 | 1,50 | 1,50 | 2,90 | 4,30 | 8,80 | 0,10 | 1,50 | 2,90 | 0,10 | 1,80 | 3,30 | 1,80 | 0,10 | 0,00 | 2,30 | 1,30 | 0,00 | 2,30 | 2,90 | 2,90 | 1,30 |
| 13,00 | 2,30 | 0,40 | 1,50 | 0,00 | 2,60 | 6,50 | 2,30 | 5,70 | 2,00 | 4,60 | 2,20 | 5,70 | 3,00 | 1,80 | 3,30 | 0,50 | 0,00 | 2,20 | 0,40 | 0,00 | 1,60 | 0,00 | 0,00 | 5,70 | 5,70 | 4,30 |
| 14,00 | 2,00 | 8,90 | 3,20 | 2,50 | 1,20 | 7,40 | 2,90 | 4,70 | 9,30 | 1,50 | 1,50 | 9,50 | 2,00 | 3,90 | 0,20 | 3,20 | 2,50 | 1,50 | 8,90 | 0,00 | 2,00 | 0,00 | 0,00 | 4,70 | 4,70 | 2,00 |
| 15,00 | 7,40 | 0,90 | 4,70 | 1,60 | 3,90 | 0,00 | 4,30 | 5,30 | 7,10 | 1,90 | 4,30 | 5,80 | 2,90 | 5,40 | 2,00 | 2,30 | 3,20 | 4,30 | 0,90 | 1,10 | 0,00 | 0,40 | 1,10 | 5,30 | 5,30 | 9,30 |
| 16,00 | 5,00 | 3,40 | 4,00 | 1,10 | 0,00 | 2,30 | 1,80 | 2,50 | 3,70 | 7,40 | 0,40 | 5,10 | 1,30 | 4,00 | 2,90 | 0,00 | 7,40 | 0,40 | 3,40 | 0,00 | 0,00 | 0,40 | 0,00 | 2,90 | 2,90 | 7,10 |
| 17,00 | 5,10 | 0,80 | 2,00 | 0,00 | 2,50 | 0,00 | 2,30 | 5,80 | 2,90 | 5,50 | 3,40 | 0,60 | 4,10 | 3,70 | 4,80 | 3,60 | 5,50 | 3,40 | 0,80 | 0,80 | 1,30 | 0,00 | 0,80 | 4,80 | 4,80 | 3,70 |
| 18,00 | 1,60 | 5,80 | 2,30 | 0,00 | 2,70 | 1,50 | 4,60 | 2,30 | 5,40 | 3,20 | 2,50 | 0,50 | 4,00 | 1,50 | 2,70 | 2,70 | 3,20 | 2,50 | 5,80 | 0,00 | 0,00 | 0,00 | 0,00 | 2,70 | 2,70 | 2,90 |
| 19,00 | 3,70 | 3,40 | 3,30 | 1,60 | 4,70 | 0,00 | 2,70 | 2,10 | 5,10 | 2,90 | 1,50 | 0,50 | 5,40 | 2,20 | 2,70 | 0,90 | 2,90 | 1,50 | 3,40 | 0,80 | 0,00 | 0,00 | 0,80 | 2,70 | 2,70 | 5,40 |
| 20,00 | 1,30 | 3,70 | 3,40 | 0,00 | 1,20 | 0,00 | 0,80 | 1,20 | 3,30 | 2,30 | 5,30 | 0,80 | 0,90 | 0,00 | 0,00 | 0,40 | 2,30 | 5,30 | 3,70 | 0,20 | 2,70 | 0,00 | 2,30 | 0,00 | 0,00 | 5,10 |
| 21,00 | 5,40 | 3,90 | 2,60 | 0,00 | 0,00 | 0,00 | 2,90 | 1,50 | 2,50 | 2,30 | 4,60 | 1,50 | 2,20 | 1,30 | 1,80 | 2,00 | 2,30 | 4,60 | 3,90 | 1,80 | 0,60 | 2,60 | 2,90 | 1,80 | 1,80 | 3,30 |
| 22,00 | 3,40 | 0,00 | 2,30 | 0,00 | 0,00 | 0,00 | 1,90 | 1,30 | 2,10 | 0,10 | 0,00 | 1,80 | 3,90 | 3,40 | 2,90 | 2,00 | 0,10 | 0,00 | 0,00 | 1,80 | 2,00 | 4,00 | 1,90 | 2,90 | 2,90 | 3,90 |
| 23,00 | 0,90 | 1,80 | 0,00 | 1,10 | 1,10 | 0,00 | 1,90 | 1,20 | 1,50 | 4,10 | 0,00 | 3,00 | 0,00 | 0,00 | 0,00 | 1,50 | 4,10 | 0,00 | 1,80 | 2,30 | 0,10 | 4,80 | 1,90 | 0,00 | 0,00 | |

Datos obtenidos de velocidad de viento del mes de Mayo para la zona Arqueológica Curiquina

Tabla 52.Datos Velocidad de viento respecto Hora-Día del mes de Mayo

| HORA | 1 | 2 | 3 | 4 | 5 | 6 | 7 | 8 | 9 | 10 | 11 | 12 | 13 | 14 | 15 | 16 | 17 | 18 | 19 | 20 | 21 | 22 | 23 | 24 | 25 | 26 | 27 | 28 | 29 | 30 | 31 | |
|-------|------|------|------|------|------|------|------|------|------|------|------|------|------|------|------|------|------|------|------|------|------|------|------|------|------|------|------|------|------|------|------|------|
| 0,00 | 0,00 | 0,60 | 1,80 | 0,00 | 0,00 | 0,50 | 0,60 | 1,10 | 1,30 | 1,50 | 0,50 | 1,10 | 0,00 | 2,20 | 0,00 | 0,00 | 1,20 | 0,00 | 2,90 | 2,30 | 1,30 | 0,00 | 0,00 | 2,00 | 0,00 | 2,20 | 1,80 | 1,30 | 1,60 | 0,10 | 1,30 | |
| 1,00 | 0,20 | 0,00 | 3,90 | 1,30 | 0,00 | 0,00 | 0,10 | 0,00 | 1,60 | 2,20 | 0,00 | 0,00 | 1,30 | 0,00 | 3,00 | 1,10 | 0,00 | 0,00 | 1,90 | 0,00 | 1,60 | 0,60 | 1,10 | 0,00 | 0,00 | 1,50 | 3,90 | 4,60 | 1,80 | 0,60 | 1,60 | |
| 2,00 | 0,00 | 0,00 | 5,40 | 0,10 | 0,40 | 0,60 | 1,10 | 0,00 | 2,00 | 0,00 | 0,60 | 0,00 | 1,60 | 1,30 | 0,00 | 0,60 | 0,00 | 0,00 | 1,90 | 0,00 | 2,00 | 0,00 | 0,00 | 0,60 | 4,30 | 5,40 | 1,50 | 1,50 | 0,80 | 2,00 | | |
| 3,00 | 1,30 | 0,00 | 4,00 | 1,10 | 0,40 | 0,10 | 0,60 | 1,10 | 4,00 | 1,30 | 0,10 | 0,40 | 2,00 | 3,40 | 0,00 | 0,00 | 1,10 | 0,00 | 1,60 | 1,10 | 0,00 | 0,00 | 0,80 | 1,30 | 0,00 | 0,40 | 4,00 | 1,90 | 1,10 | 1,10 | 0,00 | |
| 4,00 | 0,10 | 0,40 | 3,70 | 0,00 | 0,00 | 1,10 | 0,00 | 0,00 | 3,70 | 3,40 | 1,10 | 1,10 | 4,00 | 0,00 | 0,00 | 1,10 | 0,00 | 1,90 | 1,80 | 0,00 | 0,00 | 0,00 | 0,90 | 1,10 | 3,40 | 3,70 | 7,40 | 0,00 | 0,00 | 0,00 | | |
| 5,00 | 1,10 | 0,40 | 1,50 | 0,00 | 0,00 | 0,60 | 0,40 | 0,80 | 1,50 | 0,00 | 2,30 | 0,00 | 3,70 | 0,60 | 0,00 | 0,60 | 0,00 | 0,40 | 1,50 | 0,80 | 1,30 | 0,40 | 0,80 | 0,60 | 2,00 | 2,50 | 1,50 | 5,50 | 0,00 | 0,80 | 1,30 | |
| 6,00 | 0,00 | 0,00 | 2,20 | 0,00 | 0,00 | 0,00 | 1,60 | 0,00 | 2,20 | 0,60 | 0,00 | 0,80 | 1,50 | 0,00 | 0,00 | 3,60 | 0,00 | 0,00 | 0,90 | 0,00 | 1,10 | 0,40 | 0,20 | 3,60 | 0,00 | 1,50 | 2,20 | 3,20 | 0,90 | 0,00 | 1,80 | |
| 7,00 | 0,00 | 0,00 | 0,00 | 2,70 | 0,60 | 0,40 | 0,40 | 0,80 | 0,00 | 0,00 | 3,60 | 0,00 | 2,20 | 0,00 | 0,00 | 0,00 | 0,00 | 0,50 | 0,80 | 0,00 | 0,00 | 1,80 | 2,70 | 0,00 | 0,50 | 0,00 | 2,90 | 0,00 | 0,80 | 0,80 | | |
| 8,00 | 0,00 | 0,00 | 1,30 | 0,60 | 0,00 | 1,60 | 3,30 | 0,20 | 1,30 | 0,00 | 2,70 | 0,80 | 0,00 | 0,00 | 0,00 | 0,00 | 2,50 | 0,00 | 0,20 | 0,00 | 0,00 | 1,80 | 2,00 | 2,00 | 1,50 | 5,30 | 1,30 | 2,30 | 1,30 | 0,20 | 0,60 | |
| 9,00 | 2,70 | 3,90 | 3,40 | 2,00 | 0,40 | 0,40 | 0,50 | 1,80 | 3,40 | 0,00 | 0,90 | 0,20 | 1,30 | 0,40 | 0,00 | 0,00 | 2,30 | 0,20 | 2,60 | 1,80 | 0,00 | 0,00 | 2,30 | 2,60 | 0,00 | 4,60 | 3,40 | 2,30 | 1,90 | 1,80 | 0,50 | |
| 10,00 | 0,60 | 0,00 | 0,00 | 0,10 | 1,60 | 3,30 | 3,20 | 1,80 | 0,00 | 0,40 | 0,40 | 1,80 | 3,40 | 0,40 | 0,00 | 0,00 | 0,00 | 0,00 | 4,00 | 1,80 | 2,70 | 0,90 | 0,10 | 0,00 | 4,10 | 0,00 | 0,00 | 0,10 | 1,10 | 1,80 | 3,90 | |
| 11,00 | 2,00 | 0,00 | 0,60 | 1,80 | 0,40 | 0,50 | 2,30 | 2,30 | 0,60 | 0,40 | 2,00 | 1,80 | 0,00 | 1,50 | 2,00 | 0,00 | 3,00 | 0,00 | 4,80 | 2,30 | 0,60 | 0,00 | 2,20 | 0,40 | 2,30 | 0,00 | 0,60 | 4,10 | 1,60 | 2,30 | 1,30 | |
| 12,00 | 0,10 | 0,20 | 0,00 | 3,90 | 3,30 | 3,20 | 0,00 | 0,10 | 1,50 | 0,00 | 2,00 | 2,30 | 0,60 | 2,20 | 3,00 | 0,00 | 1,50 | 1,30 | 8,80 | 0,10 | 2,00 | 1,80 | 1,50 | 8,90 | 0,00 | 1,30 | 0,00 | 2,30 | 2,90 | 0,10 | 4,30 | |
| 13,00 | 1,80 | 0,00 | 0,00 | 5,40 | 0,50 | 2,30 | 3,60 | 2,20 | 0,40 | 0,00 | 1,50 | 0,10 | 0,00 | 1,50 | 0,00 | 2,20 | 0,00 | 0,00 | 4,60 | 2,20 | 0,10 | 0,00 | 4,30 | 0,90 | 0,00 | 1,60 | 0,00 | 0,00 | 5,70 | 2,20 | 2,00 | |
| 14,00 | 3,90 | 1,30 | 0,00 | 4,00 | 3,20 | 0,00 | 2,70 | 1,50 | 0,00 | 0,00 | 0,50 | 2,20 | 0,00 | 3,20 | 0,00 | 1,20 | 2,00 | 0,40 | 1,50 | 1,50 | 1,80 | 7,40 | 0,40 | 2,00 | 1,10 | 2,00 | 0,00 | 0,00 | 4,70 | 1,50 | 9,30 | |
| 15,00 | 5,40 | 0,10 | 0,40 | 3,70 | 2,30 | 3,60 | 0,90 | 4,30 | 0,00 | 2,30 | 0,00 | 1,50 | 0,00 | 4,70 | 2,50 | 2,50 | 1,80 | 1,50 | 1,90 | 4,30 | 3,90 | 5,50 | 3,40 | 3,40 | 0,00 | 0,00 | 0,40 | 1,10 | 5,30 | 4,30 | 7,10 | |
| 16,00 | 4,00 | 1,10 | 0,40 | 1,50 | 0,00 | 2,70 | 0,40 | 0,40 | 0,00 | 0,00 | 0,60 | 4,30 | 0,40 | 4,00 | 1,60 | 1,20 | 1,50 | 2,30 | 7,40 | 0,40 | 5,40 | 3,20 | 2,50 | 0,80 | 0,80 | 0,00 | 0,40 | 0,00 | 2,90 | 0,40 | 3,70 | |
| 17,00 | 3,70 | 0,00 | 0,00 | 2,20 | 3,60 | 0,90 | 2,00 | 3,40 | 0,40 | 3,60 | 0,10 | 0,40 | 0,40 | 2,00 | 1,10 | 2,60 | 6,50 | 2,90 | 5,50 | 3,40 | 4,00 | 2,90 | 1,50 | 5,80 | 0,00 | 1,30 | 0,00 | 0,80 | 4,80 | 3,40 | 2,90 | |
| 18,00 | 1,50 | 0,00 | 0,00 | 0,00 | 2,70 | 0,40 | 2,00 | 2,50 | 0,40 | 2,70 | 1,10 | 3,40 | 0,00 | 2,30 | 0,00 | 1,20 | 7,40 | 4,30 | 3,20 | 2,50 | 3,70 | 2,30 | 5,30 | 3,40 | 3,40 | 0,80 | 0,00 | 0,00 | 2,70 | 2,50 | 5,40 | |
| 19,00 | 2,20 | 0,00 | 0,00 | 1,30 | 0,90 | 2,00 | 1,50 | 1,50 | 0,00 | 0,90 | 1,50 | 2,50 | 0,00 | 3,30 | 0,00 | 3,90 | 0,00 | 1,80 | 2,90 | 1,50 | 1,50 | 2,30 | 4,60 | 3,70 | 0,20 | 0,00 | 0,00 | 0,80 | 2,70 | 1,50 | 5,10 | |
| 20,00 | 0,00 | 2,70 | 3,90 | 3,40 | 0,40 | 2,00 | 0,50 | 5,30 | 0,00 | 0,40 | 0,50 | 1,50 | 0,00 | 3,40 | 1,60 | 0,00 | 2,30 | 2,30 | 5,30 | 2,20 | 0,10 | 0,00 | 3,90 | 1,80 | 2,70 | 0,00 | 2,20 | 0,00 | 5,30 | 3,30 | | |
| 21,00 | 1,30 | 0,60 | 0,00 | 0,00 | 2,00 | 1,50 | 0,00 | 4,60 | 0,00 | 2,00 | 0,00 | 5,30 | 4,00 | 2,60 | 0,00 | 2,50 | 0,00 | 4,60 | 2,30 | 4,60 | 0,00 | 4,10 | 0,00 | 0,00 | 1,80 | 0,60 | 2,60 | 2,90 | 1,80 | 4,60 | 3,90 | |
| 22,00 | 3,40 | 2,00 | 0,00 | 0,60 | 2,00 | 0,50 | 0,60 | 0,00 | 4,00 | 2,00 | 0,60 | 4,60 | 3,70 | 0,60 | 0,00 | 2,70 | 1,50 | 2,70 | 0,10 | 0,00 | 1,30 | 2,30 | 1,30 | 1,80 | 2,30 | 2,00 | 4,00 | 1,90 | 2,90 | 0,00 | 0,00 | 0,00 |
| 23,00 | 0,00 | 0,10 | 0,20 | 0,00 | 1,50 | 0,00 | 0,10 | 0,00 | 3,70 | 1,50 | 0,10 | 0,00 | 1,50 | 2,30 | 1,50 | 4,70 | 0,00 | 0,10 | 4,10 | 0,00 | 3,40 | 0,00 | 1,60 | 0,00 | 0,10 | 0,10 | 4,80 | 1,90 | 0,00 | 0,00 | 0,00 | 0,00 |

Datos obtenidos de velocidad de viento del mes de Junio para la zona Arqueológica Curiquina

Tabla 53.Datos Velocidad de viento respecto Hora-Día del mes de Junio

| HORA | 1 | 2 | 3 | 4 | 5 | 6 | 7 | 8 | 9 | 10 | 11 | 12 | 13 | 14 | 15 | 16 | 17 | 18 | 19 | 20 | 21 | 22 | 23 | 24 | 25 | 26 | 27 | 28 | 29 | 30 |
|-------|-----|-----|-----|-----|-----|-----|-----|-----|-----|-----|-----|-----|-----|-----|-----|-----|-----|-----|-----|-----|-----|-----|-----|-----|-----|-----|-----|-----|-----|-----|
| 0,00 | 1,1 | 1,2 | 1,9 | 2,3 | 0 | 0 | 1,1 | 1,3 | 0 | 0 | 1,3 | 1,8 | 1,2 | 1,6 | 1,3 | 1,6 | 0,1 | 1,5 | 2,3 | 1,3 | 1,1 | 0 | 0 | 0,5 | 2 | 0 | 2,2 | 2,2 | 0,5 | 0 |
| 1,00 | 0 | 0 | 0,4 | 0 | 3,9 | 0,1 | 0 | 1,6 | 2,5 | 0,6 | 1,6 | 2,3 | 1,5 | 1,8 | 1,6 | 0 | 0,6 | 0,5 | 0 | 0,6 | 0,2 | 0 | 0 | 0,2 | 2,2 | 0 | 0 | 0 | 0 | |
| 2,00 | 2,3 | 0 | 0 | 0 | 0 | 1,1 | 0 | 2 | 0 | 0,8 | 2 | 0,1 | 1,5 | 1,5 | 2 | 0,6 | 0,8 | 0 | 0 | 3,6 | 2,3 | 3,6 | 0 | 0,6 | 0 | 0 | 3,3 | 2,2 | 0,6 | 0,4 |
| 3,00 | 0,8 | 0 | 0 | 1,1 | 0 | 0,6 | 1,1 | 4 | 1,8 | 0,1 | 0 | 2,2 | 1,9 | 1,1 | 0 | 0 | 1,1 | 0,6 | 1,1 | 0 | 0,8 | 0 | 1,3 | 0,1 | 1,3 | 1,3 | 2,2 | 2,2 | 0,1 | 0,4 |
| 4,00 | 0,9 | 0 | 2,5 | 0 | 0,2 | 0 | 0 | 3,7 | 0,8 | 1,1 | 0 | 1,5 | 7,4 | 0 | 0 | 0 | 0 | 0,1 | 0 | 0 | 0,9 | 0 | 0,1 | 1,1 | 0,9 | 0,1 | 3,3 | 2,2 | 1,1 | 0 |
| 5,00 | 1,1 | 2,3 | 0,2 | 0,8 | 0 | 0,4 | 0,8 | 1,5 | 0 | 0,8 | 1,3 | 4,3 | 5,5 | 0,8 | 1,3 | 0 | 0,8 | 1,1 | 0,8 | 0 | 1,1 | 0 | 1,1 | 2,1 | 0,6 | 1,1 | 2,2 | 7,8 | 0,4 | 0 |
| 6,00 | 0,9 | 0 | 0 | 1,3 | 1,6 | 0 | 2,2 | 1,1 | 0 | 0,9 | 0,4 | 3,2 | 0 | 1,8 | 0,4 | 0 | 1,5 | 0 | 0 | 0,9 | 0 | 0 | 0,8 | 3,6 | 0 | 4,4 | 8,9 | 1,6 | 0 | |
| 7,00 | 0,6 | 3 | 0 | 0,8 | 0,1 | 0,4 | 0,8 | 0 | 0 | 0,8 | 0,6 | 3,4 | 2,9 | 0,8 | 0 | 0,4 | 0,8 | 0,8 | 0,8 | 0 | 0,6 | 0 | 0 | 0,8 | 2,7 | 0 | 0 | 0 | 0,4 | 0,6 |
| 8,00 | 3,6 | 1,5 | 1,3 | 1,5 | 1,1 | 3,3 | 0,2 | 1,3 | 0 | 0,2 | 3,6 | 2,5 | 2,3 | 0,2 | 0 | 0 | 0,2 | 0,8 | 0,2 | 0 | 3,6 | 0 | 0 | 0,8 | 2 | 0 | 3,3 | 3,3 | 3,3 | 0 |
| 9,00 | 2,7 | 0 | 0 | 2,9 | 4 | 0,5 | 1,8 | 3,4 | 0 | 1,8 | 2,7 | 1,5 | 2,3 | 1,8 | 2,7 | 0 | 1,8 | 0,8 | 1,8 | 2,2 | 2,7 | 2,2 | 2,7 | 0,5 | 2,6 | 2,7 | 3,3 | 0 | 0,5 | 0,4 |
| 10,00 | 2 | 2 | 0,4 | 1,9 | 3,3 | 3,2 | 1,8 | 0 | 2,7 | 1,8 | 2 | 5,3 | 0,1 | 1,8 | 0,6 | 0 | 1,8 | 0,5 | 1,8 | 1,2 | 2 | 1,2 | 0,6 | 0,9 | 0 | 0,6 | 5,5 | 2,2 | 3,2 | 1,6 |
| 11,00 | 2,6 | 1,8 | 1,5 | 1,9 | 2,8 | 2,3 | 2,3 | 0,6 | 0,6 | 2,3 | 2,6 | 4,6 | 4,1 | 2,3 | 2 | 3,9 | 2,3 | 0,9 | 2,3 | 2,5 | 2,6 | 2,5 | 2 | 0 | 0,4 | 2 | 2,2 | 0 | 2,3 | 0,4 |
| 12,00 | 0 | 1,5 | 2,3 | 1,6 | 0,5 | 0 | 0,1 | 0 | 2 | 0,1 | 2,3 | 0 | 2,3 | 0,1 | 0,1 | 0 | 0,1 | 0 | 1,2 | 0,1 | 1,2 | 0 | 1,2 | 0,1 | 1,8 | 8,9 | 0,1 | 0 | 0 | 3,3 |
| 13,00 | 0,4 | 6,5 | 2,9 | 3,4 | 3,2 | 3,6 | 2,2 | 0 | 0,1 | 2,2 | 0 | 0 | 0 | 2,2 | 1,8 | 0 | 2,2 | 1,8 | 2,2 | 2,6 | 0,4 | 2,6 | 1,8 | 0 | 0,9 | 1,8 | 0 | 0 | 3,6 | 0,5 |
| 14,00 | 8,9 | 7,4 | 4,3 | 0 | 2,3 | 2,7 | 1,5 | 0 | 1,8 | 1,5 | 0 | 1,3 | 0 | 1,5 | 3,9 | 0,2 | 1,5 | 0 | 1,5 | 1,2 | 8,9 | 1,2 | 3,9 | 7,4 | 3,4 | 3,9 | 1,1 | 0 | 2,7 | 3,2 |
| 15,00 | 0,9 | 0 | 1,8 | 6,5 | 0 | 0,9 | 4,3 | 0,4 | 3,9 | 4,3 | 1,1 | 0,4 | 1,1 | 4,3 | 5,4 | 0 | 4,3 | 7,4 | 4,3 | 3,9 | 0,9 | 3,9 | 5,4 | 5,5 | 0,8 | 5,4 | 0 | 2,3 | 0,9 | 2,3 |
| 16,00 | 3,4 | 2,3 | 2,3 | 0,6 | 3,6 | 0,4 | 0,4 | 0,4 | 5,4 | 0,4 | 0 | 0,4 | 0 | 0,4 | 4 | 1,3 | 0,4 | 5,5 | 0,4 | 0 | 3,4 | 0 | 4 | 3,2 | 5,8 | 4 | 0 | 0 | 0,4 | 0 |
| 17,00 | 0,8 | 0 | 4,6 | 0 | 2,7 | 2 | 3,4 | 0 | 4 | 3,4 | 0,8 | 0 | 0,8 | 3,4 | 3,7 | 0,1 | 3,4 | 3,2 | 3,4 | 2,5 | 0,8 | 2,5 | 3,7 | 2,9 | 3,4 | 3,7 | 0 | 3,6 | 2 | 3,6 |
| 18,00 | 5,8 | 1,5 | 2,7 | 0 | 0,9 | 2 | 2,5 | 0 | 3,7 | 2,5 | 0 | 0 | 0 | 2,5 | 1,5 | 1,1 | 2,5 | 2,9 | 2,5 | 2,7 | 5,8 | 2,7 | 1,5 | 2,3 | 3,7 | 1,5 | 0 | 2,7 | 2 | 2,7 |
| 19,00 | 3,4 | 0 | 3,7 | 0 | 0,4 | 1,5 | 1,5 | 0 | 1,5 | 1,5 | 0,8 | 0 | 0,8 | 1,5 | 2,2 | 0 | 1,5 | 2,3 | 1,5 | 4,7 | 3,4 | 4,7 | 2,2 | 2,3 | 3,9 | 2,2 | 0 | 0,9 | 1,5 | 0,9 |
| 20,00 | 3,7 | 0 | 1,3 | 0,4 | 2 | 0,5 | 5,3 | 4 | 2,2 | 5,3 | 0,2 | 0 | 2,5 | 5,3 | 0 | 0 | 5,3 | 2,3 | 5,3 | 1,2 | 3,7 | 1,2 | 0 | 0,1 | 0 | 0 | 3,3 | 0,4 | 0,5 | 0,4 |
| 21,00 | 3,9 | 0 | 1,8 | 0,4 | 2 | 0 | 4,6 | 3,7 | 0 | 4,6 | 1,8 | 2,6 | 2,9 | 4,6 | 1,3 | 0 | 4,6 | 0,1 | 4,6 | 0 | 3,9 | 0 | 1,3 | 4,1 | 1,8 | 1,3 | 0 | 2 | 0 | 2 |
| 22,00 | 0 | 0 | 2 | 0 | 1,5 | 0,6 | 0 | 1,8 | 1,3 | 0 | 2,1 | 2,6 | 1,9 | 0 | 1,6 | 2,7 | 0 | 0,1 | 0 | 0 | 0 | 0 | 3,4 | 1,3 | 3,9 | 3,4 | 3,3 | 2 | 0,6 | 2 |
| 23,00 | 1,8 | 0 | 0,1 | 0 | 0,5 | 0,1 | 0 | 3 | 3,4 | 0 | 2,6 | 2,1 | 1,9 | 0 | 1,1 | 0,6 | 0 | 1,9 | 0 | 1,1 | 1,8 | 1,1 | 0 | 1,6 | 0 | 0 | 2,2 | 1,5 | 0,1 | 1,5 |

Datos obtenidos de Temperatura del mes de Abril para la zona Arqueológica Curiquina

Tabla 54.Datos Temperatura exterior respecto Hora-Día del mes de Abril

| HORA | 5 | 6 | 7 | 8 | 9 | 10 | 11 | 12 | 13 | 14 | 15 | 16 | 17 | 18 | 19 | 20 | 21 | 22 | 23 | 24 | 25 | 26 | 27 | 28 | 29 | 30 | |
|-------|------|------|------|------|------|------|------|------|------|------|------|------|------|------|------|------|------|------|------|------|------|------|------|------|------|------|-----|
| 0:00 | 9,5 | 10,2 | 9,5 | 9,5 | 9,4 | 9,5 | 9,5 | 10 | 8,7 | 8,7 | 8,9 | 8,6 | 9,2 | 9,6 | 9,5 | 9,4 | 8,6 | 8,7 | 9,2 | 8,7 | 9,5 | 9,2 | 8,7 | 9,7 | 8,8 | 8,7 | |
| 1:00 | 9,3 | 9,9 | 9 | 9,5 | 9 | 9,3 | 9,6 | 9,7 | 8,7 | 8,7 | 8,8 | 8,5 | 9,2 | 9,7 | 9,3 | 9 | 8,6 | 9,2 | 9,3 | 9,2 | 9,6 | 9,4 | 9,3 | 9,2 | 8,7 | 9,2 | |
| 2:00 | 9,2 | 9,6 | 8,8 | 9,8 | 9,1 | 9,2 | 9,8 | 9,3 | 9,4 | 8,7 | 8,6 | 8,5 | 9,2 | 9,1 | 9,2 | 8,7 | 8,7 | 9,3 | 8,7 | 9,5 | 9,8 | 9,5 | 9,3 | 9,5 | 9,2 | 9,3 | |
| 3:00 | 9 | 9,8 | 9 | 9,2 | 9,4 | 9 | 9,6 | 9,7 | 8,9 | 8,5 | 8,5 | 8,9 | 9,3 | 8,7 | 8,9 | 8,3 | 8,6 | 9,4 | 10,2 | 9 | 9,6 | 9,6 | 9,6 | 9,3 | 9,5 | 9,5 | |
| 4:00 | 8,9 | 9,3 | 9 | 8,8 | 9,3 | 8,9 | 8,8 | 9,2 | 9,2 | 8,7 | 8,5 | 8,7 | 8,4 | 8,8 | 9 | 9,4 | 9,6 | 9,6 | 9,5 | 9,5 | 8,8 | 9,5 | 8,7 | 9,2 | 9,6 | 9,3 | |
| 5:00 | 9 | 8,9 | 8,9 | 9 | 9,2 | 9 | 8,9 | 9,1 | 8,5 | 8,7 | 8,6 | 8,5 | 8,6 | 9,5 | 8,6 | 8,2 | 8,3 | 10,9 | 10,2 | 9 | 8,9 | 10,2 | 9,3 | 10,2 | 10,4 | 9,5 | |
| 6:00 | 8,7 | 9,1 | 8,9 | 9,1 | 8,8 | 8,7 | 8,8 | 9 | 8,7 | 8,3 | 8,5 | 9,7 | 8,7 | 9,3 | 8,4 | 8,2 | 8,7 | 10,6 | 11,3 | 8,7 | 9 | 10,3 | 10,2 | 9,8 | 9,4 | 9,2 | |
| 7:00 | 9,2 | 10,1 | 9,6 | 9,4 | 9,4 | 9,2 | 9 | 9,2 | 8,7 | 9,3 | 9,2 | 9,6 | 8,5 | 9,4 | 8,9 | 8,3 | 9,1 | 10,6 | 11,3 | 9,2 | 9,3 | 10,2 | 10,1 | 10,2 | 10,4 | 9,8 | |
| 8:00 | 9,5 | 10,4 | 10,8 | 10,6 | 10,5 | 9,5 | 9,3 | 9,5 | 9,4 | 10,3 | 10,7 | 9,6 | 9,7 | 10,5 | 9,8 | 8,9 | 10,4 | 10,4 | 11,2 | 9,5 | 10,5 | 10,6 | 9,8 | 10,5 | 10 | 9,5 | |
| 9:00 | 10,1 | 11,7 | 10,5 | 11,9 | 11,3 | 11 | 10,5 | 10,1 | 10,1 | 11,2 | 11,4 | 9,4 | 11,3 | 11,1 | 11,9 | 10,2 | 11,1 | 10,3 | 10,2 | 11 | 11,4 | 10,5 | 10,2 | 9,9 | 9,7 | 9 | |
| 10:00 | 9,9 | 11 | 12,3 | 11,6 | 11,7 | 13,9 | 11,4 | 11,4 | 9,9 | 11,8 | 12,8 | 10,7 | 11,3 | 12,5 | 11,9 | 11,3 | 13 | 10,2 | 10,3 | 13,9 | 12,6 | 10,2 | 10,5 | 9,9 | 9,8 | 10,3 | |
| 11:00 | 10,6 | 11,1 | 13,8 | 13,2 | 13,7 | 14,6 | 12,6 | 12,5 | 10,6 | 11,7 | 12,4 | 10,2 | 12,6 | 13,8 | 12,8 | 13,1 | 13,9 | 10,1 | 10 | 14,6 | 13,9 | 9,8 | 10 | 9,8 | 9,6 | 8,8 | |
| 12:00 | 11,4 | 11,7 | 15,2 | 15,5 | 14,4 | 15,1 | 13,9 | 14,1 | 11,4 | 12,8 | 13 | 10 | 12,9 | 13,8 | 12,9 | 14,5 | 15,7 | 9,5 | 9,7 | 15,1 | 14 | 9,5 | 9,5 | 9,4 | 9,5 | 9 | |
| 13:00 | 11,1 | 12,8 | 15,7 | 14,3 | 14,2 | 14,8 | 14 | 15,1 | 11,1 | 13,7 | 13,6 | 11,9 | 12,8 | 16 | 14 | 13,4 | 15,4 | 14,1 | 9,3 | 14,8 | 14,1 | 9 | 14,1 | 9 | 9,3 | 14,1 | |
| 14:00 | 11,1 | 12,2 | 14,1 | 12,2 | 10,9 | 14,4 | 14,1 | 15,6 | 11,1 | 13,4 | 13,9 | 11,9 | 14,3 | 16,1 | 10,6 | 12,2 | 13,9 | 13,5 | 12,2 | 14,4 | 13,5 | 8,8 | 13,5 | 9,1 | 9,2 | 13,5 | |
| 15:00 | 13,2 | 12,6 | 14 | 12,1 | 10 | 13,3 | 13,5 | 15,1 | 10 | 14,4 | 12,9 | 11,7 | 14,4 | 13,5 | 11,1 | 12,5 | 11,7 | 13,8 | 9,3 | 13,3 | 13,8 | 9 | 13,8 | 9,4 | 10,1 | 13,8 | |
| 16:00 | 13,2 | 14,6 | 14,5 | 11,5 | 10,2 | 11,3 | 13,8 | 12,2 | 10,3 | 11,9 | 12,5 | 10,5 | 14,2 | 11,8 | 12,7 | 12,3 | 8,9 | 12,1 | 9,1 | 11,3 | 12,1 | 9 | 12,1 | 9,3 | 10,4 | 12,1 | |
| 17:00 | 12,3 | 13,3 | 12,2 | 13,5 | 10,2 | 10,9 | 12,1 | 12,2 | 10,2 | 11,6 | 12,8 | 10,2 | 13,7 | 11,6 | 11,9 | 11,2 | 9 | 11,8 | 9 | 10,9 | 11,8 | 8,9 | 11,8 | 9,2 | 11,7 | 11,8 | |
| 18:00 | 12 | 11,9 | 11,9 | 11,1 | 10,3 | 10,6 | 11,8 | 11,2 | 9,1 | 10,6 | 10,7 | 10 | 12,7 | 11,6 | 10,2 | 10,3 | 8,7 | 9 | 9,2 | 10,6 | 11,3 | 8,9 | 9,1 | 8,8 | 11 | 10,5 | |
| 19:00 | 12,1 | 11,8 | 11,7 | 11,1 | 10,4 | 10,6 | 11,3 | 10,2 | 8,9 | 9,7 | 9,7 | 9,9 | 11,3 | 11,2 | 10 | 9,9 | 9,2 | 9,3 | 9,5 | 10,6 | 10,1 | 9,6 | 9,4 | 9,4 | 11,1 | 9,2 | |
| 20:00 | 12,1 | 10,6 | 11,5 | 10,5 | 10 | 10,4 | 12,1 | 10,3 | 8,9 | 9,5 | 9,6 | 9,6 | 10,9 | 10,6 | 9,6 | 9,4 | 9,5 | 10,5 | 10,1 | 10,4 | 10,4 | 10,8 | 10,6 | 10,5 | 11,7 | 10,2 | |
| 21:00 | 11,5 | 10,5 | 11,2 | 9,9 | 9,7 | 10,3 | 11,2 | 10 | 8,9 | 9,5 | 9,6 | 9,8 | 10,7 | 10,4 | 10 | 9,4 | 10,2 | 9,4 | 10,2 | 9,4 | 11,7 | 10,5 | 10,2 | 10,3 | 10,3 | 9,4 | |
| 22:00 | 11,1 | 10,2 | 10,5 | 9,9 | 9,8 | 10,2 | 10,2 | 9,2 | 8,9 | 9,2 | 9,4 | 9,2 | 10,3 | 10,5 | 9,8 | 9,2 | 10,2 | 9,4 | 9,6 | 9,6 | 11 | 9,6 | 9,3 | 9,6 | 9,5 | 9,6 | |
| 23:00 | 10,7 | 9,8 | 10 | 9,8 | 9,6 | 10,1 | 10,3 | 8,5 | 8,9 | 8,9 | 8,9 | 8,9 | 9,9 | 9,9 | 9,9 | 9,5 | 8,7 | 9,6 | 9,2 | 9,2 | 8,7 | 9,4 | 8,7 | 9,5 | 8,6 | 9,2 | 9,2 |

Datos obtenidos de Temperatura del mes de Mayo para la zona Arqueológica Curiquina

Tabla 55.Datos Temperatura exterior respecto Hora-Día del mes de Mayo

| HORA | 1 | 2 | 3 | 4 | 5 | 6 | 7 | 8 | 9 | 10 | 11 | 12 | 13 | 14 | 15 | 16 | 17 | 18 | 19 | 20 | 21 | 22 | 23 | 24 | 25 | 26 | 27 | 28 | 29 | 30 | 31 | |
|-------|------|------|------|------|------|------|------|------|------|------|------|------|------|------|------|------|------|------|------|------|------|------|------|------|------|------|------|------|------|------|------|------|
| 0:00 | 9,8 | 9,7 | 8,6 | 9,3 | 8,7 | 9,4 | 8,9 | 8,7 | 9,7 | 9,9 | 9,5 | 9,2 | 8,9 | 8,7 | 10 | 9,4 | 9,8 | 9,5 | 8,9 | 8,6 | 9,2 | 9,4 | 9,5 | 9,7 | 9,5 | 9,4 | 9,6 | 9,5 | 8,6 | 9,5 | 9,7 | |
| 1:00 | 9,7 | 9,2 | 9,7 | 9,3 | 9,4 | 9,3 | 9,9 | 8,6 | 9,1 | 9,5 | 9,3 | 8,9 | 9,9 | 8,6 | 9,5 | 9 | 9,6 | 9,6 | 8,8 | 8,5 | 9,2 | 9 | 9,3 | 9,1 | 9,3 | 9 | 9,7 | 9,3 | 8,5 | 9,6 | 9,3 | |
| 2:00 | 10,6 | 9,5 | 9,5 | 9,2 | 9,3 | 9,2 | 9,4 | 8 | 8,7 | 9,3 | 9,4 | 9 | 9,6 | 8 | 9,5 | 9,4 | 9,5 | 9,8 | 8,6 | 8,5 | 9,2 | 8,7 | 9,2 | 8,7 | 9,1 | 9,2 | 8,5 | 9,8 | 9,2 | | | |
| 3:00 | 10,5 | 9,6 | 9,4 | 9,1 | 9,4 | 8,8 | 9,4 | 8,9 | 8,8 | 9,2 | 8,6 | 8,8 | 9,8 | 9,5 | 9,8 | 9,1 | 9 | 9,6 | 8,5 | 8,9 | 9,3 | 8,6 | 8,9 | 8,8 | 8,9 | 8,6 | 8,7 | 8,9 | 9,6 | 9,2 | | |
| 4:00 | 11,7 | 9,3 | 9,3 | 9,8 | 9,2 | 9,4 | 9,2 | 9,6 | 9,5 | 8,9 | 8,7 | 8,6 | 9,3 | 9,3 | 9,2 | | 8,9 | 8,8 | 8,5 | 8,7 | 8,4 | 8 | 9 | 9,5 | 9 | 8 | 8,8 | 9 | 8,7 | 8,8 | 9,1 | |
| 5:00 | 11,5 | 9,2 | 9,5 | 9,5 | 9,5 | 10,5 | 8,7 | 9,6 | 9,3 | 9 | 8,6 | 8,4 | 8,9 | 9,4 | 8,8 | 9,4 | 9 | 8,9 | 8,6 | 8,5 | 8,6 | 8,4 | 8,6 | 9,3 | 8,6 | 8,3 | 9,5 | 8,6 | 8,5 | 8,9 | 9 | |
| 6:00 | 11,2 | 9,9 | 9,7 | 9 | 9,5 | 11,3 | 8,6 | 10,3 | 9,4 | 8,6 | 10,5 | 8,9 | 9,1 | 10,5 | 9 | 9,3 | 8,7 | 9 | 8,5 | 9,3 | 8,4 | 8,7 | 8,4 | 9,4 | 8,4 | 8,7 | 9,3 | 8,4 | 8,7 | 9 | 9,2 | |
| 7:00 | 10,5 | 9,9 | 9,8 | 8,8 | 9,8 | 11,7 | 10,2 | 11,3 | 10,5 | 8,4 | 11,1 | 9,8 | 10,2 | 11,1 | 9,1 | 9,2 | 9,2 | 9,3 | 9,2 | 9,4 | 8,9 | 9,1 | 8,9 | 10,5 | 8,9 | 9,2 | 9,4 | 8,9 | 9,2 | 9,3 | 9,5 | |
| 8:00 | 10 | 9,8 | 9,6 | 9 | 9,2 | 13,7 | 11,3 | 11,6 | 11,1 | 10,2 | 12,5 | 10,2 | 11,3 | 12,5 | 9,4 | 8,8 | 9,5 | 10,5 | 10,7 | 10,5 | 9,8 | 10,4 | 9,8 | 11,1 | 9,8 | 9,1 | 10,5 | 9,8 | 9,5 | 10,5 | 10,1 | |
| 9:00 | 9,5 | 9,4 | 9,5 | 9 | 8,8 | 12,4 | 13,1 | 12,2 | 12,5 | 11,3 | 13,8 | 10 | 13,1 | 13,8 | 10,6 | 9,4 | 11 | 11,4 | 11,4 | 11,1 | 11,1 | 11,1 | 12,8 | 12,5 | 10,2 | 10,4 | 11,1 | 11,4 | 11,4 | | | |
| 10:00 | 9,5 | 9 | 9,3 | 8,9 | 9 | 14,2 | 14,5 | 12,5 | 13,8 | 13,1 | 13,8 | 9,6 | 14,5 | 13,8 | 11,6 | 10,5 | 13,9 | 12,6 | 12,8 | 12,5 | 13 | 12,6 | 13,8 | 11,3 | 11,1 | 12,5 | 12,8 | 13,9 | 12,6 | 12,5 | | |
| 11:00 | 9,8 | 9,1 | 9,2 | 8,9 | 9,1 | 10,9 | 13,4 | 12,3 | 13,8 | 14,5 | 16 | 10 | 13,4 | 16 | 13,2 | 11,3 | 14,6 | 13,9 | 12,4 | 13,8 | 12,8 | 13,9 | 12,9 | 13,8 | 12,8 | 13 | 13,8 | 12,4 | 14,6 | 13,9 | 14,1 | |
| 12:00 | 9,2 | 9,4 | 10,1 | 9,6 | 9,4 | 10 | 12,2 | 11,2 | 9,6 | 13,4 | 16,1 | 9,8 | 12,2 | 15,2 | 15,5 | 11,7 | 15,1 | 14 | 13 | 13,8 | 12,9 | 15,7 | 12,8 | 16 | 12,9 | 13,9 | 13,8 | 13 | 15,1 | 14 | 15,1 | |
| 13:00 | 8,8 | 9,3 | 10,4 | 10,8 | 10,6 | 10,2 | 12,5 | 10,3 | 9,3 | 12,2 | 13,5 | 9,5 | 12,5 | 15,7 | 14,3 | 13,7 | 14,8 | 14,1 | 13,6 | 16 | 14 | 15,4 | 14,3 | 16,1 | 14 | 15,7 | 16 | 13,6 | 14,8 | 14,1 | 15,6 | |
| 14:00 | 9 | 9,2 | 11,7 | 10,5 | 11,9 | 10,2 | 12,3 | 9,9 | 16 | 12,2 | 12,5 | 11,8 | 9,4 | 12,3 | 14,1 | 12,2 | 14,4 | 14,4 | 13,5 | 13,9 | 16,1 | 10,6 | 16,1 | 14,4 | 13,5 | 10,6 | 15,4 | 16,1 | 13,9 | 14,4 | 13,5 | 15,1 |
| 15:00 | 9,1 | 8,8 | 11 | 12,3 | 11,6 | 10,3 | 11,2 | 9,4 | 16,1 | 12,3 | 11,6 | 9 | 11,2 | 10,6 | 12,1 | 14,2 | 13,3 | 13,8 | 12,9 | 13,5 | 11,1 | 13,5 | 14,2 | 11,8 | 11,1 | 14,4 | 13,5 | 12,9 | 13,3 | 13,8 | 13,5 | |
| 16:00 | 9,4 | 9,4 | 11,1 | 13,8 | 13,2 | 10,4 | 10,3 | 9,4 | 13,5 | 11,2 | 11,6 | 8,7 | 10,3 | 11,9 | 11,5 | 10,9 | 11,3 | 12,1 | 12,5 | 11,8 | 12,7 | 11,8 | 13,7 | 11,6 | 12,7 | 14,2 | 11,8 | 12,5 | 11,3 | 12,1 | 13,8 | |
| 17:00 | 10,6 | 10,5 | 11,7 | 13,2 | 10,5 | 10 | 9,9 | 9,2 | 11,8 | 10,3 | 11,2 | 9,2 | 9,9 | 11,6 | 13,5 | 10 | 10,9 | 11,8 | 12,8 | 11,6 | 11,9 | 11,6 | 12,7 | 11,6 | 11,9 | 13,7 | 11,6 | 12,8 | 10,9 | 11,8 | 12,1 | |
| 18:00 | 11,9 | 11,3 | 11,2 | 12,3 | 9,9 | 9,7 | 9,4 | 8,7 | 11,6 | 8,9 | 10,6 | 9,4 | 9,4 | 11,9 | 11,1 | 10,2 | 10,6 | 11,3 | 10,7 | 10 | 10,2 | 11,6 | 11,3 | 11,2 | 10,2 | 12,7 | 11,6 | 10,7 | 10,6 | 11,3 | 11,8 | |
| 19:00 | 11,6 | 11,7 | 10,3 | 12,4 | 9,9 | 9,8 | 9,4 | 8,6 | 11,6 | 9,8 | 10,4 | 8,2 | 9,4 | 11,7 | 11,1 | 10,2 | 10,6 | 9,7 | 9,7 | 9,9 | 10 | 11,2 | 10,9 | 10,6 | 10 | 11,3 | 11,2 | 9,7 | 10,6 | 11,3 | 11,3 | |
| 20:00 | 10,2 | 10,4 | 10,3 | 11,3 | 9,8 | 9,6 | 9,2 | 8,6 | 11,2 | 9,7 | 10,5 | 8,2 | 9,2 | 11,5 | 10,5 | 10,3 | 10,4 | 9,5 | 9,6 | 9,6 | 9,6 | 10,6 | 10,7 | 10,4 | 9,6 | 10,9 | 10,6 | 9,6 | 10,4 | 11,2 | 11,3 | |
| 21:00 | 9,3 | 10,3 | 9,3 | 11,2 | 9,4 | 9,5 | 8,7 | 8,7 | 10,6 | 9,1 | 9,9 | 8,3 | 8,7 | 11,2 | 9,9 | 10,4 | 10,3 | 9,5 | 9,6 | 9,8 | 10 | 10,4 | 10,3 | 10,5 | 10 | 10,7 | 10,4 | 9,6 | 10,3 | 10,2 | 11,2 | |
| 22:00 | 9,5 | 9,8 | 9,7 | 10,3 | 9 | 9,3 | 8,6 | 8,6 | 9,5 | 8,7 | 9,5 | 8,9 | 8,6 | 8,6 | 9,9 | 10 | 10,2 | 9,2 | 9,4 | 9,2 | 9,8 | 10,5 | 9,9 | 9,9 | 9,8 | 10,3 | 10,5 | 9,4 | 10,2 | 10,3 | 10,2 | |
| 23:00 | 9,2 | 9,6 | 10,2 | 9,6 | 9,1 | 9,2 | 8,6 | 8 | 9,3 | 8,8 | 9,3 | 8 | 8,6 | 10,5 | 9,5 | 9,7 | 10,1 | 8,9 | 8,9 | 8,9 | 9,5 | 9,9 | 9,6 | 8,9 | 9,5 | 9,9 | 9,9 | 8,9 | 10,1 | 10 | 10,3 | |

Datos obtenidos de Temperatura del mes de Junio para la zona Arqueológica Curiquina

Tabla 56.Datos Temperatura exterior respecto Hora-Día del mes de Junio

| HORA | 1 | 2 | 3 | 4 | 5 | 6 | 7 | 8 | 9 | 10 | 11 | 12 | 13 | 14 | 15 | 16 | 17 | 18 | 19 | 20 | 21 | 22 | 23 | 24 | 25 | 26 | 27 | 28 | 29 | 30 | |
|-------|------|------|------|------|------|------|------|------|------|------|------|------|------|------|------|------|------|------|------|------|------|------|------|------|------|------|------|------|------|------|-----|
| 0:00 | 8,7 | 9,2 | 9,5 | 9,5 | 9,8 | 9,8 | 9,6 | 9,7 | 9,2 | 9,9 | 9,5 | 9,2 | 9,9 | 9,8 | 10,2 | 10,2 | 8,9 | 9,4 | 9,2 | 9,4 | 9,2 | 8,7 | 9,2 | 9,8 | 9,2 | 9,5 | 9,7 | 9 | 8,7 | 9,8 | |
| 1:00 | 9,9 | 9,7 | 9,6 | 9,5 | 9,4 | 9,6 | 9,8 | 9,3 | 9,2 | 9,9 | 9 | 10 | 9,8 | 9,6 | 10,1 | 10,3 | 9,6 | 8,4 | 8,9 | 8,9 | 8,9 | 9,9 | 9,9 | 9,5 | 8,7 | 9,6 | 9,3 | 8,9 | 9,5 | 8,7 | |
| 2:00 | 9,6 | 9,3 | 9,8 | 9,8 | 9 | 9,2 | 9,6 | 8,8 | 9,5 | 9,4 | 9,5 | 9,5 | 10 | 8,6 | 8,7 | 8,9 | 8,6 | 9,2 | 9,6 | 9,5 | 9,4 | 8,6 | 9,8 | 9,3 | 9 | 9,6 | 9,5 | | | | |
| 3:00 | 9,8 | 9 | 9,6 | 9,2 | 9,1 | 9 | 8,8 | 9,2 | 9,3 | 9,8 | 9 | 9,5 | 9 | 9,3 | 9,6 | 9,7 | 9,4 | 8,7 | 8,8 | 8,5 | 9,2 | 9,7 | 9,3 | 9 | 8,6 | 9,6 | 9,6 | 9,2 | 8,7 | 9,8 | 8,6 |
| 4:00 | 9,3 | 8,9 | 8,8 | 8,8 | 9,4 | 8,9 | 8,9 | 9,1 | 8,4 | 9,3 | 9 | 9,8 | 9,1 | 9,2 | 9,8 | 9,3 | 9,1 | 9,2 | 8,6 | 8,5 | 9,2 | 9,1 | 9,2 | 8,7 | 8,7 | 8,8 | 9,1 | 9,2 | 9,6 | 8,2 | |
| 5:00 | 8,9 | 9 | 8,9 | 9 | 9,3 | 9 | 9 | 9 | 8,6 | 8,9 | 8,9 | 9,2 | 9,4 | 9 | 9,6 | 8,9 | 8,9 | 8,5 | 8,5 | 8,9 | 9,3 | 8,7 | 8,9 | 9,2 | 8,6 | 8,9 | 9 | 9,5 | 8,8 | 9,7 | |
| 6:00 | 9,1 | 8,7 | 9 | 9,1 | 9,2 | 8,7 | 9,3 | 9,2 | 9,5 | 9,1 | 8,9 | 8,8 | 9,3 | 8,9 | 8,8 | 9,2 | 9,2 | 8,7 | 8,5 | 8,7 | 8,4 | 8,8 | 9 | 8,7 | 8 | 9 | 9,2 | 8,4 | 8,9 | 9,0 | |
| 7:00 | 9,2 | 9,2 | 9,3 | 9,4 | 8,8 | 9,2 | 10,5 | 9,5 | 9,3 | 10,1 | 9,6 | 9 | 9,2 | 9 | 8,9 | 9,1 | 8,5 | 8,7 | 8,6 | 8,5 | 8,6 | 9,5 | 8,6 | 8,2 | 8,6 | 9,3 | 9,5 | 9,5 | 9 | 9,5 | |
| 8:00 | 9,8 | 9,5 | 10,5 | 10,6 | 9,4 | 9,5 | 11,4 | 10,1 | 9,4 | 10,4 | 10,8 | 9,1 | 8,8 | 8,7 | 9 | 9 | 8,7 | 8,3 | 8,5 | 9,2 | 8,4 | 9,3 | 8,4 | 8,2 | 8,7 | 8,2 | 9,8 | 9,2 | 9,3 | 10,3 | |
| 9:00 | 11,7 | 11 | 11,4 | 11,9 | 10,5 | 11 | 12,6 | 11,4 | 10,5 | 11,7 | 10,5 | 9,4 | 9,4 | 9,2 | 9,3 | 9,2 | 9,1 | 9,3 | 9,2 | 9,6 | 9,2 | 9,4 | 8,9 | 8,3 | 9,1 | 9,5 | 10,2 | 9,6 | 10,5 | 9,5 | |
| 10:00 | 11 | 13,9 | 12,6 | 11,6 | 11,3 | 13,9 | 13,9 | 12,5 | 11,1 | 11 | 12,3 | 10,6 | 10,5 | 9,5 | 10,5 | 9,5 | 9,4 | 10,3 | 10,7 | 8,7 | 10,2 | 10,5 | 9,8 | 8,9 | 10,4 | 9,8 | 10,3 | 11 | 11,4 | 9,6 | |
| 11:00 | 11,1 | 14,6 | 13,9 | 13,2 | 11,7 | 14,6 | 14 | 14,1 | 12,5 | 11,1 | 13,8 | 11,9 | 11,3 | 11 | 11,4 | 10,1 | 10,1 | 11,2 | 11,4 | 10,8 | 9,8 | 11,1 | 10,5 | 10,2 | 11,1 | 10,8 | 10 | 12,6 | 12,6 | 10,2 | |
| 12:00 | 11,7 | 15,1 | 14 | 15,5 | 13,7 | 15,1 | 14,1 | 15,1 | 13,8 | 11,7 | 15,2 | 11,6 | 11,7 | 13,9 | 12,6 | 11,4 | 9,9 | 11,8 | 12,8 | 13,3 | 12,8 | 12,5 | 11,5 | 11,3 | 13 | 13,3 | 13,6 | 14,6 | 13,9 | 9,8 | |
| 13:00 | 12,8 | 14,8 | 14,1 | 14,3 | 14,4 | 14,8 | 13,5 | 15,6 | 13,8 | 12,8 | 15,7 | 13,2 | 13,7 | 14,6 | 13,9 | 12,5 | 10,6 | 11,7 | 12,4 | 11,5 | 12,6 | 13,8 | 12,8 | 13,1 | 13,9 | 11,3 | 12,1 | 15,1 | 14 | 12,5 | |
| 14:00 | 12,2 | 14,4 | 13,5 | 12,2 | 14,2 | 14,4 | 13,8 | 15,1 | 16 | 12,2 | 14,1 | 15,5 | 14,4 | 15,1 | 14 | 14,1 | 11,4 | 12,8 | 13 | 12,8 | 12,9 | 13,8 | 12,9 | 14,5 | 15,7 | 15,1 | 15,6 | 14,8 | 14,1 | 12,7 | |
| 15:00 | 12,6 | 13,3 | 13,8 | 12,1 | 10,9 | 13,3 | 12,1 | 12,9 | 16,1 | 12,6 | 14 | 14,3 | 14,2 | 14,8 | 14,1 | 15,1 | 11,1 | 13,7 | 13,6 | 11,9 | 12,8 | 16 | 14 | 13,4 | 15,4 | 14,8 | 14 | 14,4 | 13,5 | 15,7 | |
| 16:00 | 14,6 | 11,3 | 12,1 | 11,5 | 10 | 11,3 | 11,8 | 12,5 | 13,5 | 14,6 | 14,5 | 12,2 | 10,9 | 14,4 | 13,5 | 15,6 | 11,1 | 13,4 | 13,9 | 11,9 | 14,3 | 16,1 | 10,6 | 12,2 | 8,9 | 14,4 | 14,1 | 13,3 | 13,8 | 13,5 | |
| 17:00 | 13,3 | 10,9 | 11,8 | 13,5 | 10,2 | 10,9 | 11,3 | 12,8 | 11,8 | 13,3 | 12,2 | 12,1 | 10 | 13,3 | 13,8 | 15,1 | 10 | 14,4 | 12,9 | 11,7 | 14,4 | 13,5 | 11,1 | 12,5 | 9 | 10,4 | 13,5 | 11,3 | 12,1 | 11,2 | |
| 18:00 | 11,9 | 10,6 | 11,3 | 11,1 | 10,2 | 10,6 | 12,3 | 10,7 | 11,6 | 11,9 | 11,9 | 11,5 | 10,2 | 11,3 | 11,2 | 11,2 | 10,3 | 11,9 | 11,3 | 10,5 | 11,2 | 10,2 | 11,7 | 10,2 | 8,7 | 10,3 | 11,2 | 10,9 | 11,8 | 10,2 | |
| 19:00 | 9,2 | 9,8 | 9,5 | 10,2 | 10,3 | 9,7 | 9,5 | 9,7 | 9,3 | 9,8 | 9,7 | 9,2 | 9,7 | 9,8 | 10,1 | 11,1 | 10,2 | 9,8 | 10,2 | 9,7 | 10,2 | 9,8 | 10,2 | 9,8 | 9,2 | 10,2 | 10,6 | 11,3 | 10,2 | | |
| 20:00 | 9,3 | 9,7 | 9,6 | 9,8 | 9,8 | 9,3 | 9,7 | 9,6 | 9,5 | 9,6 | 9,2 | 9,1 | 9,5 | 9,6 | 9,3 | 9,6 | 9,1 | 9,5 | 9,6 | 9,8 | 9,6 | 9,2 | 9,8 | 9,7 | 9,5 | 10,1 | 9,8 | 10,6 | 10,1 | 9,3 | |
| 21:00 | 9,4 | 9,5 | 9,4 | 9,9 | 9,7 | 9,6 | 9,3 | 9,6 | 9,6 | 9,5 | 9,4 | 9,3 | 9,3 | 9,3 | 9,7 | 8,5 | 8,9 | 9,7 | 9,7 | 9,9 | 9,3 | 8,2 | 9,4 | 9,9 | 9,6 | 8,6 | 9,7 | 9,5 | 10,4 | 9,2 | |
| 22:00 | 9,4 | 9,3 | 9,2 | 9,9 | 9,7 | 9,3 | 9,2 | 9,4 | 9,2 | 9,3 | 9,5 | 9,5 | 9,1 | 9,2 | 8,7 | 9,2 | 8,9 | 9,5 | 9,6 | 9,6 | 9,5 | 9,2 | 9,6 | 9,4 | 9,6 | 9,4 | 9,2 | 9,3 | 9,6 | 9,4 | |
| 23:00 | 9,8 | 8,7 | 8,8 | 9,2 | 8,9 | 9,5 | 8,9 | 8,7 | 9,2 | 9,8 | 9,9 | 9,7 | 8,6 | 8,9 | 8,7 | 9,1 | 9,5 | 9,6 | 9,8 | 8,7 | 8,6 | 8,9 | 9,4 | 9,8 | 9,2 | 9,5 | 9,1 | 9,5 | 9,8 | | |

Datos obtenidos de Radiación del mes de Abril para la zona de Cerro Guamán

Tabla 57.Datos radiación solar respecto Hora-Día del mes de Abril

| HORA | 5 | 6 | 7 | 8 | 9 | 10 | 11 | 12 | 13 | 14 | 15 | 16 | 17 | 18 | 19 | 20 | 21 | 22 | 23 | 24 | 25 | 26 | 27 | 28 | 29 | 30 |
|--------------|-------|-------|-------|-------|-------|-------|-------|-------|-------|-------|-------|-------|-------|-------|-------|-------|-------|-------|-------|-------|-------|-------|-------|-------|-------|-------|
| 0:00 | 0 | 0 | 0 | 0 | 0 | 0 | 0 | 0 | 0 | 0 | 0 | 0 | 0 | 0 | 0 | 0 | 0 | 0 | 0 | 0 | 0 | 0 | 0 | 0 | 0 | |
| 1:00 | 0 | 0 | 0 | 0 | 0 | 0 | 0 | 0 | 0 | 0 | 0 | 0 | 0 | 0 | 0 | 0 | 0 | 0 | 0 | 0 | 0 | 0 | 0 | 0 | 0 | |
| 2:00 | 0 | 0 | 0 | 0 | 0 | 0 | 0 | 0 | 0 | 0 | 0 | 0 | 0 | 0 | 0 | 0 | 0 | 0 | 0 | 0 | 0 | 0 | 0 | 0 | 0 | |
| 3:00 | 0 | 0 | 0 | 0 | 0 | 0 | 0 | 0 | 0 | 0 | 0 | 0 | 0 | 0 | 0 | 0 | 0 | 0 | 0 | 0 | 0 | 0 | 0 | 0 | 0 | |
| 4:00 | 0 | 0 | 0 | 0 | 0 | 0 | 0 | 0 | 0 | 0 | 0 | 0 | 0 | 0 | 0 | 0 | 0 | 0 | 0 | 0 | 0 | 0 | 0 | 0 | 0 | |
| 5:00 | 0 | 0 | 0 | 0 | 0 | 0 | 0 | 0 | 0 | 0 | 0 | 0 | 0 | 0 | 0 | 0 | 0 | 0 | 0 | 0 | 0 | 0 | 0 | 0 | 0 | |
| 6:00 | 23,54 | 23,95 | 22,95 | 26,55 | 10,42 | 23,54 | 22,95 | 3,535 | 13,4 | 20,16 | 24,66 | 22,28 | 18,81 | 18,81 | 24,14 | 10,17 | 22,28 | 18,81 | 24,14 | 18,81 | 19,96 | 20,16 | 24,66 | 22,28 | 18,81 | 22,28 |
| 7:00 | 156,7 | 161,6 | 145,4 | 161,5 | 102 | 156,7 | 258,2 | 55,92 | 124,2 | 123,6 | 122,5 | 22,31 | 125,4 | 124,2 | 226,7 | 47,96 | 123,7 | 22,28 | 22,31 | 124,2 | 125,4 | 123,6 | 122,5 | 123,7 | 22,28 | 22,31 |
| 8:00 | 255,9 | 224,9 | 222,8 | 173,2 | 167,8 | 255,9 | 163 | 113,5 | 242,8 | 257,1 | 275,4 | 219,5 | 113,5 | 219,5 | 109,2 | 125 | 192,3 | 47,96 | 24,14 | 219,5 | 219,5 | 257,1 | 275,4 | 192,3 | 47,96 | 24,14 |
| 9:00 | 200,8 | 352 | 144,9 | 227 | 241,6 | 200,8 | 284,9 | 437,6 | 227,4 | 882,9 | 353,2 | 316,8 | 124,2 | 316,8 | 437,6 | 381,1 | 569,9 | 124,2 | 226,7 | 316,8 | 316,8 | 882,9 | 353,2 | 569,9 | 124,2 | 226,7 |
| 10:00 | 416,3 | 243,8 | 393,6 | 318 | 346,3 | 416,3 | 198,6 | 188,5 | 310,4 | 352,2 | 679,2 | 352,2 | 455,5 | 309,7 | 188,5 | 435,3 | 191,4 | 219,5 | 109,2 | 309,7 | 352,2 | 679,2 | 191,4 | 219,5 | 309,7 | |
| 11:00 | 311,2 | 155,5 | 644,3 | 397,3 | 272,6 | 311,2 | 457,4 | 190,3 | 542,8 | 285,8 | 642,9 | 285,8 | 456,4 | 510,7 | 487,4 | 526,6 | 315,8 | 316,8 | 526,6 | 510,7 | 285,8 | 642,9 | 315,8 | 316,8 | 109,2 | |
| 12:00 | 955,7 | 130,3 | 666,9 | 470,4 | 236,3 | 955,7 | 370,6 | 275,7 | 839,8 | 607 | 791,8 | 117,8 | 823,3 | 406 | 229,7 | 117,8 | 391 | 309,7 | 117,8 | 406 | 406 | 607 | 791,8 | 391 | 309,7 | 526,6 |
| 13:00 | 266,6 | 991,9 | 788,1 | 295,3 | 220,7 | 266,6 | 437,3 | 1019 | 578,5 | 559,1 | 524,5 | 115,8 | 334,9 | 456,8 | 502,8 | 265,9 | 275,2 | 510,7 | 265,9 | 456,8 | 456,8 | 559,1 | 524,5 | 275,2 | 510,7 | 117,8 |
| 14:00 | 191 | 184,2 | 333,2 | 151,1 | 65,41 | 191 | 220,9 | 256,3 | 469,4 | 939,6 | 256 | 552,1 | 354 | 228,5 | 92,47 | 263,1 | 256 | 406 | 263,1 | 228,5 | 228,5 | 939,6 | 256 | 354 | 406 | 265,9 |
| 15:00 | 306,7 | 459,8 | 318,4 | 69,69 | 160,9 | 181,1 | 96 | 407,8 | 268,1 | 341 | 182,2 | 305,4 | 279,3 | 193,1 | 256,7 | 179,1 | 182,2 | 456,8 | 179,1 | 193,1 | 193,1 | 341 | 182,2 | 279,3 | 456,8 | 263,1 |
| 16:00 | 205 | 170,2 | 121,7 | 208,7 | 52,87 | 103,4 | 52,83 | 160,1 | 143,5 | 189,9 | 204,2 | 197,2 | 682,3 | 160,1 | 519,3 | 112,6 | 354 | 228,5 | 112,6 | 160,1 | 160,1 | 189,9 | 204,2 | 191,4 | 228,5 | 179,1 |
| 17:00 | 39,7 | 72,59 | 32,96 | 332,2 | 30,46 | 8,039 | 31,76 | 49,48 | 56,66 | 80,48 | 384,6 | 58,97 | 364,3 | 99,62 | 470,8 | 14,02 | 279,3 | 193,1 | 14,02 | 99,62 | 98,47 | 80,48 | 384,6 | 315,8 | 193,1 | 112,6 |
| 18:00 | 0 | 0 | 0 | 0 | 0 | 0 | 0 | 0 | 0 | 0 | 0 | 0 | 0 | 0 | 0 | 0 | 0 | 0 | 0 | 0 | 0 | 0 | 0 | 0 | 0 | |
| 19:00 | 0 | 0 | 0 | 0 | 0 | 0 | 0 | 0 | 0 | 0 | 0 | 0 | 0 | 0 | 0 | 0 | 0 | 0 | 0 | 0 | 0 | 0 | 0 | 0 | 0 | |
| 20:00 | 0 | 0 | 0 | 0 | 0 | 0 | 0 | 0 | 0 | 0 | 0 | 0 | 0 | 0 | 0 | 0 | 0 | 0 | 0 | 0 | 0 | 0 | 0 | 0 | 0 | |
| 21:00 | 0 | 0 | 0 | 0 | 0 | 0 | 0 | 0 | 0 | 0 | 0 | 0 | 0 | 0 | 0 | 0 | 0 | 0 | 0 | 0 | 0 | 0 | 0 | 0 | 0 | |
| 22:00 | 0 | 0 | 0 | 0 | 0 | 0 | 0 | 0 | 0 | 0 | 0 | 0 | 0 | 0 | 0 | 0 | 0 | 0 | 0 | 0 | 0 | 0 | 0 | 0 | 0 | |
| 23:00 | 0 | 0 | 0 | 0 | 0 | 0 | 0 | 0 | 0 | 0 | 0 | 0 | 0 | 0 | 0 | 0 | 0 | 0 | 0 | 0 | 0 | 0 | 0 | 0 | 0 | |

Datos obtenidos de Radiación del mes de Mayo para la zona de Cerro Guamán

Tabla 58.Datos radiación solar respecto Hora-Día del mes de Mayo

| HORA | 1 | 2 | 3 | 4 | 5 | 6 | 7 | 8 | 9 | 10 | 11 | 12 | 13 | 14 | 15 | 16 | 17 | 18 | 19 | 20 | 21 | 22 | 23 | 24 | 25 | 26 | 27 | 28 | 29 | 30 | 31 |
|-------|-------|-------|-------|-------|-------|-------|-------|-------|-------|-------|-------|-------|-------|-------|-------|-------|-------|-------|-------|-------|-------|-------|-------|-------|-------|-------|-------|-------|-------|-------|-------|
| 0:00 | 0 | 0 | 0 | 0 | 0 | 0 | 0 | 0 | 0 | 0 | 0 | 0 | 0 | 0 | 0 | 0 | 0 | 0 | 0 | 0 | 0 | 0 | 0 | 0 | 0 | 0 | 0 | 0 | 0 | 0 | |
| 1:00 | 0 | 0 | 0 | 0 | 0 | 0 | 0 | 0 | 0 | 0 | 0 | 0 | 0 | 0 | 0 | 0 | 0 | 0 | 0 | 0 | 0 | 0 | 0 | 0 | 0 | 0 | 0 | 0 | 0 | 0 | |
| 2:00 | 0 | 0 | 0 | 0 | 0 | 0 | 0 | 0 | 0 | 0 | 0 | 0 | 0 | 0 | 0 | 0 | 0 | 0 | 0 | 0 | 0 | 0 | 0 | 0 | 0 | 0 | 0 | 0 | 0 | 0 | |
| 3:00 | 0 | 0 | 0 | 0 | 0 | 0 | 0 | 0 | 0 | 0 | 0 | 0 | 0 | 0 | 0 | 0 | 0 | 0 | 0 | 0 | 0 | 0 | 0 | 0 | 0 | 0 | 0 | 0 | 0 | 0 | |
| 4:00 | 0 | 0 | 0 | 0 | 0 | 0 | 0 | 0 | 0 | 0 | 0 | 0 | 0 | 0 | 0 | 0 | 0 | 0 | 0 | 0 | 0 | 0 | 0 | 0 | 0 | 0 | 0 | 0 | 0 | 0 | |
| 5:00 | 0 | 0 | 0 | 0 | 0 | 0 | 0 | 0 | 0 | 0 | 0 | 0 | 0 | 0 | 0 | 0 | 0 | 0 | 0 | 0 | 0 | 0 | 0 | 0 | 0 | 0 | 0 | 0 | 0 | 0 | |
| 6:00 | 23,54 | 23,95 | 22,95 | 26,55 | 10,42 | 23,54 | 22,95 | 3,535 | 13,4 | 20,16 | 24,66 | 22,28 | 18,81 | 18,81 | 24,14 | 10,17 | 22,28 | 18,81 | 24,14 | 18,81 | 19,96 | 20,16 | 24,66 | 22,28 | 18,81 | 22,28 | 18,81 | 19,96 | 20,16 | 24,66 | 22,28 |
| 7:00 | 18,81 | 19,96 | 20,16 | 24,66 | 124,2 | 226,7 | 47,96 | 123,7 | 156,7 | 22,43 | 122,5 | 124,2 | 125,4 | 47,96 | 125,4 | 123,6 | 24,66 | 124,2 | 226,7 | 47,96 | 123,7 | 47,96 | 22,31 | 124,2 | 19,96 | 123,7 | 22,31 | 124,2 | 125,4 | 123,6 | 122,5 |
| 8:00 | 124,2 | 125,4 | 123,6 | 122,5 | 219,5 | 109,2 | 125 | 192,3 | 255,9 | 258,2 | 275,4 | 219,5 | 219,5 | 125 | 19,96 | 257,1 | 122,5 | 219,5 | 109,2 | 125 | 192,3 | 125 | 24,14 | 219,5 | 125,4 | 24,14 | 219,5 | 219,5 | 257,1 | 275,4 | |
| 9:00 | 219,5 | 219,5 | 257,1 | 275,4 | 316,8 | 184,7 | 381,1 | 569,9 | 200,8 | 163 | 353,2 | 316,8 | 316,8 | 381,1 | 125,4 | 882,9 | 275,4 | 316,8 | 184,7 | 381,1 | 569,9 | 381,1 | 226,7 | 316,8 | 219,5 | 124,2 | 226,7 | 316,8 | 316,8 | 882,9 | 353,2 |
| 10:00 | 316,8 | 316,8 | 882,9 | 353,2 | 309,7 | 196,1 | 435,3 | 191,4 | 416,3 | 284,9 | 679,2 | 309,7 | 309,7 | 435,3 | 219,5 | 352,2 | 353,2 | 309,7 | 196,1 | 435,3 | 191,4 | 435,3 | 109,2 | 309,7 | 316,8 | 219,5 | 109,2 | 309,7 | 352,2 | 679,2 | |
| 11:00 | 309,7 | 309,7 | 352,2 | 679,2 | 510,7 | 487,4 | 526,6 | 315,8 | 311,2 | 198,6 | 642,9 | 510,7 | 510,7 | 526,6 | 316,8 | 285,8 | 679,2 | 510,7 | 487,4 | 526,6 | 315,8 | 526,6 | 526,6 | 510,7 | 309,7 | 316,8 | 526,6 | 510,7 | 510,7 | 285,8 | 642,9 |
| 12:00 | 510,7 | 510,7 | 285,8 | 642,9 | 406 | 229,7 | 117,8 | 391 | 285,8 | 457,4 | 791,8 | 406 | 406 | 117,8 | 309,7 | 607 | 642,9 | 406 | 229,7 | 117,8 | 391 | 117,8 | 117,8 | 406 | 510,7 | 309,7 | 117,8 | 406 | 406 | 607 | 791,8 |
| 13:00 | 406 | 406 | 607 | 791,8 | 456,8 | 502,8 | 265,9 | 275,2 | 559,1 | 370,6 | 524,5 | 456,8 | 456,8 | 265,9 | 510,7 | 559,1 | 791,8 | 456,8 | 502,8 | 265,9 | 275,2 | 265,9 | 265,9 | 456,8 | 406 | 510,7 | 265,9 | 456,8 | 456,8 | 559,1 | 524,5 |
| 14:00 | 456,8 | 456,8 | 559,1 | 524,5 | 228,5 | 92,47 | 263,1 | 354 | 955,7 | 437,3 | 256 | 228,5 | 228,5 | 456,8 | 406 | 939,6 | 524,5 | 228,5 | 92,47 | 263,1 | 354 | 263,1 | 263,1 | 0 | 456,8 | 406 | 263,1 | 228,5 | 228,5 | 939,6 | 256 |
| 15:00 | 228,5 | 228,5 | 939,6 | 256 | 193,1 | 256,7 | 179,1 | 279,3 | 266,6 | 220,9 | 182,2 | 193,1 | 193,1 | 228,5 | 456,8 | 341 | 256 | 193,1 | 256,7 | 179,1 | 279,3 | 179,1 | 179,1 | 228,5 | 228,5 | 456,8 | 179,1 | 193,1 | 193,1 | 341 | 182,2 |
| 16:00 | 193,1 | 193,1 | 341 | 182,2 | 160,1 | 519,3 | 112,6 | 205 | 191 | 96 | 204,2 | 160,1 | 160,1 | 193,1 | 228,5 | 189,9 | 182,2 | 160,1 | 519,3 | 112,6 | 519,3 | 112,6 | 112,6 | 193,1 | 193,1 | 228,5 | 112,6 | 160,1 | 160,1 | 189,9 | 204,2 |
| 17:00 | 160,1 | 160,1 | 189,9 | 204,2 | 99,62 | 470,8 | 14,02 | 39,7 | 181,1 | 52,83 | 384,6 | 99,62 | 98,47 | 160,1 | 193,1 | 80,48 | 204,2 | 99,62 | 470,8 | 14,02 | 470,8 | 14,02 | 14,02 | 160,1 | 193,1 | 14,02 | 99,62 | 98,47 | 80,48 | 184,6 | |
| 18:00 | 0 | 0 | 0 | 0 | 0 | 0 | 0 | 0 | 0 | 0 | 0 | 0 | 0 | 0 | 0 | 0 | 0 | 0 | 0 | 0 | 0 | 0 | 0 | 0 | 0 | 0 | 0 | 0 | 0 | 0 | |
| 19:00 | 0 | 0 | 0 | 0 | 0 | 0 | 0 | 0 | 0 | 0 | 0 | 0 | 0 | 0 | 0 | 0 | 0 | 0 | 0 | 0 | 0 | 0 | 0 | 0 | 0 | 0 | 0 | 0 | 0 | 0 | |
| 20:00 | 0 | 0 | 0 | 0 | 0 | 0 | 0 | 0 | 0 | 0 | 0 | 0 | 0 | 0 | 0 | 0 | 0 | 0 | 0 | 0 | 0 | 0 | 0 | 0 | 0 | 0 | 0 | 0 | 0 | 0 | |
| 21:00 | 0 | 0 | 0 | 0 | 0 | 0 | 0 | 0 | 0 | 0 | 0 | 0 | 0 | 0 | 0 | 0 | 0 | 0 | 0 | 0 | 0 | 0 | 0 | 0 | 0 | 0 | 0 | 0 | 0 | 0 | |
| 22:00 | 0 | 0 | 0 | 0 | 0 | 0 | 0 | 0 | 0 | 0 | 0 | 0 | 0 | 0 | 0 | 0 | 0 | 0 | 0 | 0 | 0 | 0 | 0 | 0 | 0 | 0 | 0 | 0 | 0 | 0 | |
| 23:00 | 0 | 0 | 0 | 0 | 0 | 0 | 0 | 0 | 0 | 0 | 0 | 0 | 0 | 0 | 0 | 0 | 0 | 0 | 0 | 0 | 0 | 0 | 0 | 0 | 0 | 0 | 0 | 0 | 0 | 0 | |

Datos obtenidos de Radiación del mes de Junio para la zona de Cerro Guamán

Tabla 59.Datos radiación solar respecto Hora-Día del mes de Junio

| HORA | 1 | 2 | 3 | 4 | 5 | 6 | 7 | 8 | 9 | 10 | 11 | 12 | 13 | 14 | 15 | 16 | 17 | 18 | 19 | 20 | 21 | 22 | 23 | 24 | 25 | 26 | 27 | 28 | 29 | 30 |
|-------|-------|-------|-------|-------|-------|-------|-------|-------|-------|-------|-------|-------|-------|-------|-------|-------|-------|-------|-------|-------|-------|-------|-------|-------|-------|-------|-------|-------|-------|-------|
| 0:00 | 0 | 0 | 0 | 0 | 0 | 0 | 0 | 0 | 0 | 0 | 0 | 0 | 0 | 0 | 0 | 0 | 0 | 0 | 0 | 0 | 0 | 0 | 0 | 0 | 0 | 0 | 0 | 0 | 0 | 0 |
| 1:00 | 0 | 0 | 0 | 0 | 0 | 0 | 0 | 0 | 0 | 0 | 0 | 0 | 0 | 0 | 0 | 0 | 0 | 0 | 0 | 0 | 0 | 0 | 0 | 0 | 0 | 0 | 0 | 0 | 0 | 0 |
| 2:00 | 0 | 0 | 0 | 0 | 0 | 0 | 0 | 0 | 0 | 0 | 0 | 0 | 0 | 0 | 0 | 0 | 0 | 0 | 0 | 0 | 0 | 0 | 0 | 0 | 0 | 0 | 0 | 0 | 0 | 0 |
| 3:00 | 0 | 0 | 0 | 0 | 0 | 0 | 0 | 0 | 0 | 0 | 0 | 0 | 0 | 0 | 0 | 0 | 0 | 0 | 0 | 0 | 0 | 0 | 0 | 0 | 0 | 0 | 0 | 0 | 0 | 0 |
| 4:00 | 0 | 0 | 0 | 0 | 0 | 0 | 0 | 0 | 0 | 0 | 0 | 0 | 0 | 0 | 0 | 0 | 0 | 0 | 0 | 0 | 0 | 0 | 0 | 0 | 0 | 0 | 0 | 0 | 0 | 0 |
| 5:00 | 0 | 0 | 0 | 0 | 0 | 0 | 0 | 0 | 0 | 0 | 0 | 0 | 0 | 0 | 0 | 0 | 0 | 0 | 0 | 0 | 0 | 0 | 0 | 0 | 0 | 0 | 0 | 0 | 0 | 0 |
| 6:00 | 23,95 | 23,54 | 28,18 | 18,81 | 17,71 | 18,92 | 24,14 | 10,17 | 22,28 | 20,16 | 24,66 | 19,21 | 23,92 | 27,03 | 14,26 | 17,14 | 14,72 | 14,61 | 18,06 | 29,67 | 17,94 | 23,69 | 29,56 | 28,41 | 27,37 | 14,61 | 18,17 | 9,89 | 14,84 | 14,15 |
| 7:00 | 161,6 | 156,7 | 163 | 22,28 | 19,96 | 124,2 | 226,7 | 47,96 | 123,7 | 123,6 | 122,5 | 20,13 | 92,69 | 17,71 | 14,38 | 17,48 | 17,48 | 18,17 | 24,66 | 102 | 156,7 | 163 | 217,9 | 217 | 144,4 | 133,8 | 139,1 | 129 | 133,8 | 18,17 |
| 8:00 | 224,9 | 255,9 | 284,9 | 47,96 | 125,4 | 219,5 | 109,2 | 125 | 192,3 | 257,1 | 275,4 | 22,28 | 96,03 | 18,17 | 18,81 | 17,94 | 18,86 | 122,5 | 167,8 | 255,9 | 284,9 | 161,5 | 167,8 | 122,5 | 124,2 | 226,7 | 192,3 | 22,28 | 22,31 | |
| 9:00 | 352 | 200,8 | 198,6 | 124,2 | 219,5 | 316,8 | 184,7 | 381,1 | 569,9 | 882,9 | 353,2 | 123,7 | 104,1 | 22,31 | 124,2 | 19,96 | 20,16 | 24,66 | 275,4 | 241,6 | 200,8 | 198,6 | 173,2 | 241,6 | 275,4 | 219,5 | 109,2 | 191,4 | 47,96 | 139,1 |
| 10:00 | 243,8 | 416,3 | 457,4 | 219,5 | 316,8 | 309,7 | 196,1 | 435,3 | 191,4 | 352,2 | 679,2 | 192,3 | 115,3 | 24,14 | 219,5 | 125,4 | 123,6 | 122,5 | 353,2 | 346,3 | 416,3 | 457,4 | 227 | 346,3 | 353,2 | 316,8 | 117,8 | 315,8 | 124,2 | 226,7 |
| 11:00 | 155,5 | 311,2 | 370,6 | 316,8 | 309,7 | 510,7 | 487,4 | 526,6 | 315,8 | 285,8 | 642,9 | 569,9 | 124,2 | 226,7 | 316,8 | 219,5 | 257,1 | 275,4 | 679,2 | 272,6 | 311,2 | 370,6 | 318 | 272,6 | 679,2 | 309,7 | 265,9 | 391 | 219,5 | 109,2 |
| 12:00 | 130,3 | 955,7 | 437,3 | 309,7 | 510,7 | 406 | 229,7 | 117,8 | 391 | 607 | 791,8 | 191,4 | 219,5 | 109,2 | 309,7 | 316,8 | 882,9 | 353,2 | 642,9 | 236,3 | 955,7 | 437,3 | 397,3 | 236,3 | 642,9 | 510,7 | 263,1 | 275,2 | 316,8 | 526,6 |
| 13:00 | 991,9 | 266,6 | 220,9 | 510,7 | 406 | 456,8 | 502,8 | 265,9 | 275,2 | 559,1 | 524,5 | 315,8 | 316,8 | 526,6 | 510,7 | 309,7 | 352,2 | 679,2 | 791,8 | 220,7 | 266,6 | 220,9 | 470,4 | 220,7 | 791,8 | 406 | 179,1 | 354 | 309,7 | 117,8 |
| 14:00 | 184,2 | 191 | 96 | 406 | 456,8 | 228,5 | 92,47 | 263,1 | 354 | 939,6 | 256 | 391 | 309,7 | 117,8 | 406 | 510,7 | 285,8 | 642,9 | 524,5 | 65,41 | 191 | 940,1 | 295,3 | 65,41 | 524,5 | 456,8 | 112,6 | 279,3 | 510,7 | 265,9 |
| 15:00 | 459,8 | 181,1 | 52,83 | 456,8 | 228,5 | 193,1 | 256,7 | 179,1 | 279,3 | 341 | 182,2 | 275,2 | 510,7 | 265,9 | 456,8 | 406 | 607 | 791,8 | 256 | 160,9 | 181,1 | 167,8 | 151,1 | 160,9 | 256 | 228,5 | 138,2 | 228,5 | 406 | 263,1 |
| 16:00 | 170,2 | 103,4 | 31,76 | 228,5 | 193,1 | 160,1 | 519,3 | 112,6 | 160,1 | 189,9 | 173,2 | 354 | 406 | 263,1 | 228,5 | 456,8 | 559,1 | 524,5 | 182,2 | 167,9 | 113,8 | 146,8 | 69,69 | 167,9 | 182,2 | 193,1 | 138,6 | 193,1 | 226,8 | 179,1 |
| 17:00 | 23,75 | 80,39 | 14,26 | 29,67 | 25,88 | 99,62 | 29,1 | 14,02 | 98,47 | 80,48 | 30,71 | 18,06 | 29,67 | 41,17 | 52,56 | 53,71 | 30,48 | 30,36 | 19,32 | 30,46 | 80,39 | 18,06 | 21,74 | 30,46 | 14,38 | 14,49 | 23,69 | 29,44 | 17,94 | 112,6 |
| 18:00 | 0 | 0 | 0 | 0 | 0 | 0 | 0 | 0 | 0 | 0 | 0 | 0 | 0 | 0 | 0 | 0 | 0 | 0 | 0 | 0 | 0 | 0 | 0 | 0 | 0 | 0 | 0 | 0 | 0 | 0 |
| 19:00 | 0 | 0 | 0 | 0 | 0 | 0 | 0 | 0 | 0 | 0 | 0 | 0 | 0 | 0 | 0 | 0 | 0 | 0 | 0 | 0 | 0 | 0 | 0 | 0 | 0 | 0 | 0 | 0 | 0 | 0 |
| 20:00 | 0 | 0 | 0 | 0 | 0 | 0 | 0 | 0 | 0 | 0 | 0 | 0 | 0 | 0 | 0 | 0 | 0 | 0 | 0 | 0 | 0 | 0 | 0 | 0 | 0 | 0 | 0 | 0 | 0 | 0 |
| 21:00 | 0 | 0 | 0 | 0 | 0 | 0 | 0 | 0 | 0 | 0 | 0 | 0 | 0 | 0 | 0 | 0 | 0 | 0 | 0 | 0 | 0 | 0 | 0 | 0 | 0 | 0 | 0 | 0 | 0 | 0 |
| 22:00 | 0 | 0 | 0 | 0 | 0 | 0 | 0 | 0 | 0 | 0 | 0 | 0 | 0 | 0 | 0 | 0 | 0 | 0 | 0 | 0 | 0 | 0 | 0 | 0 | 0 | 0 | 0 | 0 | 0 | 0 |
| 23:00 | 0 | 0 | 0 | 0 | 0 | 0 | 0 | 0 | 0 | 0 | 0 | 0 | 0 | 0 | 0 | 0 | 0 | 0 | 0 | 0 | 0 | 0 | 0 | 0 | 0 | 0 | 0 | 0 | 0 | 0 |

Datos obtenidos de Velocidad de viento del mes de Abril para la zona de Cerro Guamán

Tabla 60. Datos Velocidad de viento respecto Hora-Día del mes de Abril

| HORA | 5 | 6 | 7 | 8 | 9 | 10 | 11 | 12 | 13 | 14 | 15 | 16 | 17 | 18 | 19 | 20 | 21 | 22 | 23 | 24 | 25 | 26 | 27 | 28 | 29 | 30 | |
|-------|------|------|------|------|------|------|------|------|------|------|------|------|------|------|------|------|------|------|------|------|------|------|------|------|------|------|------|
| 0,00 | 0,51 | 0,94 | 0,00 | 2,55 | 0,00 | 0,00 | 1,62 | 1,36 | 1,28 | 1,70 | 1,96 | 1,11 | 0,00 | 0,00 | 0,51 | 0,09 | 0,43 | 1,96 | 1,11 | 0,00 | 0,09 | 1,53 | 7,48 | 1,36 | 1,36 | 1,11 | |
| 1,00 | 0,34 | 0,00 | 0,00 | 0,00 | 0,51 | 0,00 | 0,34 | 1,53 | 0,51 | 2,13 | 0,00 | 1,36 | 2,13 | 0,17 | 0,00 | 0,51 | 0,00 | 0,00 | 1,36 | 0,00 | 1,87 | 3,32 | 3,91 | 1,53 | 1,53 | 1,36 | |
| 2,00 | 1,70 | 1,96 | 0,00 | 0,00 | 3,06 | 0,00 | 0,00 | 1,28 | 1,02 | 0,68 | 0,00 | 1,70 | 0,00 | 0,00 | 0,00 | 0,68 | 0,51 | 0,00 | 1,70 | 0,00 | 1,28 | 4,59 | 1,28 | 1,28 | 1,28 | 1,70 | |
| 3,00 | 0,17 | 0,68 | 0,51 | 0,00 | 0,00 | 0,00 | 0,00 | 0,68 | 0,17 | 1,36 | 0,94 | 0,00 | 1,53 | 1,11 | 0,00 | 0,68 | 0,09 | 0,94 | 0,00 | 0,51 | 3,66 | 3,40 | 1,62 | 0,68 | 1,53 | 0,00 | |
| 4,00 | 1,02 | 0,77 | 0,00 | 0,00 | 0,00 | 0,00 | 2,13 | 0,00 | 0,51 | 0,68 | 0,00 | 0,00 | 0,68 | 0,09 | 0,34 | 0,51 | 0,94 | 0,00 | 0,00 | 0,00 | 0,34 | 3,15 | 6,29 | 0,00 | 0,00 | 0,00 | |
| 5,00 | 1,02 | 0,94 | 0,94 | 0,00 | 0,00 | 1,96 | 0,17 | 0,00 | 1,02 | 1,28 | 0,68 | 1,11 | 0,00 | 0,94 | 0,34 | 0,00 | 1,28 | 0,68 | 1,11 | 0,94 | 2,89 | 1,28 | 4,68 | 0,00 | 0,00 | 1,11 | |
| 6,00 | 0,43 | 0,77 | 1,70 | 0,00 | 0,00 | 0,00 | 0,43 | 0,77 | 1,53 | 0,77 | 0,00 | 0,43 | 1,70 | 0,00 | 0,00 | 0,77 | 0,68 | 0,00 | 0,77 | 1,70 | 2,13 | 1,87 | 2,72 | 0,77 | 0,77 | 1,53 | |
| 7,00 | 1,28 | 0,51 | 0,00 | 0,00 | 0,00 | 2,55 | 0,00 | 0,00 | 0,43 | 0,43 | 0,43 | 0,68 | 1,28 | 0,68 | 0,00 | 0,00 | 0,51 | 0,68 | 0,68 | 0,51 | 0,00 | 1,28 | 0,00 | 2,47 | 0,00 | 0,00 | 0,68 |
| 8,00 | 0,51 | 3,06 | 0,00 | 0,00 | 0,00 | 1,28 | 0,00 | 1,11 | 0,51 | 0,00 | 0,17 | 0,51 | 0,17 | 0,00 | 0,00 | 0,00 | 0,68 | 0,17 | 3,06 | 0,00 | 4,51 | 1,11 | 1,96 | 1,11 | 1,11 | 0,51 | |
| 9,00 | 1,53 | 2,30 | 1,28 | 0,00 | 1,87 | 0,00 | 1,11 | 1,62 | 0,43 | 2,21 | 1,53 | 1,28 | 1,28 | 2,30 | 2,21 | 0,34 | 0,43 | 1,53 | 2,30 | 1,28 | 3,91 | 2,89 | 1,96 | 1,62 | 1,62 | 0,43 | |
| 10,00 | 0,94 | 1,70 | 0,00 | 1,70 | 1,02 | 1,70 | 0,00 | 0,94 | 3,32 | 3,40 | 1,53 | 1,28 | 2,55 | 0,51 | 0,94 | 1,36 | 0,77 | 1,53 | 1,70 | 0,00 | 0,00 | 0,00 | 0,09 | 0,94 | 0,94 | 0,77 | 0,77 |
| 11,00 | 1,96 | 2,21 | 0,00 | 2,55 | 2,13 | 1,53 | 0,34 | 1,36 | 1,11 | 4,08 | 1,96 | 1,96 | 3,66 | 1,70 | 2,21 | 0,34 | 0,00 | 1,96 | 2,21 | 3,49 | 0,00 | 0,51 | 3,49 | 1,36 | 1,36 | 3,32 | |
| 12,00 | 1,28 | 0,00 | 3,06 | 0,00 | 1,02 | 1,28 | 1,28 | 2,47 | 3,66 | 7,48 | 0,09 | 1,28 | 2,47 | 0,09 | 1,53 | 2,81 | 1,53 | 0,09 | 0,00 | 1,96 | 1,11 | 0,00 | 1,96 | 2,47 | 2,47 | 1,11 | |
| 13,00 | 1,96 | 0,34 | 1,28 | 0,00 | 2,21 | 5,53 | 1,96 | 4,85 | 1,70 | 3,91 | 1,87 | 4,85 | 2,55 | 1,53 | 2,81 | 0,43 | 0,00 | 1,87 | 0,34 | 0,00 | 1,36 | 0,00 | 0,00 | 4,85 | 4,85 | 3,66 | |
| 14,00 | 1,70 | 7,57 | 2,72 | 2,13 | 1,02 | 6,29 | 2,47 | 4,00 | 7,91 | 1,28 | 1,28 | 8,08 | 1,70 | 3,32 | 0,17 | 2,72 | 2,13 | 1,28 | 7,57 | 0,00 | 1,70 | 0,00 | 0,00 | 4,00 | 4,00 | 1,70 | |
| 15,00 | 6,29 | 0,77 | 4,00 | 1,36 | 3,32 | 0,00 | 3,66 | 4,51 | 6,04 | 1,62 | 3,66 | 4,93 | 2,47 | 4,59 | 1,70 | 1,96 | 2,72 | 3,66 | 0,77 | 0,94 | 0,00 | 0,34 | 0,94 | 4,51 | 4,51 | 7,91 | |
| 16,00 | 4,25 | 2,89 | 3,40 | 0,94 | 0,00 | 1,96 | 1,53 | 2,13 | 3,15 | 6,29 | 0,34 | 4,34 | 1,11 | 3,40 | 2,47 | 0,00 | 6,29 | 0,34 | 2,89 | 0,00 | 0,00 | 0,34 | 0,00 | 2,47 | 2,47 | 6,04 | |
| 17,00 | 4,34 | 0,68 | 1,70 | 0,00 | 2,13 | 0,00 | 1,96 | 4,93 | 2,47 | 4,68 | 2,89 | 0,51 | 3,49 | 3,15 | 4,08 | 3,06 | 4,68 | 2,89 | 0,68 | 0,68 | 1,11 | 0,00 | 0,68 | 4,08 | 4,08 | 3,15 | |
| 18,00 | 1,36 | 4,93 | 1,96 | 0,00 | 2,30 | 1,28 | 3,91 | 1,96 | 4,59 | 2,72 | 2,13 | 0,43 | 3,40 | 1,28 | 2,30 | 2,72 | 2,13 | 4,93 | 0,00 | 0,00 | 0,00 | 0,00 | 2,30 | 2,30 | 2,47 | | |
| 19,00 | 3,15 | 2,89 | 2,81 | 1,36 | 4,00 | 0,00 | 2,30 | 1,79 | 4,34 | 2,47 | 1,28 | 0,43 | 4,59 | 1,87 | 2,30 | 0,77 | 2,47 | 1,28 | 2,89 | 0,68 | 0,00 | 0,00 | 0,68 | 2,30 | 2,30 | 4,59 | |
| 20,00 | 1,11 | 3,15 | 2,89 | 0,00 | 1,02 | 0,00 | 0,68 | 1,02 | 2,81 | 1,96 | 4,51 | 0,68 | 0,77 | 0,00 | 0,00 | 0,34 | 1,96 | 4,51 | 3,15 | 0,17 | 2,30 | 0,00 | 1,96 | 0,00 | 0,00 | 4,34 | |
| 21,00 | 4,59 | 3,32 | 2,21 | 0,00 | 0,00 | 0,00 | 2,47 | 1,28 | 2,13 | 1,96 | 3,91 | 1,28 | 1,87 | 1,11 | 1,53 | 1,70 | 1,96 | 3,91 | 3,32 | 1,53 | 0,51 | 2,21 | 2,47 | 1,53 | 1,53 | 2,81 | |
| 22,00 | 2,89 | 0,00 | 1,96 | 0,00 | 0,00 | 0,00 | 1,62 | 1,11 | 1,79 | 0,09 | 0,00 | 1,53 | 3,32 | 2,89 | 2,47 | 1,70 | 0,09 | 0,00 | 0,00 | 1,53 | 1,70 | 3,40 | 1,62 | 2,47 | 2,47 | 3,32 | |
| 23,00 | 0,77 | 1,53 | 0,00 | 0,94 | 0,94 | 0,00 | 1,62 | 1,02 | 1,28 | 3,49 | 0,00 | 2,55 | 0,00 | 0,00 | 0,00 | 1,28 | 3,49 | 0,00 | 1,53 | 1,96 | 0,09 | 4,08 | 1,62 | 0,00 | 0,00 | 0,00 | |

Datos obtenidos de Velocidad de viento del mes de Mayo para la zona de Cerro Guamán

Tabla 61.Datos Velocidad de viento respecto Hora-Día del mes de Mayo

| HORA | 1 | 2 | 3 | 4 | 5 | 6 | 7 | 8 | 9 | 10 | 11 | 12 | 13 | 14 | 15 | 16 | 17 | 18 | 19 | 20 | 21 | 22 | 23 | 24 | 25 | 26 | 27 | 28 | 29 | 30 | 31 |
|-------|-------|-------|-------|-------|-------|------|------|------|------|------|------|------|------|------|------|------|------|------|------|------|------|------|------|------|------|------|------|------|------|------|------|
| 0,00 | 0 | 0,51 | 1,53 | 0 | 0 | 0,43 | 0,51 | 0,94 | 1,11 | 1,28 | 0,43 | 0,94 | 0,00 | 1,87 | 0,00 | 0,00 | 1,02 | 0,00 | 2,47 | 1,96 | 1,11 | 0,00 | 0,00 | 1,70 | 0,00 | 1,87 | 1,53 | 1,11 | 1,36 | 0,09 | 1,11 |
| 1,00 | 0,17 | 0 | 3,315 | 1,105 | 0 | 0,00 | 0,09 | 0,00 | 1,36 | 1,87 | 0,00 | 0,00 | 1,11 | 0,00 | 2,55 | 0,94 | 0,00 | 0,00 | 1,62 | 0,00 | 1,36 | 0,51 | 0,94 | 0,00 | 0,00 | 1,28 | 3,32 | 3,91 | 1,53 | 0,51 | 1,36 |
| 2,00 | 0 | 0 | 4,59 | 0,085 | 0,34 | 0,51 | 0,94 | 0,00 | 1,70 | 0,00 | 0,51 | 0,00 | 1,36 | 1,11 | 0,00 | 0,51 | 0,00 | 0,00 | 1,62 | 0,00 | 1,70 | 0,00 | 0,00 | 0,00 | 0,51 | 3,66 | 4,59 | 1,28 | 1,28 | 0,68 | 1,70 |
| 3,00 | 1,105 | 0 | 3,4 | 0,935 | 0,34 | 0,09 | 0,51 | 0,94 | 3,40 | 1,11 | 0,09 | 0,34 | 1,70 | 2,89 | 0,00 | 0,00 | 0,94 | 0,00 | 1,36 | 0,94 | 0,00 | 0,00 | 0,68 | 1,11 | 0,00 | 0,34 | 3,40 | 1,62 | 0,94 | 0,94 | 0,00 |
| 4,00 | 0,085 | 0,34 | 3,145 | 0 | 0 | 0,94 | 0,00 | 0,00 | 3,15 | 2,89 | 0,94 | 0,94 | 3,40 | 0,00 | 0,00 | 0,94 | 0,00 | 1,62 | 1,53 | 0,00 | 0,00 | 0,00 | 0,00 | 0,77 | 0,94 | 2,89 | 3,15 | 6,29 | 0,00 | 0,00 | 0,00 |
| 5,00 | 0,935 | 0,34 | 1,275 | 0 | 0 | 0,51 | 0,34 | 0,68 | 1,28 | 0,00 | 1,96 | 0,00 | 3,15 | 0,51 | 0,00 | 0,51 | 0,00 | 0,34 | 1,28 | 0,68 | 1,11 | 0,34 | 0,68 | 0,51 | 1,70 | 2,13 | 1,28 | 4,68 | 0,00 | 0,68 | 1,11 |
| 6,00 | 0 | 0 | 1,87 | 0 | 0 | 0,00 | 1,36 | 0,00 | 1,87 | 0,51 | 0,00 | 0,68 | 1,28 | 0,00 | 0,00 | 3,06 | 0,00 | 0,00 | 0,77 | 0,00 | 0,94 | 0,34 | 0,17 | 3,06 | 0,00 | 1,28 | 1,87 | 2,72 | 0,77 | 0,00 | 1,53 |
| 7,00 | 0 | 0 | 0 | 2,295 | 0,51 | 0,34 | 0,34 | 0,68 | 0,00 | 0,00 | 3,06 | 0,00 | 1,87 | 0,00 | 0,00 | 0,00 | 0,00 | 0,00 | 0,43 | 0,68 | 0,00 | 0,00 | 1,53 | 2,30 | 0,00 | 0,43 | 0,00 | 2,47 | 0,00 | 0,68 | 0,68 |
| 8,00 | 0 | 0 | 1,105 | 0,51 | 0 | 1,36 | 2,81 | 0,17 | 1,11 | 0,00 | 2,30 | 0,68 | 0,00 | 0,00 | 0,00 | 0,00 | 2,13 | 0,00 | 0,17 | 0,00 | 0,00 | 1,53 | 1,70 | 1,28 | 4,51 | 1,11 | 1,96 | 1,11 | 0,17 | 0,51 | |
| 9,00 | 2,295 | 3,315 | 2,89 | 1,7 | 0,34 | 0,34 | 0,43 | 1,53 | 2,89 | 0,00 | 0,77 | 0,17 | 1,11 | 0,34 | 0,00 | 0,00 | 1,96 | 0,17 | 2,21 | 1,53 | 0,00 | 0,00 | 1,96 | 2,21 | 0,00 | 3,91 | 2,89 | 1,96 | 1,62 | 1,53 | 0,43 |
| 10,00 | 0,51 | 0 | 0 | 0,085 | 1,36 | 2,81 | 2,72 | 1,53 | 0,00 | 0,34 | 0,34 | 1,53 | 2,89 | 0,34 | 0,00 | 0,00 | 0,00 | 3,40 | 1,53 | 2,30 | 0,77 | 0,09 | 0,00 | 3,49 | 0,00 | 0,00 | 0,09 | 0,94 | 1,53 | 3,32 | |
| 11,00 | 1,7 | 0 | 0,51 | 1,53 | 0,34 | 0,43 | 1,96 | 1,96 | 0,51 | 0,34 | 1,70 | 1,53 | 0,00 | 1,28 | 1,70 | 0,00 | 2,55 | 0,00 | 4,08 | 1,96 | 0,51 | 0,00 | 1,87 | 0,34 | 1,96 | 0,00 | 0,51 | 3,49 | 1,36 | 1,96 | 1,11 |
| 12,00 | 0,085 | 0,17 | 0 | 3,315 | 2,805 | 2,72 | 0,00 | 0,09 | 1,28 | 0,00 | 1,70 | 1,96 | 0,51 | 1,87 | 2,55 | 0,00 | 1,28 | 1,11 | 7,48 | 0,09 | 1,70 | 1,53 | 1,28 | 7,57 | 0,00 | 1,11 | 0,00 | 1,96 | 2,47 | 0,09 | 3,66 |
| 13,00 | 1,53 | 0 | 0 | 4,59 | 0,425 | 1,96 | 3,06 | 1,87 | 0,34 | 0,00 | 1,28 | 0,09 | 0,00 | 1,28 | 0,00 | 1,87 | 0,00 | 0,00 | 3,91 | 1,87 | 0,09 | 0,00 | 3,66 | 0,77 | 0,00 | 1,36 | 0,00 | 0,00 | 4,85 | 1,87 | 1,70 |
| 14,00 | 3,315 | 1,105 | 0 | 3,4 | 2,72 | 0,00 | 2,30 | 1,28 | 0,00 | 0,00 | 0,43 | 1,87 | 0,00 | 2,72 | 0,00 | 1,02 | 1,70 | 0,34 | 1,28 | 1,28 | 1,53 | 6,29 | 0,34 | 1,70 | 0,94 | 1,70 | 0,00 | 0,00 | 4,00 | 1,28 | 7,91 |
| 15,00 | 4,59 | 0,085 | 0,34 | 3,145 | 1,955 | 3,06 | 0,77 | 3,66 | 0,00 | 1,96 | 0,00 | 1,28 | 0,00 | 4,00 | 2,13 | 2,13 | 1,53 | 1,28 | 1,62 | 3,66 | 3,32 | 4,68 | 2,89 | 0,00 | 0,00 | 0,34 | 0,94 | 4,51 | 3,66 | 6,04 | |
| 16,00 | 3,4 | 0,935 | 0,34 | 1,275 | 0 | 2,30 | 0,34 | 0,34 | 0,00 | 0,00 | 0,51 | 3,66 | 0,34 | 3,40 | 1,36 | 1,02 | 1,28 | 1,96 | 6,29 | 0,34 | 4,59 | 2,72 | 2,13 | 0,68 | 0,68 | 0,00 | 0,34 | 0,00 | 2,47 | 0,34 | 3,15 |
| 17,00 | 3,145 | 0 | 0 | 1,87 | 3,06 | 0,77 | 1,70 | 2,89 | 0,34 | 3,06 | 0,09 | 0,34 | 0,34 | 1,70 | 0,94 | 2,21 | 5,53 | 2,47 | 4,68 | 2,89 | 3,40 | 2,47 | 1,28 | 4,93 | 0,00 | 1,11 | 0,00 | 0,68 | 4,08 | 2,89 | 2,47 |
| 18,00 | 1,275 | 0 | 0 | 0 | 2,295 | 0,34 | 1,70 | 2,13 | 0,34 | 2,30 | 0,94 | 2,89 | 0,00 | 1,96 | 0,00 | 1,02 | 6,29 | 3,66 | 2,72 | 2,13 | 3,15 | 1,96 | 4,51 | 2,89 | 0,68 | 0,00 | 0,00 | 2,30 | 2,13 | 4,59 | |
| 19,00 | 1,87 | 0 | 0 | 1,105 | 0,765 | 1,70 | 1,28 | 1,28 | 0,00 | 0,77 | 1,28 | 2,13 | 0,00 | 2,81 | 0,00 | 3,32 | 0,00 | 1,53 | 2,47 | 1,28 | 1,28 | 1,96 | 3,91 | 3,15 | 0,17 | 0,00 | 0,00 | 0,68 | 2,30 | 1,28 | 4,34 |
| 20,00 | 0 | 2,295 | 3,315 | 2,89 | 0,34 | 1,70 | 0,43 | 4,51 | 0,00 | 0,34 | 0,43 | 1,28 | 0,00 | 2,89 | 1,36 | 0,00 | 1,96 | 1,96 | 1,96 | 4,51 | 1,87 | 0,09 | 0,00 | 3,32 | 1,53 | 2,30 | 0,00 | 1,87 | 0,00 | 4,51 | 2,81 |
| 21,00 | 1,105 | 0,51 | 0 | 0 | 1,7 | 1,28 | 0,00 | 3,91 | 0,00 | 1,70 | 0,00 | 4,51 | 3,40 | 2,21 | 0,00 | 2,13 | 0,00 | 3,91 | 1,96 | 3,91 | 0,00 | 3,49 | 0,00 | 0,00 | 1,53 | 0,51 | 2,21 | 2,47 | 1,53 | 3,91 | 3,32 |
| 22,00 | 2,89 | 1,7 | 0 | 0,51 | 1,7 | 0,43 | 0,51 | 0,00 | 3,40 | 1,70 | 0,51 | 3,91 | 3,15 | 0,51 | 0,00 | 2,30 | 1,28 | 2,30 | 0,09 | 0,00 | 1,11 | 1,96 | 1,11 | 1,53 | 1,96 | 1,70 | 3,40 | 1,62 | 2,47 | 0,00 | 0,00 |
| 23,00 | 0 | 0,085 | 0,17 | 0 | 1,275 | 0,00 | 0,09 | 0,00 | 3,15 | 1,28 | 0,09 | 0,00 | 1,28 | 1,28 | 4,00 | 0,00 | 0,09 | 3,49 | 0,00 | 2,89 | 0,00 | 1,36 | 0,00 | 0,09 | 0,09 | 4,08 | 1,62 | 0,00 | 0,00 | 0,00 | 0,00 |

Datos obtenidos de Velocidad de viento del mes de Junio para la zona de Cerro Guamán

Tabla 62.Datos Velocidad de viento respecto Hora-Día del mes de Junio

| HORA | 1 | 2 | 3 | 4 | 5 | 6 | 7 | 8 | 9 | 10 | 11 | 12 | 13 | 14 | 15 | 16 | 17 | 18 | 19 | 20 | 21 | 22 | 23 | 24 | 25 | 26 | 27 | 28 | 29 | 30 | |
|-------|-------|-------|-------|-------|-------|-------|-------|-------|-------|-------|-------|-------|-------|-------|-------|-------|-------|-------|-------|-------|-------|-------|-------|-------|-------|-------|-------|-------|-------|-------|------|
| 0,00 | 0,935 | 1,02 | 1,615 | 1,955 | 0 | 0 | 0,935 | 1,105 | 0 | 0 | 1,105 | 1,53 | 1,02 | 1,36 | 1,105 | 1,36 | 0,085 | 1,275 | 1,955 | 1,105 | 0,935 | 0 | 0 | 0,425 | 1,7 | 0 | 1,87 | 1,87 | 0,425 | 0 | |
| 1,00 | 0 | 0 | 0,34 | 0 | 3,315 | 0,085 | 0 | 1,36 | 2,125 | 0,51 | 1,36 | 1,955 | 1,275 | 1,53 | 1,36 | 0 | 0,51 | 0,425 | 0 | 0,51 | 0 | 0,51 | 0,17 | 0 | 0 | 0,17 | 1,87 | 0 | 0 | 0 | |
| 2,00 | 1,955 | 0 | 0 | 0 | 0 | 0,935 | 0 | 1,7 | 0 | 0,68 | 1,7 | 0,085 | 1,275 | 1,275 | 1,7 | 0,51 | 0,68 | 0 | 0 | 3,06 | 1,955 | 3,06 | 0 | 0,51 | 0 | 0 | 0 | 2,805 | 1,87 | 0,51 | 0,34 |
| 3,00 | 0,68 | 0 | 0 | 0,935 | 0 | 0,51 | 0,935 | 3,4 | 1,53 | 0,085 | 0 | 1,87 | 1,615 | 0,935 | 0 | 0 | 0,935 | 0,51 | 0,935 | 0 | 0,68 | 0 | 1,105 | 0,085 | 1,105 | 1,105 | 1,87 | 1,87 | 0,085 | 0,34 | |
| 4,00 | 0,765 | 0 | 2,125 | 0 | 0,17 | 0 | 0 | 3,145 | 0,68 | 0,935 | 0 | 1,275 | 6,29 | 0 | 0 | 0 | 0,085 | 0 | 0 | 0,765 | 0 | 0,085 | 0,935 | 0,765 | 0,085 | 2,805 | 1,87 | 0,935 | 0 | | |
| 5,00 | 0,935 | 1,955 | 0,17 | 0,68 | 0 | 0,34 | 0,68 | 1,275 | 0 | 0,68 | 1,105 | 3,655 | 4,675 | 0,68 | 1,105 | 0 | 0,68 | 0,935 | 0,68 | 0 | 0,935 | 0 | 0,935 | 1,785 | 0,51 | 0,935 | 1,87 | 6,63 | 0,34 | 0 | |
| 6,00 | 0,765 | 0 | 0 | 0 | 1,105 | 1,36 | 0 | 1,87 | 0,935 | 0 | 0,765 | 0,34 | 2,72 | 0 | 1,53 | 0,34 | 0 | 1,275 | 0 | 0 | 0,765 | 0 | 0 | 0,68 | 3,06 | 0 | 3,74 | 7,565 | 1,36 | 0 | |
| 7,00 | 0,51 | 2,55 | 0 | 0,68 | 0,085 | 0,34 | 0,68 | 0 | 0 | 0,68 | 0,51 | 2,89 | 2,465 | 0,68 | 0 | 0,34 | 0,68 | 0,68 | 0,68 | 0 | 0,51 | 0 | 0 | 0,68 | 2,295 | 0 | 0 | 0 | 0,34 | 0,51 | |
| 8,00 | 3,06 | 1,275 | 1,105 | 1,275 | 0,935 | 2,805 | 0,17 | 1,105 | 0 | 0,17 | 3,06 | 2,125 | 1,955 | 0,17 | 0 | 0 | 0,17 | 0,68 | 0,17 | 0 | 3,06 | 0 | 0 | 0,68 | 1,7 | 0 | 2,805 | 2,805 | 2,805 | 0 | |
| 9,00 | 2,295 | 0 | 0 | 2,465 | 3,4 | 0,425 | 1,53 | 2,89 | 0 | 1,53 | 2,295 | 1,275 | 1,955 | 1,53 | 2,295 | 0 | 1,53 | 0,68 | 1,53 | 1,87 | 2,295 | 1,87 | 2,295 | 0,425 | 2,21 | 2,295 | 2,805 | 0 | 0,425 | 0,34 | |
| 10,00 | 1,7 | 1,7 | 0,34 | 1,615 | 2,805 | 2,72 | 1,53 | 0 | 2,295 | 1,53 | 1,7 | 4,505 | 0,085 | 1,53 | 0,51 | 0 | 1,53 | 0,425 | 1,53 | 1,02 | 1,7 | 1,02 | 0,51 | 0,765 | 0 | 0,51 | 4,675 | 1,87 | 2,72 | 1,36 | |
| 11,00 | 2,21 | 1,53 | 1,275 | 1,615 | 2,38 | 1,955 | 1,955 | 0,51 | 0,51 | 1,955 | 2,21 | 3,91 | 3,485 | 1,955 | 1,7 | 3,315 | 1,955 | 0,765 | 1,955 | 2,125 | 2,21 | 2,125 | 1,7 | 0 | 0,34 | 1,7 | 1,87 | 0 | 1,955 | 0,34 | |
| 12,00 | 0 | 1,275 | 1,955 | 1,36 | 0,425 | 0 | 0,085 | 0 | 1,7 | 0,085 | 1,955 | 0 | 1,955 | 0,085 | 0,085 | 0 | 0,085 | 0 | 0,085 | 1,02 | 0 | 1,02 | 0,085 | 1,53 | 7,565 | 0,085 | 0 | 0 | 0 | 2,805 | |
| 13,00 | 0,34 | 5,525 | 2,465 | 2,89 | 2,72 | 3,06 | 1,87 | 0 | 0,085 | 1,87 | 0 | 0 | 0 | 1,87 | 1,53 | 0 | 1,87 | 1,53 | 1,87 | 2,21 | 0,34 | 2,21 | 1,53 | 0 | 0,765 | 1,53 | 0 | 0 | 3,06 | 0,425 | |
| 14,00 | 7,565 | 6,29 | 3,655 | 0 | 1,955 | 2,295 | 1,275 | 0 | 1,53 | 1,275 | 0 | 1,105 | 0 | 1,275 | 3,315 | 0,17 | 1,275 | 0 | 1,275 | 1,02 | 7,565 | 1,02 | 3,315 | 6,29 | 2,89 | 3,315 | 0,935 | 0 | 2,295 | 2,72 | |
| 15,00 | 0,765 | 0 | 1,53 | 5,525 | 0 | 0,765 | 3,655 | 0,34 | 3,315 | 3,655 | 0,935 | 0,34 | 0,935 | 3,655 | 4,59 | 0 | 3,655 | 6,29 | 3,655 | 3,315 | 0,765 | 3,315 | 4,59 | 4,675 | 0,68 | 4,59 | 0 | 1,955 | 0,765 | 1,955 | |
| 16,00 | 2,89 | 1,955 | 1,955 | 0,51 | 3,06 | 0,34 | 0,34 | 0,34 | 4,59 | 0,34 | 0 | 0,34 | 0 | 0,34 | 3,4 | 1,105 | 0,34 | 4,675 | 0,34 | 0 | 2,89 | 0 | 3,4 | 2,72 | 4,93 | 3,4 | 0 | 0 | 0,34 | 0 | |
| 17,00 | 0,68 | 0 | 3,91 | 0 | 2,295 | 1,7 | 2,89 | 0 | 3,4 | 2,89 | 0,68 | 0 | 0,68 | 2,89 | 3,145 | 0,085 | 2,89 | 2,72 | 2,89 | 2,125 | 0,68 | 2,125 | 3,145 | 2,465 | 2,89 | 3,145 | 0 | 3,06 | 1,7 | 3,06 | |
| 18,00 | 4,93 | 1,275 | 2,295 | 0 | 0,765 | 1,7 | 2,125 | 0 | 3,145 | 2,125 | 0 | 0 | 0 | 2,125 | 1,275 | 0,935 | 2,125 | 2,465 | 2,125 | 2,295 | 4,93 | 2,295 | 1,275 | 1,955 | 3,145 | 1,275 | 0 | 2,295 | 1,7 | 2,295 | |
| 19,00 | 2,89 | 0 | 3,145 | 0 | 0,34 | 1,275 | 1,275 | 0 | 1,275 | 1,275 | 0,68 | 0 | 0,68 | 1,275 | 1,87 | 0 | 1,275 | 1,955 | 1,275 | 3,995 | 2,89 | 3,995 | 1,87 | 1,955 | 3,315 | 1,87 | 0 | 0,765 | 1,275 | 0,765 | |
| 20,00 | 3,145 | 0 | 1,105 | 0,34 | 1,7 | 0,425 | 4,505 | 3,4 | 1,87 | 4,505 | 0,17 | 0 | 2,125 | 4,505 | 0 | 0 | 4,505 | 1,955 | 4,505 | 1,02 | 3,145 | 1,02 | 0 | 0,085 | 0 | 0 | 2,805 | 0,34 | 0,425 | 0,34 | |
| 21,00 | 3,315 | 0 | 1,53 | 0,34 | 1,7 | 0 | 3,91 | 3,145 | 0 | 3,91 | 1,53 | 2,21 | 2,465 | 3,91 | 1,105 | 0 | 3,91 | 0,085 | 3,91 | 0 | 3,315 | 0 | 1,105 | 3,485 | 1,53 | 1,105 | 0 | 1,7 | 0 | 1,7 | |
| 22,00 | 0 | 0 | 1,7 | 0 | 1,275 | 0,51 | 0 | 1,53 | 1,105 | 0 | 1,785 | 2,21 | 1,615 | 0 | 1,36 | 2,295 | 0 | 0,085 | 0 | 0 | 0 | 0 | 2,89 | 1,105 | 3,315 | 2,89 | 2,805 | 1,7 | 0,51 | 1,7 | |
| 23,00 | 1,53 | 0 | 0,085 | 0 | 0,425 | 0,085 | 0 | 2,55 | 2,89 | 0 | 2,21 | 1,785 | 1,615 | 0 | 0,935 | 0,51 | 0 | 1,615 | 0 | 0,935 | 1,53 | 0,935 | 0 | 1,36 | 0 | 0 | 1,87 | 1,275 | 0,085 | 1,275 | |

Datos obtenidos de Temperatura del mes de Abril para la zona de Cerro Guamán

Tabla 63.Datos Temperatura exterior respecto Hora-Día del mes de Abril

| HORA | 5 | 6 | 7 | 8 | 9 | 10 | 11 | 12 | 13 | 14 | 15 | 16 | 17 | 18 | 19 | 20 | 21 | 22 | 23 | 24 | 25 | 26 | 27 | 28 | 29 | 30 |
|-------|-------|-------|-------|-------|-------|-------|-------|-------|-------|-------|-------|-------|-------|-------|-------|-------|-------|-------|-------|-------|-------|-------|-------|-------|-------|-------|
| 0,00 | 10,93 | 11,73 | 10,93 | 10,93 | 10,81 | 10,93 | 10,93 | 11,5 | 10,01 | 10,01 | 10,24 | 9,89 | 10,58 | 11,04 | 10,93 | 10,81 | 9,89 | 10,01 | 10,58 | 10,01 | 10,93 | 10,58 | 10,01 | 11,16 | 10,12 | 10,01 |
| 1,00 | 10,7 | 11,39 | 10,35 | 10,93 | 10,35 | 10,7 | 11,04 | 11,16 | 10,01 | 10,01 | 10,12 | 9,775 | 10,58 | 11,16 | 10,7 | 10,35 | 9,89 | 10,58 | 10,7 | 10,58 | 11,04 | 10,81 | 10,7 | 10,58 | 10,01 | 10,58 |
| 2,00 | 10,58 | 11,04 | 10,12 | 11,27 | 10,47 | 10,58 | 11,27 | 10,7 | 10,81 | 10,01 | 9,89 | 9,775 | 10,58 | 10,47 | 10,58 | 10,01 | 10,01 | 10,7 | 10,01 | 10,93 | 11,27 | 10,93 | 10,7 | 10,93 | 10,58 | 10,7 |
| 3,00 | 10,35 | 11,27 | 10,35 | 10,58 | 10,81 | 10,35 | 11,04 | 11,16 | 10,24 | 9,775 | 9,775 | 10,24 | 10,7 | 10,01 | 10,24 | 9,545 | 9,89 | 10,81 | 11,73 | 10,35 | 11,04 | 11,04 | 11,04 | 10,7 | 10,93 | 10,93 |
| 4,00 | 10,24 | 10,7 | 10,35 | 10,12 | 10,7 | 10,24 | 10,12 | 10,58 | 10,58 | 10,01 | 9,775 | 10,01 | 9,66 | 10,12 | 10,35 | 10,81 | 11,04 | 11,04 | 10,93 | 10,12 | 10,93 | 10,01 | 10,58 | 11,04 | 10,7 | |
| 5,00 | 10,35 | 10,24 | 10,24 | 10,35 | 10,58 | 10,35 | 10,24 | 10,47 | 9,775 | 10,01 | 9,89 | 9,775 | 9,89 | 10,93 | 9,89 | 9,43 | 9,545 | 12,54 | 11,73 | 10,35 | 10,24 | 11,73 | 10,7 | 11,73 | 11,96 | 10,93 |
| 6,00 | 10,01 | 10,47 | 10,24 | 10,47 | 10,12 | 10,01 | 10,12 | 10,35 | 10,01 | 9,545 | 9,775 | 11,16 | 10,01 | 10,7 | 9,66 | 9,43 | 10,01 | 12,19 | 13 | 10,01 | 10,35 | 11,85 | 11,73 | 11,27 | 10,81 | 10,58 |
| 7,00 | 10,58 | 11,62 | 11,04 | 10,81 | 10,81 | 10,58 | 10,35 | 10,58 | 10,01 | 10,7 | 10,58 | 11,04 | 9,775 | 10,81 | 10,24 | 9,545 | 10,47 | 12,19 | 13 | 10,58 | 10,7 | 11,73 | 11,62 | 11,73 | 11,96 | 11,27 |
| 8,00 | 10,93 | 11,96 | 12,42 | 12,19 | 12,08 | 10,93 | 10,7 | 10,93 | 10,81 | 11,85 | 12,31 | 11,04 | 11,16 | 12,08 | 11,27 | 10,24 | 11,96 | 11,96 | 12,88 | 10,93 | 12,08 | 12,19 | 11,27 | 12,08 | 11,5 | 10,93 |
| 9,00 | 11,62 | 13,46 | 12,08 | 13,69 | 13 | 12,65 | 12,08 | 11,62 | 11,62 | 12,88 | 13,11 | 10,81 | 13 | 12,77 | 13,69 | 11,73 | 12,77 | 11,85 | 11,73 | 12,65 | 13,11 | 12,08 | 11,73 | 11,39 | 11,16 | 10,35 |
| 10,00 | 11,39 | 12,65 | 14,15 | 13,34 | 13,46 | 15,99 | 13,11 | 13,11 | 11,39 | 13,57 | 14,72 | 12,31 | 13 | 14,38 | 13,69 | 13 | 14,95 | 11,73 | 11,85 | 15,99 | 14,49 | 11,73 | 12,08 | 11,39 | 11,27 | 11,85 |
| 11,00 | 12,19 | 12,77 | 15,87 | 15,18 | 15,76 | 16,79 | 14,49 | 14,38 | 12,19 | 13,46 | 14,26 | 11,73 | 14,49 | 15,87 | 14,72 | 15,07 | 15,99 | 11,62 | 11,5 | 16,79 | 15,99 | 11,27 | 11,5 | 11,27 | 11,04 | 10,12 |
| 12,00 | 13,11 | 13,46 | 17,48 | 17,83 | 16,56 | 17,37 | 15,99 | 16,22 | 13,11 | 14,72 | 14,95 | 11,5 | 14,84 | 15,87 | 14,84 | 16,68 | 18,06 | 10,93 | 11,16 | 17,37 | 16,1 | 10,93 | 10,93 | 10,81 | 10,93 | 10,35 |
| 13,00 | 12,77 | 14,72 | 18,06 | 16,45 | 16,33 | 17,02 | 16,1 | 17,37 | 12,77 | 15,76 | 15,64 | 13,69 | 14,72 | 18,4 | 16,1 | 15,41 | 17,71 | 16,22 | 10,7 | 17,02 | 16,22 | 10,35 | 16,22 | 10,35 | 10,7 | 16,22 |
| 14,00 | 12,77 | 14,03 | 16,22 | 14,03 | 12,54 | 16,56 | 16,22 | 17,94 | 12,77 | 15,41 | 15,99 | 13,69 | 16,45 | 18,52 | 12,19 | 14,03 | 15,99 | 15,53 | 14,03 | 16,56 | 15,53 | 10,12 | 15,53 | 10,47 | 10,58 | 15,53 |
| 15,00 | 15,18 | 14,49 | 16,1 | 13,92 | 11,5 | 15,3 | 15,53 | 17,37 | 11,5 | 16,56 | 14,84 | 13,46 | 16,56 | 15,53 | 12,77 | 14,38 | 13,46 | 15,87 | 10,7 | 15,3 | 15,87 | 10,35 | 15,87 | 10,81 | 11,62 | 15,87 |
| 16,00 | 15,18 | 16,79 | 16,68 | 13,23 | 11,73 | 13 | 15,87 | 14,03 | 11,85 | 13,69 | 14,38 | 12,08 | 16,33 | 13,57 | 14,61 | 14,15 | 10,24 | 13,92 | 10,47 | 13 | 13,92 | 10,35 | 13,92 | 10,7 | 11,96 | 13,92 |
| 17,00 | 14,15 | 15,3 | 14,03 | 15,53 | 11,73 | 12,54 | 13,92 | 14,03 | 11,73 | 13,34 | 14,72 | 11,73 | 15,76 | 13,34 | 13,69 | 12,88 | 10,35 | 13,57 | 10,35 | 12,54 | 13,57 | 10,24 | 13,57 | 10,58 | 13,46 | 13,57 |
| 18,00 | 13,8 | 13,69 | 13,69 | 12,77 | 11,85 | 12,19 | 13,57 | 12,88 | 10,47 | 12,19 | 12,31 | 11,5 | 14,61 | 13,34 | 11,73 | 11,85 | 10,01 | 10,35 | 10,58 | 12,19 | 13 | 10,24 | 10,47 | 10,12 | 12,65 | 12,08 |
| 19,00 | 13,92 | 13,57 | 13,46 | 12,77 | 11,96 | 12,19 | 13 | 11,73 | 10,24 | 11,16 | 11,16 | 11,39 | 13 | 12,88 | 11,5 | 11,39 | 10,58 | 10,7 | 10,93 | 12,19 | 11,62 | 11,04 | 10,81 | 10,81 | 12,77 | 10,58 |
| 20,00 | 13,92 | 12,19 | 13,23 | 12,08 | 11,5 | 11,96 | 13,92 | 11,85 | 10,24 | 10,93 | 11,04 | 11,04 | 12,54 | 12,19 | 11,04 | 10,81 | 10,93 | 12,08 | 11,62 | 11,96 | 11,96 | 12,42 | 12,19 | 12,08 | 13,46 | 11,73 |
| 21,00 | 13,23 | 12,08 | 12,88 | 11,39 | 11,16 | 11,85 | 12,88 | 11,5 | 10,24 | 10,93 | 11,04 | 11,27 | 12,31 | 11,96 | 11,5 | 10,81 | 11,73 | 10,81 | 11,73 | 10,81 | 13,46 | 12,08 | 11,73 | 11,85 | 11,85 | 10,81 |
| 22,00 | 12,77 | 11,73 | 12,08 | 11,39 | 11,27 | 11,73 | 11,73 | 10,58 | 10,24 | 10,58 | 10,81 | 10,58 | 11,85 | 12,08 | 11,27 | 10,58 | 11,73 | 10,81 | 11,04 | 11,04 | 12,65 | 11,04 | 10,7 | 11,04 | 10,93 | 11,04 |
| 23,00 | 12,31 | 11,27 | 11,5 | 11,27 | 11,04 | 11,62 | 11,85 | 9,775 | 10,24 | 10,24 | 10,24 | 11,39 | 11,39 | 10,93 | 10,01 | 11,04 | 10,58 | 10,58 | 10,01 | 10,81 | 10,01 | 10,93 | 9,89 | 10,58 | 10,58 | |

Datos obtenidos de Temperatura del mes de Mayo para la zona de Cerro Guamán

Tabla 64.Datos Temperatura exterior respecto Hora-Día del mes de Mayo

| HORA | 1 | 2 | 3 | 4 | 5 | 6 | 7 | 8 | 9 | 10 | 11 | 12 | 13 | 14 | 15 | 16 | 17 | 18 | 19 | 20 | 21 | 22 | 23 | 24 | 25 | 26 | 27 | 28 | 29 | 30 | 31 |
|-------|--------|--------|--------|--------|--------|--------|--------|--------|--------|--------|--------|--------|--------|--------|--------|--------|--------|--------|--------|--------|--------|--------|--------|--------|--------|--------|--------|--------|--------|--------|--------|
| 0,00 | 11,27 | 11,155 | 9,89 | 10,695 | 10,005 | 10,81 | 10,235 | 10,005 | 11,155 | 11,385 | 10,925 | 10,58 | 10,235 | 10,005 | 11,5 | 10,81 | 11,27 | 10,925 | 10,235 | 9,89 | 10,58 | 10,81 | 10,925 | 11,155 | 10,925 | 10,81 | 11,04 | 10,925 | 9,89 | 10,925 | 11,155 |
| 1,00 | 11,155 | 10,58 | 11,155 | 10,695 | 10,81 | 10,695 | 11,385 | 9,89 | 10,465 | 10,925 | 10,695 | 10,235 | 11,385 | 9,89 | 10,925 | 10,35 | 11,04 | 11,04 | 10,12 | 9,775 | 10,58 | 10,35 | 10,695 | 10,465 | 10,695 | 10,35 | 11,155 | 10,695 | 9,775 | 11,04 | 10,695 |
| 2,00 | 12,19 | 10,925 | 10,925 | 10,58 | 10,695 | 10,58 | 10,81 | 9,2 | 10,005 | 10,695 | 10,81 | 10,35 | 11,04 | 9,2 | 10,925 | 10,81 | 10,925 | 11,27 | 9,89 | 9,775 | 10,58 | 10,005 | 10,58 | 10,005 | 10,465 | 10,58 | 9,775 | 11,27 | 10,58 | | |
| 3,00 | 12,075 | 11,04 | 10,81 | 10,465 | 10,81 | 10,12 | 10,81 | 10,235 | 10,12 | 10,58 | 9,89 | 10,12 | 11,27 | 10,925 | 11,27 | 10,465 | 10,35 | 11,04 | 9,775 | 10,235 | 10,695 | 9,89 | 10,235 | 10,12 | 10,235 | 11,04 | 10,465 | 10,235 | 11,04 | 10,58 | |
| 4,00 | 13,455 | 10,695 | 10,695 | 11,27 | 10,58 | 10,81 | 10,58 | 11,04 | 10,925 | 10,235 | 10,005 | 9,89 | 10,695 | 10,695 | 10,58 | 0 | 10,235 | 10,12 | 9,775 | 10,005 | 9,66 | 9,2 | 10,35 | 10,925 | 10,35 | 9,2 | 10,12 | 10,35 | 10,005 | 10,12 | 10,465 |
| 5,00 | 13,225 | 10,58 | 10,925 | 10,925 | 12,075 | 10,005 | 11,04 | 10,695 | 10,35 | 9,89 | 9,66 | 10,235 | 10,81 | 10,12 | 10,81 | 10,35 | 10,235 | 9,89 | 9,775 | 9,89 | 9,66 | 9,89 | 10,695 | 9,89 | 9,545 | 10,925 | 9,89 | 9,775 | 10,235 | 10,35 | |
| 6,00 | 12,88 | 11,385 | 11,155 | 10,35 | 10,925 | 12,995 | 9,89 | 11,845 | 10,81 | 9,89 | 12,075 | 10,235 | 10,465 | 12,075 | 10,35 | 10,695 | 10,005 | 10,35 | 9,775 | 10,695 | 9,66 | 10,005 | 10,695 | 9,66 | 10,005 | 10,35 | 10,35 | 10,58 | 10,695 | 10,925 | |
| 7,00 | 12,075 | 11,385 | 11,27 | 10,12 | 11,27 | 13,455 | 11,73 | 12,995 | 12,075 | 9,66 | 12,765 | 11,27 | 11,73 | 12,765 | 10,465 | 10,58 | 10,695 | 10,58 | 10,81 | 10,235 | 10,465 | 10,235 | 12,075 | 10,58 | 10,81 | 10,235 | 10,58 | 10,695 | 10,925 | | |
| 8,00 | 11,5 | 11,27 | 11,04 | 10,35 | 10,58 | 15,755 | 12,995 | 13,34 | 12,765 | 11,73 | 14,375 | 11,73 | 12,995 | 14,375 | 10,81 | 10,12 | 10,925 | 12,075 | 12,305 | 12,075 | 11,27 | 11,765 | 11,27 | 11,765 | 11,27 | 10,465 | 12,075 | 11,27 | 10,925 | 12,075 | 11,615 |
| 9,00 | 10,925 | 10,81 | 10,925 | 10,35 | 10,12 | 14,26 | 15,065 | 14,03 | 14,375 | 12,995 | 15,87 | 11,5 | 15,065 | 15,87 | 12,19 | 10,81 | 12,65 | 13,11 | 13,11 | 12,765 | 12,765 | 12,765 | 14,72 | 14,375 | 11,73 | 11,96 | 12,765 | 13,11 | 12,65 | 13,11 | 13,11 |
| 10,00 | 10,925 | 10,35 | 10,695 | 10,235 | 10,35 | 16,33 | 16,675 | 14,375 | 15,87 | 15,065 | 15,87 | 11,04 | 16,675 | 15,87 | 13,34 | 12,075 | 15,985 | 14,49 | 14,72 | 14,375 | 14,375 | 14,95 | 14,49 | 15,87 | 12,995 | 12,765 | 14,375 | 14,72 | 15,985 | 14,49 | 14,375 |
| 11,00 | 11,27 | 10,465 | 10,58 | 10,235 | 10,465 | 12,535 | 15,41 | 14,145 | 15,87 | 16,675 | 18,4 | 11,5 | 15,41 | 18,4 | 15,18 | 12,995 | 16,79 | 15,985 | 14,26 | 15,87 | 14,72 | 15,985 | 14,835 | 15,87 | 14,72 | 14,95 | 15,87 | 14,26 | 16,79 | 15,985 | 16,215 |
| 12,00 | 10,58 | 10,81 | 11,615 | 11,04 | 10,81 | 11,5 | 14,03 | 12,88 | 11,04 | 15,41 | 18,515 | 11,27 | 14,03 | 17,48 | 17,825 | 13,455 | 17,365 | 16,1 | 14,95 | 15,87 | 14,835 | 18,055 | 14,72 | 18,4 | 14,835 | 15,985 | 15,87 | 14,95 | 17,365 | 16,1 | 17,365 |
| 13,00 | 10,12 | 10,695 | 11,96 | 12,42 | 12,19 | 11,73 | 14,375 | 11,845 | 10,695 | 14,03 | 15,525 | 10,925 | 14,375 | 18,055 | 16,445 | 15,755 | 17,02 | 16,215 | 15,64 | 18,4 | 16,1 | 17,71 | 16,445 | 18,515 | 16,1 | 18,055 | 18,4 | 15,64 | 17,02 | 16,215 | 17,94 |
| 14,00 | 10,35 | 10,58 | 13,455 | 12,075 | 13,685 | 11,73 | 14,145 | 11,385 | 18,4 | 14,375 | 13,57 | 10,81 | 14,145 | 16,215 | 14,03 | 16,56 | 16,56 | 15,525 | 15,985 | 18,515 | 12,19 | 18,515 | 16,56 | 15,525 | 12,19 | 17,71 | 18,515 | 15,985 | 16,56 | 15,525 | 17,365 |
| 15,00 | 10,465 | 10,12 | 12,65 | 14,145 | 13,34 | 11,845 | 12,88 | 10,81 | 18,515 | 14,145 | 13,34 | 10,35 | 12,88 | 12,19 | 13,915 | 16,33 | 15,295 | 15,87 | 14,835 | 15,525 | 12,765 | 15,525 | 16,33 | 13,57 | 12,765 | 16,56 | 15,525 | 14,835 | 15,295 | 15,87 | 15,525 |
| 16,00 | 10,81 | 10,81 | 12,765 | 15,87 | 15,18 | 11,96 | 11,845 | 10,81 | 15,525 | 12,88 | 13,34 | 10,005 | 11,845 | 13,685 | 13,225 | 12,535 | 12,995 | 13,915 | 14,375 | 13,57 | 14,605 | 13,34 | 15,755 | 13,34 | 14,605 | 13,57 | 14,375 | 12,995 | 13,915 | 15,87 | |
| 17,00 | 12,19 | 12,075 | 13,455 | 15,18 | 12,075 | 11,5 | 11,385 | 10,58 | 13,57 | 11,845 | 12,88 | 10,58 | 11,385 | 13,34 | 15,525 | 11,5 | 12,535 | 13,57 | 14,72 | 13,34 | 13,685 | 13,34 | 14,605 | 13,34 | 13,685 | 15,755 | 13,34 | 14,72 | 12,535 | 13,57 | 13,915 |
| 18,00 | 13,685 | 12,995 | 12,88 | 14,145 | 11,385 | 11,155 | 10,81 | 10,005 | 13,34 | 10,235 | 12,19 | 10,81 | 10,81 | 13,685 | 12,765 | 11,73 | 12,19 | 12,995 | 12,305 | 11,5 | 11,73 | 13,34 | 12,995 | 12,88 | 11,73 | 14,605 | 13,34 | 12,305 | 12,19 | 12,995 | 13,57 |
| 19,00 | 13,34 | 13,455 | 11,845 | 14,26 | 11,385 | 11,27 | 10,81 | 9,89 | 13,34 | 11,27 | 11,96 | 9,43 | 10,81 | 13,455 | 12,765 | 11,73 | 12,19 | 11,155 | 11,155 | 11,385 | 11,5 | 12,88 | 12,535 | 12,19 | 11,5 | 12,995 | 12,88 | 11,155 | 12,19 | 12,995 | 12,995 |
| 20,00 | 11,73 | 11,96 | 11,845 | 12,995 | 11,27 | 11,04 | 10,58 | 9,89 | 12,88 | 11,155 | 12,075 | 9,43 | 10,58 | 13,225 | 12,075 | 11,845 | 11,96 | 10,925 | 11,04 | 11,04 | 12,19 | 12,305 | 11,96 | 11,04 | 12,535 | 12,19 | 11,04 | 11,96 | 12,88 | 12,995 | |
| 21,00 | 10,695 | 11,845 | 10,695 | 12,88 | 10,81 | 10,925 | 10,005 | 10,005 | 12,19 | 10,465 | 11,385 | 9,545 | 10,005 | 11,385 | 11,96 | 11,845 | 10,925 | 11,04 | 11,27 | 11,5 | 11,96 | 11,845 | 12,075 | 11,5 | 12,305 | 11,96 | 11,04 | 11,845 | 11,73 | 12,88 | |
| 22,00 | 10,925 | 11,27 | 11,155 | 11,845 | 10,35 | 10,695 | 9,89 | 9,89 | 10,925 | 10,005 | 10,925 | 10,235 | 9,89 | 9,89 | 11,385 | 11,5 | 11,73 | 10,58 | 10,81 | 10,58 | 11,27 | 12,075 | 11,385 | 11,27 | 11,845 | 12,075 | 10,81 | 11,73 | 11,845 | 11,73 | |
| 23,00 | 10,58 | 11,04 | 11,73 | 11,04 | 10,465 | 10,58 | 9,89 | 9,2 | 10,695 | 10,12 | 10,695 | 9,2 | 9,89 | 12,075 | 10,925 | 11,155 | 11,615 | 10,235 | 10,235 | 10,925 | 11,385 | 11,385 | 10,235 | 11,615 | 11,5 | 11,845 | | | | | |

Datos obtenidos de Temperatura del mes de Junio para la zona de Cerro Guamán

Tabla 65.Datos Temperatura exterior respecto Hora-Día del mes de Junio

| HORA | 1 | 2 | 3 | 4 | 5 | 6 | 7 | 8 | 9 | 10 | 11 | 12 | 13 | 14 | 15 | 16 | 17 | 18 | 19 | 20 | 21 | 22 | 23 | 24 | 25 | 26 | 27 | 28 | 29 | 30 | |
|-------|--------|--------|--------|--------|--------|--------|--------|--------|--------|--------|--------|--------|--------|--------|--------|--------|--------|--------|--------|--------|--------|--------|--------|--------|--------|--------|--------|--------|--------|--------|-------|
| 0,00 | 10,005 | 10,58 | 10,925 | 10,925 | 11,27 | 11,27 | 11,04 | 11,155 | 10,58 | 11,385 | 10,925 | 10,58 | 11,385 | 11,27 | 11,73 | 11,73 | 10,235 | 10,81 | 10,58 | 10,81 | 10,58 | 10,005 | 10,58 | 11,27 | 10,58 | 10,925 | 11,155 | 10,35 | 10,005 | 11,27 | |
| 1,00 | 11,385 | 11,155 | 11,04 | 10,925 | 10,81 | 11,04 | 11,27 | 10,695 | 10,58 | 11,385 | 10,35 | 11,5 | 11,27 | 11,04 | 11,615 | 11,845 | 11,04 | 9,66 | 10,235 | 10,235 | 10,235 | 11,385 | 11,385 | 10,925 | 10,005 | 11,04 | 10,695 | 10,235 | 10,925 | 10,005 | |
| 2,00 | 11,04 | 10,695 | 11,27 | 11,27 | 10,35 | 10,58 | 11,04 | 10,235 | 10,58 | 11,04 | 10,12 | 10,925 | 10,81 | 10,925 | 10,925 | 11,5 | 9,89 | 10,005 | 10,235 | 9,89 | 10,58 | 11,04 | 10,925 | 10,81 | 9,89 | 11,27 | 10,695 | 10,35 | 11,04 | 10,925 | |
| 3,00 | 11,27 | 10,35 | 11,04 | 10,58 | 10,465 | 10,35 | 10,12 | 10,58 | 10,695 | 11,27 | 10,35 | 10,925 | 10,35 | 10,695 | 11,04 | 11,155 | 10,81 | 10,005 | 10,12 | 9,775 | 10,58 | 11,155 | 10,695 | 10,35 | 9,89 | 11,04 | 10,58 | 10,005 | 11,27 | 9,89 | |
| 4,00 | 10,695 | 10,235 | 10,12 | 10,12 | 10,81 | 10,235 | 10,235 | 10,465 | 9,66 | 10,695 | 10,35 | 11,27 | 10,465 | 10,58 | 11,27 | 10,695 | 10,465 | 10,58 | 9,89 | 9,775 | 10,58 | 10,465 | 10,58 | 10,005 | 10,005 | 10,12 | 10,465 | 10,58 | 11,04 | 9,43 | |
| 5,00 | 10,235 | 10,35 | 10,235 | 10,35 | 10,695 | 10,35 | 10,35 | 10,35 | 9,89 | 10,235 | 10,235 | 10,58 | 10,81 | 10,35 | 11,04 | 10,235 | 10,235 | 9,775 | 9,775 | 10,235 | 10,695 | 10,005 | 10,235 | 10,58 | 9,89 | 10,235 | 10,35 | 10,925 | 10,12 | 11,155 | |
| 6,00 | 10,465 | 10,005 | 10,35 | 10,465 | 10,58 | 10,005 | 10,695 | 10,58 | 10,925 | 10,465 | 10,235 | 10,12 | 10,695 | 10,235 | 10,12 | 10,58 | 10,005 | 9,775 | 10,005 | 9,66 | 10,12 | 10,35 | 10,005 | 9,2 | 10,35 | 10,58 | 9,66 | 10,235 | 10,35 | | |
| 7,00 | 10,58 | 10,58 | 10,695 | 10,81 | 10,12 | 10,58 | 12,075 | 10,925 | 10,695 | 11,615 | 11,04 | 10,35 | 10,58 | 10,35 | 10,235 | 10,465 | 9,775 | 10,005 | 9,89 | 9,775 | 9,89 | 10,925 | 9,89 | 9,43 | 9,89 | 10,695 | 10,925 | 10,35 | 10,925 | | |
| 8,00 | 11,27 | 10,925 | 12,075 | 12,19 | 10,81 | 10,925 | 13,11 | 11,615 | 10,81 | 11,96 | 12,42 | 10,465 | 10,12 | 10,005 | 10,35 | 10,35 | 10,005 | 9,545 | 9,775 | 10,58 | 9,66 | 10,695 | 9,66 | 9,43 | 10,005 | 9,43 | 11,27 | 10,58 | 10,695 | 11,845 | |
| 9,00 | 13,455 | 12,65 | 13,11 | 13,685 | 12,075 | 12,65 | 14,49 | 13,11 | 12,075 | 13,455 | 12,075 | 10,81 | 10,81 | 10,58 | 10,695 | 10,58 | 10,465 | 10,695 | 10,58 | 11,04 | 10,58 | 10,81 | 10,235 | 9,545 | 10,465 | 10,925 | 11,73 | 11,04 | 12,075 | 10,925 | |
| 10,00 | 12,65 | 15,985 | 14,49 | 13,34 | 12,995 | 15,985 | 15,985 | 14,375 | 12,765 | 12,65 | 14,145 | 12,19 | 12,075 | 10,925 | 12,075 | 10,925 | 10,81 | 11,845 | 12,305 | 10,005 | 11,73 | 12,075 | 11,27 | 10,235 | 11,96 | 11,27 | 11,845 | 12,65 | 13,11 | 11,04 | |
| 11,00 | 12,765 | 16,79 | 15,985 | 15,18 | 13,455 | 16,79 | 16,1 | 16,215 | 14,375 | 12,765 | 15,87 | 13,685 | 12,995 | 12,65 | 11,615 | 12,88 | 13,11 | 12,42 | 11,27 | 12,765 | 12,075 | 11,73 | 12,765 | 12,42 | 11,5 | 14,49 | 14,49 | 11,73 | | | |
| 12,00 | 13,455 | 17,365 | 16,1 | 17,825 | 15,755 | 17,365 | 16,215 | 17,365 | 15,87 | 13,455 | 17,48 | 13,34 | 13,455 | 15,985 | 14,49 | 13,11 | 11,385 | 13,57 | 14,72 | 15,295 | 14,72 | 14,375 | 13,225 | 12,995 | 14,95 | 15,295 | 15,64 | 16,79 | 15,985 | 11,27 | |
| 13,00 | 14,72 | 17,02 | 16,215 | 16,445 | 16,56 | 17,02 | 15,525 | 17,94 | 15,87 | 14,72 | 18,055 | 15,18 | 15,755 | 16,79 | 15,985 | 14,375 | 12,19 | 13,455 | 14,26 | 13,225 | 14,49 | 15,87 | 14,72 | 15,065 | 15,985 | 12,995 | 13,915 | 17,365 | 16,1 | 14,375 | |
| 14,00 | 14,03 | 16,56 | 15,525 | 14,03 | 16,33 | 16,56 | 15,87 | 17,365 | 18,4 | 14,03 | 16,215 | 17,825 | 16,56 | 17,365 | 16,1 | 16,215 | 13,11 | 14,72 | 14,95 | 14,72 | 14,835 | 15,87 | 14,835 | 16,675 | 18,055 | 17,365 | 17,94 | 17,02 | 16,215 | 14,605 | |
| 15,00 | 14,49 | 15,295 | 15,87 | 13,915 | 12,535 | 15,295 | 13,915 | 14,835 | 18,515 | 14,49 | 16,1 | 16,445 | 16,33 | 17,02 | 16,215 | 17,365 | 12,765 | 15,755 | 15,64 | 13,685 | 14,72 | 18,4 | 16,1 | 15,41 | 17,71 | 17,02 | 16,1 | 16,56 | 15,525 | 18,055 | |
| 16,00 | 16,79 | 12,995 | 13,915 | 13,225 | 11,5 | 12,995 | 13,57 | 14,375 | 15,525 | 16,79 | 16,675 | 14,03 | 12,535 | 16,56 | 15,525 | 17,94 | 12,765 | 15,41 | 15,985 | 13,685 | 16,445 | 18,515 | 12,19 | 14,03 | 10,235 | 16,56 | 16,215 | 15,295 | 15,87 | 15,525 | |
| 17,00 | 15,295 | 12,535 | 13,57 | 15,525 | 11,73 | 12,535 | 12,995 | 14,72 | 13,57 | 15,295 | 14,03 | 13,915 | 11,5 | 15,295 | 15,87 | 17,365 | 11,5 | 16,56 | 14,835 | 13,455 | 16,56 | 15,525 | 12,765 | 14,375 | 10,35 | 11,96 | 15,525 | 12,995 | 13,915 | 12,88 | |
| 18,00 | 13,685 | 12,19 | 12,995 | 12,765 | 11,73 | 12,19 | 14,145 | 12,305 | 13,34 | 13,685 | 13,685 | 13,225 | 11,73 | 12,995 | 12,88 | 12,88 | 11,845 | 13,685 | 12,995 | 12,075 | 12,88 | 11,73 | 13,455 | 11,73 | 10,005 | 11,845 | 12,88 | 12,535 | 13,57 | 11,73 | |
| 19,00 | 10,58 | 11,27 | 10,925 | 11,73 | 11,845 | 11,155 | 10,925 | 11,155 | 10,695 | 11,27 | 11,155 | 10,58 | 11,155 | 11,27 | 11,615 | 12,765 | 11,73 | 11,27 | 11,73 | 11,155 | 11,73 | 11,27 | 11,73 | 11,27 | 10,58 | 11,73 | 11,73 | 12,19 | 12,995 | 11,73 | |
| 20,00 | 10,695 | 11,155 | 11,04 | 11,27 | 11,27 | 10,695 | 11,155 | 11,04 | 10,925 | 11,04 | 10,58 | 10,465 | 10,925 | 11,04 | 10,695 | 11,04 | 10,465 | 10,925 | 11,04 | 11,27 | 11,04 | 10,58 | 11,27 | 11,155 | 10,925 | 11,615 | 11,27 | 12,19 | 11,615 | 10,695 | |
| 21,00 | 10,81 | 10,925 | 10,81 | 11,385 | 11,155 | 11,04 | 10,695 | 11,04 | 11,04 | 10,925 | 10,81 | 10,695 | 10,695 | 10,695 | 11,155 | 9,775 | 10,235 | 11,155 | 11,155 | 11,385 | 10,695 | 9,43 | 10,81 | 11,385 | 11,04 | 9,89 | 11,155 | 10,925 | 11,96 | 10,58 | |
| 22,00 | 10,81 | 10,695 | 10,58 | 11,385 | 11,155 | 10,695 | 10,58 | 10,81 | 10,58 | 10,695 | 10,925 | 10,925 | 10,465 | 10,58 | 10,005 | 10,58 | 10,235 | 10,925 | 11,04 | 11,04 | 10,58 | 11,04 | 10,81 | 10,58 | 10,695 | 11,04 | 10,81 | 10,58 | 10,695 | 11,04 | 10,81 |
| 23,00 | 11,27 | 10,005 | 10,12 | 10,58 | 10,235 | 10,925 | 10,235 | 10,235 | 10,005 | 10,58 | 11,27 | 11,385 | 11,155 | 9,89 | 10,235 | 10,005 | 10,465 | 10,925 | 11,04 | 11,27 | 10,005 | 9,89 | 10,235 | 10,81 | 11,27 | 10,58 | 10,925 | 10,465 | 10,925 | 11,27 | |

